

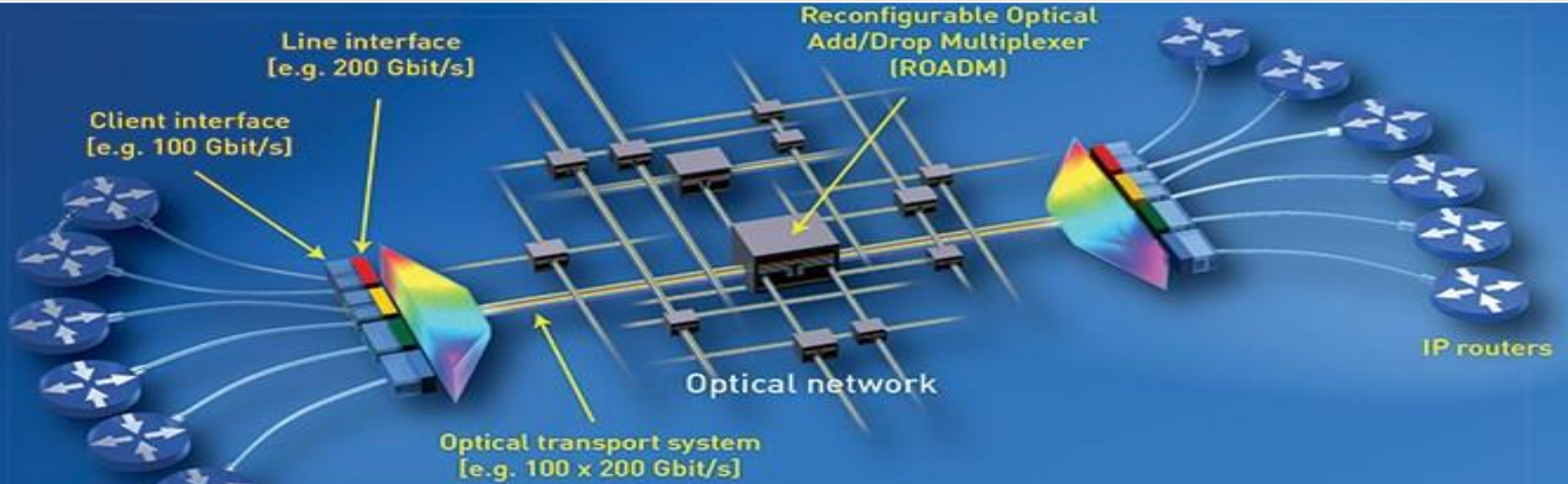
Elektromagnetische Wellen (EMW)

Vorlesung 1

WS 2019/2020

Mathematische Grundlagen & Wiederholung EMF

Institute of Photonics and Quantum Electronics (IPQ), Department of Electrical Engineering and Information Technology (ETIT)



Die Maxwell'schen Gleichungen

Die Maxwell'schen Gleichungen
(in Integralform)

$$(I) \oint_S \vec{H} d\vec{s} = \int_F \vec{J} d\vec{F} + \frac{\partial}{\partial t} \int_F \vec{D} d\vec{F} = \int_F \nabla \times \vec{H} d\vec{F}$$

$$(II) \oint_S \vec{E} d\vec{s} = -\frac{\partial}{\partial t} \int_F \vec{B} d\vec{F} = \int_F \nabla \times \vec{E} d\vec{F}$$

$$(III) \oint_O \vec{D} d\vec{F} = \int_V S dV = \int_V \nabla \cdot \vec{D} dV$$

$$(IV) \oint_O \vec{B} d\vec{F} = 0 = \int_V \nabla \cdot \vec{B} dV$$

Mathematische Grundlagen

Der Nabla Operator

- Der Nabla Operator ∇ kann verwendet werden um die Operationen der Vektorrechnung darzustellen.

$$\text{grad } (\phi) = \nabla \phi, \text{ div } (\vec{A}) = \nabla \cdot \vec{A}, \text{ rot } (\vec{A}) = \nabla \times \vec{A}$$

- Die Elemente des Nabla Operators hängen vom Koordinatensystem ab. Nur für kartesische Koordinaten gilt

$$\nabla = \begin{pmatrix} \frac{\partial}{\partial x} \\ \frac{\partial}{\partial y} \\ \frac{\partial}{\partial z} \end{pmatrix}$$

Der Laplace Operator

- Angewendet auf ein Skalarfeld gilt

$$\Delta \phi = \nabla \cdot (\nabla \phi) = (\nabla \cdot \nabla) \phi = \nabla^2 \phi$$

- Für kartesische Koordinaten

$$\Delta = \frac{\partial^2}{\partial x^2} + \frac{\partial^2}{\partial y^2} + \frac{\partial^2}{\partial z^2}$$

- Angewendet auf ein Vektorfeld wird der Laplace Operator auf jede Feldkomponente angewandt.

Korrektur:

Beim Laplace-Operator für kartesischen Koordinaten fehlte jeweils das Quadrat im Nenner.

Integralsätze

Gaußscher Integralsatz

$$\int_V \nabla \cdot \vec{A} dV = \oint_S \vec{A} d\vec{o}$$

Volumenintegral

Höllflächenintegral

Stokes'scher Integralsatz

$$\int_F \nabla \times \vec{A} d\vec{F} = \oint_S \vec{A} d\vec{s}$$

Flächenintegral

Umlaufintegral

Die Maxwell'schen Gleichungen

Maxwell'sche Gleichungen

in differentieller Form

$$(I) \nabla \times \vec{H} = \vec{J} + \frac{\partial \vec{D}}{\partial t}$$

$$(II) \nabla \times \vec{E} = - \frac{\partial \vec{B}}{\partial t}$$

$$(III) \nabla \cdot \vec{D} = \rho$$

$$(IV) \nabla \cdot \vec{B} = 0$$

Materialgleichungen

Materialgleichungen

- In den meisten Stoffen gilt für das dielektrische Polarisationsfeld $\vec{P} = \epsilon_0 \chi_e \vec{E}$

$$\vec{D} = \epsilon_0 \vec{E} + \vec{P} = \underbrace{\epsilon_0}_{\epsilon_r} (1 + \chi_e) \vec{E} = \epsilon_0 \epsilon_r \vec{E} = \epsilon \vec{E}$$

- Ferner gilt für die Magnetisierung durch atomare Ringströme $\vec{M} = \chi_m \vec{H}$

In den meisten Medien gilt

$$\vec{B} = \mu_0 (\vec{H} + \vec{M}) = \mu_0 (1 + \chi_m) \vec{H} = \mu_0 \mu_r \vec{H} = \mu \vec{H}$$

$$|\epsilon_0 = 8,854 \dots 10^{-12} \frac{As}{Vm} \text{ und } \mu_0 = 1,2566 \dots 10^{-6} \frac{Vs}{Am}|$$

Anmerkung:
Der lineare Zusammenhang zwischen \vec{D} -Feld und \vec{E} -Feld gilt nicht bei Bestrahlung eines Materials mit Licht hoher Intensität. In diesem Fall treten nichtlineare Effekte auf. In EMW beschränken wir uns auf den linearen Fall.

Wichtige physikalische Gesetze

- Das elektrische Feld kann experimentell aus der Coulombs Kraft bestimmt werden

$$\vec{F}_C = Q \vec{E}$$

- Die magnetische Flussdichte \vec{B} kann bestimmt werden durch $\vec{F}_L = Q \vec{V} \times \vec{B}$

- Die Kontinuitätsgleichung besagt

$$\nabla \cdot \vec{j} = - \frac{\partial \phi}{\partial t}$$

- Ferner gilt das Ohmsche Gesetz $\vec{j} = \kappa \vec{E}$

Anmerkung:
Die Kontinuitätsgleichung verknüpft die Quellen elektrischer Felder (Raumladung) mit den Quellen magnetischer Felder (Stromdichte).

Sonderfälle der Maxwellsschen Theorie

(A)

Elektrostatisch

- Zeitunabhängiger Fall ($\frac{\partial}{\partial t} = 0$)
 - statische Ladungsdichten $\vec{J} = 0$
- das elektrische Feld sei $\vec{E} = -\nabla \phi$

- Aus den Maxwell-Gleichungen

$$\nabla \times \vec{E} = 0 \quad \nabla \cdot \vec{D} = \rho$$

mit $\vec{D} = \epsilon \vec{E}$ gilt

$$\nabla \cdot \vec{D} = \rho = \nabla \cdot (\epsilon \vec{E}) = \nabla \cdot \epsilon \vec{E} + \epsilon \nabla \cdot \vec{E} = -\nabla \epsilon \nabla \phi - \epsilon \nabla \cdot (\nabla \phi)$$

daraus folgt

$$\boxed{\nabla^2 \phi + \frac{1}{\epsilon} \nabla \cdot \nabla \phi = -\frac{\rho}{\epsilon}} \quad \text{Poisson-Gleichung}$$

$$\Delta \phi = \nabla^2 \phi$$

Anmerkungen:

1.) Für homogene Materialien mit räumlich konstanter Permittivität ϵ entfällt der zweite Term in der Poisson-Gleichung.

2.) Im ladungsfreien Raum vereinfacht sich die Poisson-Gleichung zur Laplace-Gleichung, vgl. Folie 9.

③ Stationären Strömungsfeld

- In leitfähigen Materialen ($\kappa > 0$) erzeugt jedes elektrische Feld eine Stromdichte \vec{J}
- Es gelte weiterhin $\frac{\partial}{\partial t} = 0$
- Für die Maxwellgleichungen gilt
$$\nabla \times \vec{H} = \vec{J} \quad \nabla \times \vec{E} = 0, \quad \nabla \cdot \vec{D} = \rho$$
- Aus $\nabla \cdot (\nabla \times \vec{H}) = \nabla \cdot \vec{J} = 0$
- Es gilt:
$$\begin{aligned} \nabla \cdot \vec{J} &= \nabla \cdot (\kappa \vec{E}) = \nabla \kappa \cdot \vec{E} + \kappa \nabla \cdot \vec{E} \\ &= -\nabla \kappa \nabla \phi - \kappa \underbrace{\nabla \cdot (\nabla \phi)}_{\Delta \phi} = 0 \end{aligned}$$

Stationäres Strömungsfeld

Anmerkung:

Für homogene Materialien mit räumlich konstanter Leitfähigkeit κ entfällt der zweite Term in der Laplace-Gleichung.

wir erhalten:
$$\boxed{\nabla^2 \phi + \frac{1}{\kappa} D_K \nabla \phi = 0}$$
 Laplace Gleichung

- Ferner lässt sich die magnetische Flussdichte darstellen als $\vec{B} = \nabla \times \vec{A} \leftarrow$ magnetisches Vektorpotential
- Es gilt $\nabla \cdot \vec{B} = \nabla \cdot (\nabla \times \vec{A}) = 0$
- Die Divergenz $\nabla \cdot \vec{A}$ kann beliebig gewählt werden (gesucht)
- mit $\vec{B} = \mu \vec{H}$ gilt dann

Stationäres Strömungsfeld

$$\nabla \times \vec{H} = \nabla \times \left(\frac{1}{\mu} \vec{B} \right) = \vec{j} = \frac{1}{\mu} \nabla \times (\nabla \times \vec{A})$$

mit $\boxed{\nabla \times (\nabla \times \vec{A}) = \nabla(\nabla \cdot \vec{A}) - \Delta \vec{A}}$

$$\nabla(\nabla \cdot \vec{A}) - \Delta \vec{A} = \mu \vec{j}$$

Mit $\nabla \cdot \vec{A} = 0$ (Gaußsche Gleichung) gilt

$$\boxed{\Delta \vec{A} = -\mu \vec{j}}$$

① langsam veränderliche Felder

- In vielen Fällen ist die Verschiebungsdichte $\frac{\partial \vec{D}}{\partial t}$ vernachlässigbar ($S=0$)

- Im Raumladungsfreien Fall gilt

$$\nabla \times \vec{H} = \vec{j}, \quad \nabla \times \vec{E} = -\frac{\partial \vec{B}}{\partial t}, \quad \nabla \cdot \vec{D} = 0, \quad \nabla \cdot \vec{B} = 0$$

- Mit $\vec{B} = \nabla \times \vec{A}$ folgt

$$\nabla \times \vec{E} + \frac{\partial \vec{B}}{\partial t} = \nabla \times \left(\vec{E} + \frac{\partial \vec{A}}{\partial t} \right) = 0$$

damit erhalten wir $\vec{E} = -\nabla \phi - \frac{\partial \vec{A}}{\partial t}$

Langsam veränderliche Felder

$$\nabla \times \vec{H} = \frac{1}{\mu} \quad \nabla \times (\nabla \times \vec{A})' = \frac{1}{\mu} (\nabla \cdot (\nabla \cdot \vec{A}) - \Delta \vec{A}) \\ = \vec{j} = \mathcal{K} \vec{E} = -\mathcal{K} \nabla \phi - \mathcal{K} \frac{\partial \vec{A}}{\partial t}$$

daraus folgt:

$$\nabla(\nabla \cdot \vec{A}) - \Delta \vec{A} = -\mathcal{K} \nabla \phi - \mathcal{K} \frac{\partial \vec{A}}{\partial t}$$

$$\text{mit } \nabla \cdot \vec{A} = -\mathcal{K} \phi$$

$$\Rightarrow \boxed{\Delta \vec{A} + \mathcal{K} \frac{\partial \vec{A}}{\partial t} = 0}$$

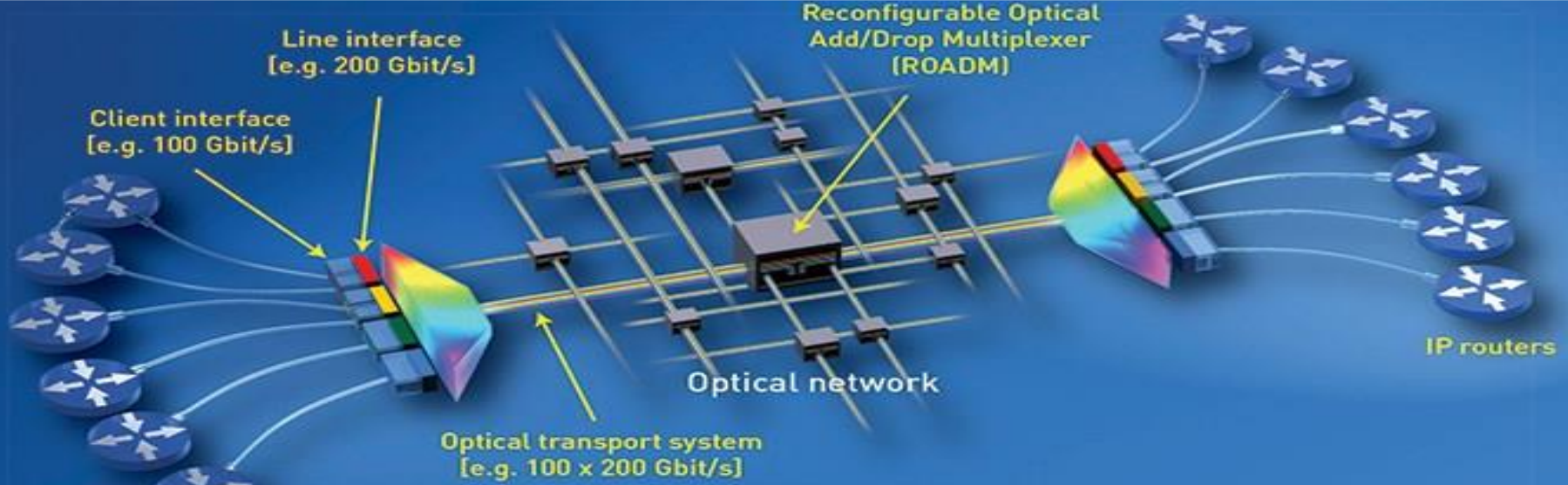
Elektromagnetische Wellen (EMW)

Vorlesung 2

WS 2019/2020

Wellengleichung und ebene Wellen

Institute of Photonics and Quantum Electronics (IPQ), Department of Electrical Engineering and Information Technology (ETIT)



Wiederholung

- Wiederholung des Spezialfalls langsam veränderlicher Felder (\rightarrow siehe Skript zur Vorlesung 1)

Beliebig veränderliche Felder

- Herleitung der Maxwellgleichungen für den Fall beliebig veränderlicher Felder (→ der Aufschrieb zu diesem “Spezialfall” ist bereits im LaTeX-Skript zur Vorlesung 1 enthalten)

Relaxationszeit

- Die kurze Relaxationszeit ist die Begründung dafür, dass der Verschiebungsstrom $\frac{\partial \mathbf{D}}{\partial t}$ in Metallen vernachlässigbar ist.

Tafelbild zur Herleitung fehlt und wird nachgeliefert

für langsam veränderliche Felder mit " $\frac{1}{T_r} \gg \frac{\partial \phi}{\partial t}$ "
kann der Term $\frac{\partial^2 \phi}{\partial t^2}$ vernachlässigt werden

Beispiele:

| | | |
|------------------------|--------------------------------------|---------------------------------|
| Silber : | $T_r = 1,4 \cdot 10^{-13} \text{ s}$ | } gute Leiter |
| Kupfer : | $T_r = 1,5 \cdot 10^{-13} \text{ s}$ | |
| Wasser (destilliert) : | $T_r \approx 10^{-6} \text{ s}$ | |
| Teflon : | $T_r \approx 30 \text{ min}$ | } schlechter Leiter Isolator |

\Rightarrow für die meisten Metalle kann die Verschiebungsstrom dichte vernachlässigt werden!

Die Wellengleichung für homogene Medien

Die Maxwellsschen Gleichungen in
homogenen linearen Medien

$$\vec{D} = \epsilon \vec{E}, \quad \vec{B} = \mu \vec{H} \quad \text{und} \quad \vec{j} = \kappa \vec{E}$$

homogen bedeutet hier $\nabla \epsilon = 0$, $\nabla \mu = 0$ und $\nabla \kappa = 0$

$$\nabla \times \vec{H} = \kappa \vec{E} + \epsilon \frac{\partial \vec{E}}{\partial t}$$

$$\nabla \times \vec{E} = -\mu \frac{\partial \vec{H}}{\partial t}$$

$$\nabla \cdot \vec{E} = \frac{S}{\epsilon}$$

$$\nabla \cdot \vec{H} = 0$$

Die Wellengleichung für homogene Medien

Die Wellengleichung

Bilden wir in einem linearen homogenen Medium

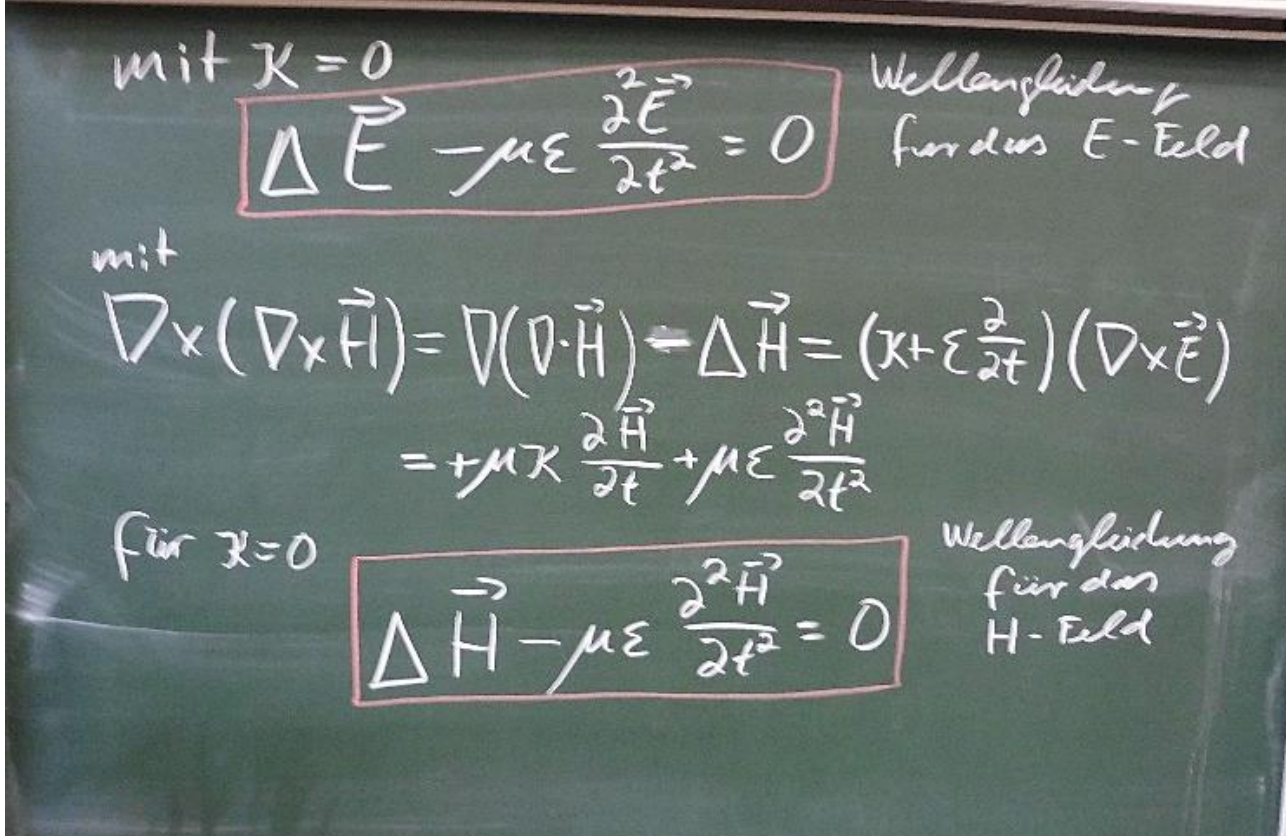
$$\nabla \times (\nabla \times \vec{E}) = \nabla(\nabla \cdot \vec{E}) - \Delta \vec{E} = -\mu \frac{\partial}{\partial t} (\nabla \times \vec{H}) \\ = -\mu \frac{\partial^2}{\partial t^2} (\kappa \vec{E} + \epsilon \frac{\partial \vec{E}}{\partial t})$$

$$\Rightarrow \Delta \vec{E} - \nabla(\nabla \cdot \vec{E}) - \mu \kappa \frac{\partial \vec{E}}{\partial t} - \mu \epsilon \frac{\partial^2 \vec{E}}{\partial t^2} = 0$$

mit $\nabla \cdot \vec{E} = 0$

$$\Delta \vec{E} - \mu \kappa \frac{\partial \vec{E}}{\partial t} - \mu \epsilon \frac{\partial^2 \vec{E}}{\partial t^2} = 0$$

Die Wellengleichung für homogene Medien



mit $\kappa = 0$

$$\boxed{\Delta \vec{E} - \mu \epsilon \frac{\partial^2 \vec{E}}{\partial t^2} = 0}$$

Wellengleichung
für das E -Feld

mit

$$\nabla \times (\nabla \times \vec{H}) = \nabla (\nabla \cdot \vec{H}) - \Delta \vec{H} = (\kappa + \epsilon \frac{\partial}{\partial t}) (\nabla \times \vec{E})$$
$$= +\mu \kappa \frac{\partial \vec{H}}{\partial t} + \mu \epsilon \frac{\partial^2 \vec{H}}{\partial t^2}$$

für $\kappa = 0$

$$\boxed{\Delta \vec{H} - \mu \epsilon \frac{\partial^2 \vec{H}}{\partial t^2} = 0}$$

Wellengleichung
für das H -Feld

Ebene Wellen als Lösungen der Wellengleichung

Ebene Wellen in nichtleitenden Medien

„Lösungen der Wellengleichung, die nur von einer kartesischen Koordinate und der Zeit abhängen heißen ebene Wellen“

z. B. $\vec{E} = \vec{E}(z, t)$ und $\vec{H} = \vec{H}(z, t)$

d.h. $\frac{\partial E_x}{\partial x} = \frac{\partial E_x}{\partial y} = \frac{\partial E_y}{\partial x} = \frac{\partial E_y}{\partial y} = 0$

entsprechend für \vec{H} ?

Ebene Wellen als Lösungen der Wellengleichung

$$\nabla \times \vec{H} = \begin{pmatrix} \cancel{\frac{\partial H_z}{\partial y}} - \cancel{\frac{\partial H_y}{\partial z}} \\ \cancel{\frac{\partial H_x}{\partial z}} - \cancel{\frac{\partial H_z}{\partial x}} \\ \cancel{\frac{\partial H_y}{\partial x}} - \cancel{\frac{\partial H_x}{\partial y}} \end{pmatrix} = \epsilon \begin{pmatrix} \frac{\partial E_y}{\partial t} \\ \frac{\partial E_z}{\partial t} \\ \frac{\partial E_x}{\partial t} \end{pmatrix}$$

$$\nabla \times \vec{E} = \begin{pmatrix} \cancel{\frac{\partial E_z}{\partial y}} - \cancel{\frac{\partial E_y}{\partial z}} \\ \cancel{\frac{\partial E_x}{\partial z}} - \cancel{\frac{\partial E_z}{\partial x}} \\ \cancel{\frac{\partial E_y}{\partial x}} - \cancel{\frac{\partial E_x}{\partial y}} \end{pmatrix} = -\mu \begin{pmatrix} \frac{\partial H_y}{\partial t} \\ \frac{\partial H_z}{\partial t} \\ \frac{\partial H_x}{\partial t} \end{pmatrix}$$

Wir erhalten

| | |
|--|---|
| $\frac{\partial^2 H_y}{\partial z^2} = -\epsilon \frac{\partial^2 E_x}{\partial t^2}$ $\frac{\partial^2 E_x}{\partial z \partial t} = -\mu \frac{\partial^2 H_y}{\partial t^2}$ | $\frac{\partial H_x}{\partial z} = \epsilon \frac{\partial E_y}{\partial t}$ $\frac{\partial E_y}{\partial z} = \mu \frac{\partial H_x}{\partial t}$ |
|--|---|

Verknüpfung von H_y und E_x

$$\Rightarrow \boxed{\frac{\partial^2 H_y}{\partial z^2} = \epsilon \mu \frac{\partial^2 H_y}{\partial t^2}}$$

Verknüpfung von H_x und $-E_y$

$$\boxed{\frac{\partial^2 H_x}{\partial z^2} = \epsilon \mu \frac{\partial^2 H_x}{\partial t^2}}$$

Ebene Wellen als Lösungen der Wellengleichung

Lösung

Nach d'Alembert wird die skalare WGr gelöst durch

$$H_y = f(z - ct) + g(z + ct) \text{ mit } c = \frac{1}{\mu \epsilon}$$

hier sind f und g beliebige zweifach differenzierbare Funktionen

Es folgt

$$\frac{\partial H_y}{\partial z} = f' + g'$$

$$\frac{\partial H_y}{\partial t} = -cf' + cg'$$

$$\frac{\partial^2 H_y}{\partial z^2} = f'' + g''$$

$$\frac{\partial^2 H_y}{\partial t^2} = c^2 f'' + c^2 g'' = \frac{1}{\mu \epsilon} (f'' + g'') = \frac{1}{\mu \epsilon} \frac{\partial^2 H_y}{\partial z^2}$$

qed.

Ebene Wellen als Lösungen der Wellengleichung

für E_x erhalten wir

$$\frac{\partial E_x}{\partial t} = -\frac{1}{\epsilon} \frac{\partial H_y}{\partial z} = -\frac{1}{\epsilon} (f' + g')$$

$$\frac{\partial E_x}{\partial z} = -\mu \frac{\partial H_y}{\partial t} = \mu c (f' - g')$$



Integration
über z bzw. t



Annahme $F(z) = G(t) = 0$

$$E_x = -\frac{1}{\epsilon} \left(-\frac{1}{c} f + \frac{1}{c} g \right) + F(z)$$

$$E_x = \mu c (f - g) + G(t)$$

$$E_x = \frac{1}{\epsilon c} (f - g) = \sqrt{\frac{\mu}{\epsilon}} (f - g) = Z (f - g)$$

$$E_x = \mu c (f - g) = \sqrt{\frac{\mu}{\epsilon}} (f - g) = Z (f - g)$$

Generell bilden bei einer lebenden Welle $\vec{E} = Z (\vec{H} \times \vec{e}_z)$

\vec{E} , \vec{H} und \vec{e}_z bilden ein Rechtsschraubensystem"

Der Wellenwiderstand

Wellenwiderstand $\tilde{\ell}$

Im Vakuum:

$$\epsilon_0 \approx \frac{1}{36\pi} 10^{-9} \frac{As}{Vm} \quad \mu_0 \approx 4\pi 10^{-7} \frac{Vs}{Am}$$

$$\Rightarrow \tilde{\ell}_0 = \sqrt{\frac{\mu_0}{\epsilon_0}} \approx \left(\frac{4\pi}{36\pi} 10^{-9} 10^{-7} \frac{Vs}{Am} \frac{As}{Vm} \right)^{-\frac{1}{2}} = \left(\frac{1}{9} 10^{-16} \frac{S^2}{m^2} \right)^{\frac{1}{2}} = 3 \cdot 10^{-8} \frac{m}{s}$$

$$\Rightarrow \tilde{\ell}_0 = \sqrt{\frac{\mu_0}{\epsilon_0}} \approx 120\pi \frac{V}{A} = 377 \Omega$$

Ausbreitungsrichtung ebener Wellen

Betrachten wir Punkte mit konstantem Argument von f und g

$$z + ct = \text{const.}$$

ableiten nach t

$$\frac{\partial z}{\partial t} + c = 0 \Rightarrow \frac{\partial z}{\partial t} = V_z = -c$$

Die Funktion f beschreibt eine Welle, die sich mit Lichtgeschwindigkeit in $+z$ Richtung ausbreitet

Die Funktion g einer Welle in $-z$ Richtung

Wir erhalten

$$\begin{aligned} H_y^+ &= f(z - ct) \\ E_x^+ &= \mp f(z - ct) \end{aligned} \quad \left. \right\} \text{Welle in } +z \text{ Richtung}$$

$$\begin{aligned} H_y^- &= g(z + ct) \\ E_x^- &= \mp g(z + ct) \end{aligned} \quad \left. \right\} \text{Welle in } -z \text{ Richtung}$$

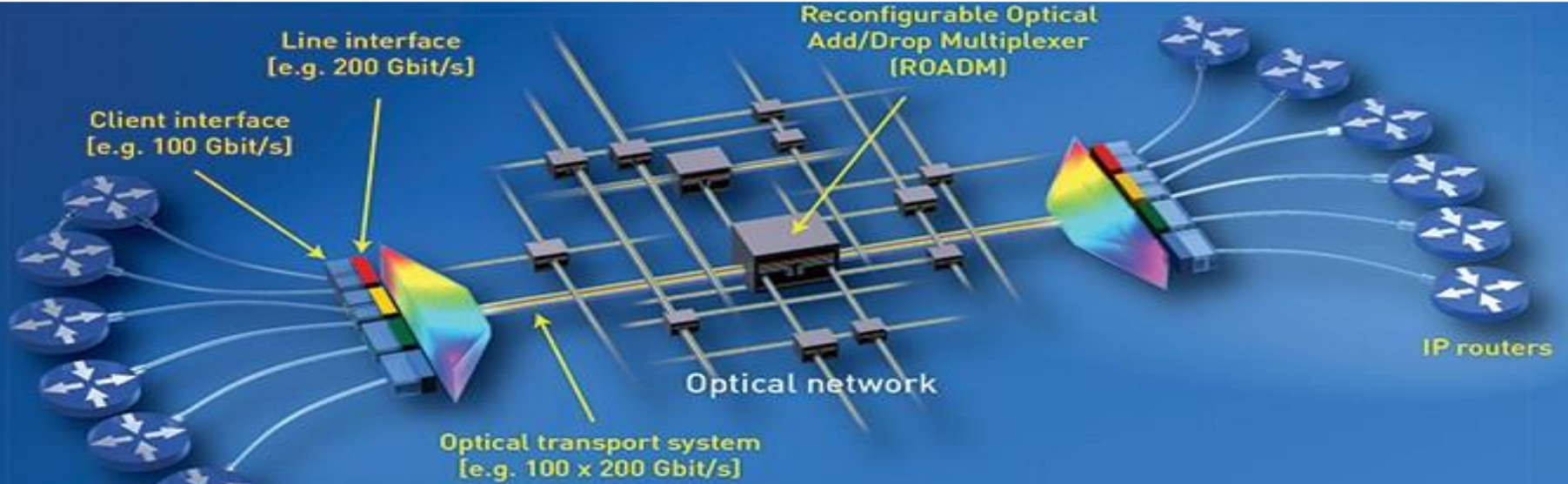
Elektromagnetische Wellen (EMW)

Vorlesung 3

WS 2019/2020

Harmonische Wellen & Poynting-Vektor

Institute of Photonics and Quantum Electronics (IPQ), Department of Electrical Engineering and Information Technology (ETIT)



Wiederholung: Die Maxwellschen Gleichungen

Neues Passwort: maxwell19

Die Maxwellschen Gleichungen
für lineare, homogene Medien

es gelte: $\vec{D} = \epsilon \vec{E}$, $\vec{B} = \mu \vec{H}$ und $\vec{J} = \kappa \vec{E}$

räumlich homogen: $\nabla \epsilon = \nabla \mu = \nabla \kappa = 0$

zeitlich homogen: $\frac{\partial \epsilon}{\partial t} = \frac{\partial \mu}{\partial t} = \frac{\partial \kappa}{\partial t} = 0$

$$\boxed{\begin{array}{ll} \nabla \times \vec{H} = \kappa \vec{E} + \epsilon \frac{\partial \vec{E}}{\partial t} & \nabla \cdot \vec{E} = \frac{Q}{\epsilon} \\ \nabla \times \vec{E} = -\mu \frac{\partial \vec{H}}{\partial t} & \nabla \cdot \vec{H} = 0 \end{array}}$$

Zeitharmonische Felder und Wellen

Jede reellwertige Funktion $f(t)$ mit der Periode T kann in eine Fourierreihe entwickelt werden

$$f(t) = \frac{A_0}{2} + \sum_{n=1}^{\infty} A_n \cos\left(\frac{2\pi n}{T}t + \varphi_n\right)$$

wobei $A_n = \sqrt{a_n^2 + b_n^2}$ und $\varphi_n = \arctan\left(\frac{b_n}{a_n}\right)$

mit $a_n = \frac{2}{T} \int_0^T f(t) \cos\left(\frac{2\pi n}{T}t\right) dt$

$b_n = \frac{2}{T} \int_0^T f(t) \sin\left(\frac{2\pi n}{T}t\right) dt$

Zeitharmonische Felder und Wellen

Bei linearen Vorgängen bietet sich folgendes Vorgehen an:

- 1) Entwicklung der Eingangsgrößen (Periode T) in zeitharmonische Schwingungen (Spektralkomponenten)
- 2) Komponentenweise Anwendung der Rechenoperationen
- 3) Bestimmung der Ausgangsgröße durch Überlagerung.
 \Rightarrow bei nichtperiodischen Signalen \Rightarrow Fouriertransformation

Komplexe Zeigerschreibweise

Komplexe Zeigerschreibweise

- Bei zeitharmonischer Anregung mit der Frequenz

$\omega = \frac{2\pi}{T}$ lässt sich z.B. das elektrische Feld
separieren in $\vec{E}(\vec{r}, t) = \vec{E}(\vec{r}) \cos(\omega t + \varphi)$

- Es ist in vielen Fällen hilfreich, den komplexen Zeiger zu verwenden

$$\underline{\vec{E}}(\vec{r}, t) = \vec{E}(\vec{r}) \exp(j[\omega t + \varphi])$$

- Es gilt: $\vec{E}(\vec{r}, t) = \text{Re}\{\underline{\vec{E}}(\vec{r}, t)\} = \frac{1}{2} [\underline{\vec{E}}(\vec{r}, t) + \underline{\vec{E}}^*(\vec{r}, t)]$

- Bei nichtlinearen Vorgängen kann die komplexe Zeigerschreibweise nicht verwendet werden

Komplexe Zeigerschreibweise

Maxwellgleichungen für komplexe Zeiger

- Es seien $\underline{\vec{E}}(\vec{r}, t)$, $\underline{\vec{H}}(\vec{r}, t)$, $\underline{\mathcal{S}}(\vec{r}, t)$ komplexe Zeiger
- Für die Ableitungen nach der Zeit gilt

$$\frac{\partial \underline{\vec{E}}(\vec{r}, t)}{\partial t} = j\omega \underline{\vec{E}}(\vec{r}, t) \quad \text{und} \quad \frac{\partial \underline{\vec{H}}(\vec{r}, t)}{\partial t} = j\omega \underline{\vec{H}}(\vec{r}, t)$$

• wir erhalten

$$\nabla \times \underline{\vec{H}}(\vec{r}, t) = \kappa \underline{\vec{E}}(\vec{r}, t) + j\omega \epsilon \underline{\vec{E}}(\vec{r}, t) \quad \nabla \cdot \underline{\vec{E}}(\vec{r}, t) = \frac{\underline{\mathcal{S}}(\vec{r}, t)}{\epsilon}$$

$$\nabla \times \underline{\vec{E}}(\vec{r}, t) = -j\omega \mu \underline{\vec{H}}(\vec{r}, t) \quad \nabla \cdot \underline{\vec{H}}(\vec{r}, t) = 0$$

Komplexe Zeigerschreibweise

Komplexe Amplitude

- Die Schreibweise lässt sich weiter vereinfachen, indem die Zeitabhängigkeit für gegebenen $\omega = \frac{2\pi}{T}$ impliziert wird.
$$\vec{E}(\vec{r}, t) = \vec{E}(\vec{r}) \underbrace{\exp(j[\omega t + \varphi])}_{\text{komplexe Zeiger}} = \underline{\vec{E}(\vec{r})} \exp(j\omega t)$$

wobei die komplexe Amplitude gegeben ist als

$$\underline{\vec{E}(\vec{r})} = \vec{E}(\vec{r}) \exp(j\varphi)$$

Damit ergeben sich die Maxwellsdien Gleichungen zu

$$\nabla \times \underline{\vec{H}(\vec{r})} = (\gamma + j\omega\epsilon) \underline{\vec{E}(\vec{r})} = j\omega\epsilon \left(1 - j\frac{\gamma}{\omega\epsilon}\right) \underline{\vec{E}(\vec{r})}$$

$$\nabla \times \underline{\vec{E}(\vec{r})} = -j\omega\mu \underline{\vec{H}(\vec{r})}$$

$$\nabla \cdot \underline{\vec{E}(\vec{r})} = -\frac{1}{\epsilon} \underline{\vec{S}(\vec{r})}$$

$$\nabla \cdot \underline{\vec{H}(\vec{r})} = 0$$

Die Helmholtzgleichung

Die Helmholtz-Gleichung

- Die Wellengleichung lässt sich auch für komplexe Zeiger bzw. komplexe Amplituden herleiten:

$$\nabla \times (\nabla \times \vec{H}) = j\omega \epsilon (1 - j \frac{\kappa}{\omega \epsilon}) \quad (\nabla \times \vec{E}) = -\Delta \vec{H}$$

Helmholtz-Gleichung

$$= +\omega^2 \mu \epsilon (1 - j \frac{\kappa}{\omega \epsilon}) \vec{H}$$

$$\Rightarrow \boxed{\Delta \vec{H} + k^2 \vec{H} = 0}$$

$$\text{mit } k^2 = \omega^2 \mu \epsilon (1 - j \frac{\kappa}{\omega \epsilon})$$

k wird als Wellenzahl bezeichnet

- für leitende Materialien ist k komplex $(\kappa \neq 0)$

- für nichtleitende Materialien ist $k = \omega \sqrt{\mu \epsilon} = \frac{\omega}{C} = \frac{2\pi}{\lambda}$

$(\kappa = 0)$ wobei $\lambda = \frac{2\pi C}{\omega}$ die Wellenlänge ist.

Elektromagnetische Feldenergie

Elektromagnetische Feldenergie

- Elektrische und magnetische Felder speichern Energie (z.B., Plattenkondensator bzw. Spule)
- In einem Volumen V ergibt sich die gespeicherte Energie zu

$$W_e = \int_V w_e dV \quad \text{und} \quad W_m = \int_V w_m dV$$

wobei w_e und w_m die auf das Volumen bezogenen Energiedichten sind.

• Es gilt $W_e = \frac{1}{2} \vec{E} \cdot \vec{D}$ und $W_m = \frac{1}{2} \vec{H} \cdot \vec{B}$

• Die gesamte elektromagnetische Energiedichte $w_{em} = w_e + w_m$

Der Satz von Poynting

Satz von Poynting

- Jede Änderung der Energie dW_{em} im Volumen V kann beschrieben werden als in Zeitintervall dt

$$dW_{\text{em}} = - \int \vec{S} \cdot d\vec{\Omega} dt - \int \vec{E} \cdot \vec{j} dV dt$$

$\int \vec{S} \cdot d\vec{\Omega}$ $\int dV$

durch die Hülle
Fläche Ω
abgestrahlte
Feldenergie

in Wärmeenergie
umgewandelte
Feldenergie

- Der Poynting Vektor \vec{S} beschreibt (Ohm'sche Verluste)
Betrag und Richtung des pro Flächenelement und Zeiteinheit
abgestrahlten Feldenergie. Einheit $\frac{\text{Joule}}{\text{Schunde} \cdot \text{Meter}^2} = \frac{\text{Watt}}{\text{Meter}^2}$

Der Satz von Poynting

Berogen auf das Zeitintervall dt lässt sich
der Satz von Poynting schreiben als
Leistungsbilanz

$$\frac{\partial W_{\text{em}}}{\partial t} = - \int_0 \vec{S} \cdot d\vec{O} - \int_V \vec{E} \cdot \vec{j} dV$$

mit Hilfe der Energiedichte und mit den Gaußschen Satz

$$\frac{\partial}{\partial t} \int_V w_{\text{em}} dV = - \int_V \nabla \cdot \vec{S} dV - \int_V \vec{E} \cdot \vec{j} dV$$

Herleitung des Poynting-Vektors

Es gilt mit $\vec{D} = \epsilon \vec{E}$ und $\vec{B} = \mu \vec{H}$ mit $\frac{\partial \epsilon}{\partial t} = \frac{\partial \mu}{\partial t} = 0$

$$\frac{d \text{Wem}}{dt} = \frac{d}{dt} \left(\frac{1}{2} \vec{E} \cdot \vec{D} + \frac{1}{2} \vec{H} \cdot \vec{B} \right) = \frac{1}{2} \frac{d}{dt} \vec{E} \cdot \vec{E} + \frac{1}{2} \frac{d}{dt} \vec{H} \cdot \vec{H}$$
$$= \vec{E} \cdot \frac{\partial \vec{D}}{\partial t} + \vec{H} \cdot \frac{\partial \vec{B}}{\partial t}$$

damit gilt:

$$\vec{E} \cdot \frac{\partial \vec{D}}{\partial t} + \vec{H} \cdot \frac{\partial \vec{B}}{\partial t} = \vec{E} \cdot \vec{J} - \vec{H} \cdot (\nabla \times \vec{E})$$
$$\Leftrightarrow \nabla \cdot \vec{S} = -\vec{E} \cdot \vec{J} - \vec{E} \cdot \frac{\partial \vec{D}}{\partial t} - \vec{H} \cdot \frac{\partial \vec{B}}{\partial t}$$
$$= \vec{H}(\nabla \times \vec{E}) - \vec{E}(\nabla \times \vec{H})$$

mit den Rechenregeln für die Rotation und Divergenz

$$\nabla \cdot \vec{S} = \nabla \cdot (\vec{E} \times \vec{H})$$

weglassen der Divergenz ergibt

$$\vec{S} = \vec{E} \times \vec{H}$$

Poynting-Vektor für zeitharmonische Wellen

Poynting Vektor bei harmonischer Zeitabhängigkeit

$$\vec{E}(\vec{r}, t) = \frac{1}{2} [\vec{E}(\vec{r}) e^{j\omega t} + \vec{E}^*(\vec{r}) e^{-j\omega t}]$$

$$\vec{H}(\vec{r}, t) = \dots$$

für den Poynting Vektor gilt

$$\begin{aligned}\vec{S}(\vec{r}, t) &= \vec{E}(\vec{r}, t) \times \vec{H}(\vec{r}, t) \\ &= \frac{1}{4} \left[(\vec{E}(\vec{r}) e^{j\omega t} + \vec{E}^*(\vec{r}) e^{-j\omega t}) \times (\vec{H}(\vec{r}) e^{j\omega t} + \vec{H}^*(\vec{r}) e^{-j\omega t}) \right] \\ &= \frac{1}{4} \left[(\vec{E}(\vec{r}) \times \vec{H}(\vec{r})) e^{j2\omega t} + (\vec{E}(\vec{r}) \times \vec{H}^*(\vec{r})) + (\vec{E}^*(\vec{r}) \times \vec{H}(\vec{r})) + (\vec{E}^*(\vec{r}) \times \vec{H}^*(\vec{r})) e^{-j2\omega t} \right] \\ &= \frac{1}{2} \operatorname{Re} \left\{ (\vec{E}(\vec{r}) \times \vec{H}^*(\vec{r})) + (\vec{E}^*(\vec{r}) \times \vec{H}(\vec{r})) e^{j2\omega t} \right\}\end{aligned}$$

Im zeitlichen Mittel ergibt sich

$$\overline{\vec{S}}(\vec{r}) = \frac{1}{2} \operatorname{Re} \left\{ \vec{E}(\vec{r}) \times \vec{H}^*(\vec{r}) \right\}$$

Dortüber ist der komplexe Poynting Vektor definiert

$$\underline{\vec{S}}(\vec{r}) = \frac{1}{2} (\vec{E}(\vec{r}) \times \vec{H}^*(\vec{r}))$$

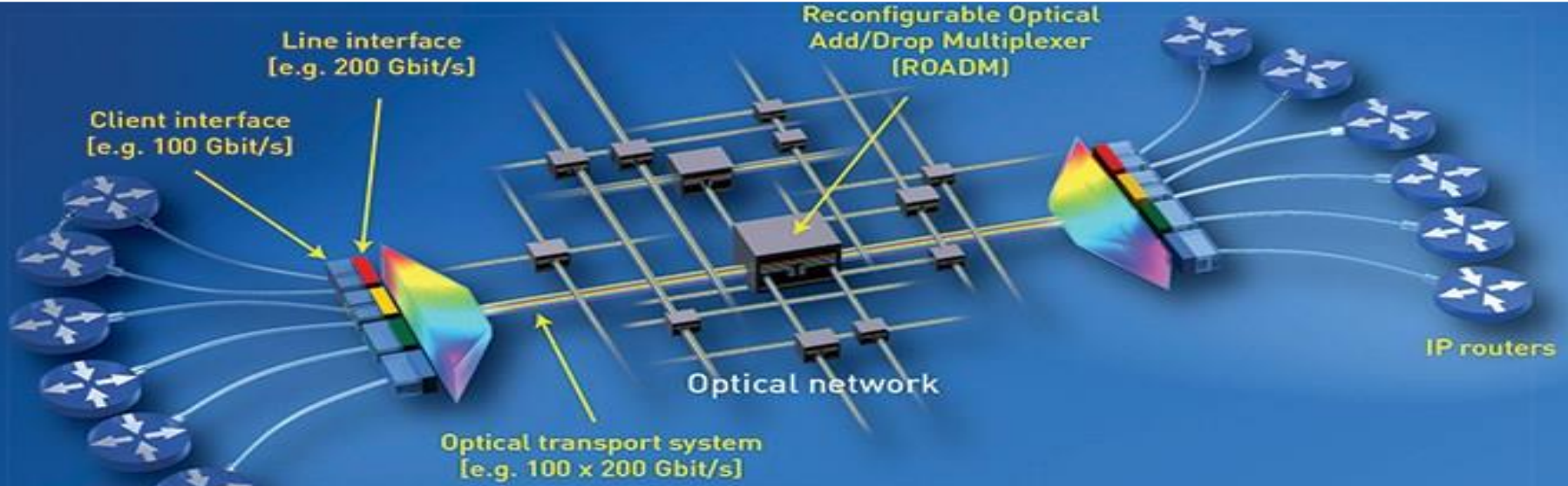
Elektromagnetische Wellen (EMW)

Vorlesung 4

WS 2019/2020

Ebene, harmonische Wellen & Polarisation

Institute of Photonics and Quantum Electronics (IPQ), Department of Electrical Engineering and Information Technology (ETIT)



Die Maxwellschen Gleichungen

Für harmonische Zeitabhängigkeit

$$\nabla \times \vec{H} = j\omega \left(1 - \frac{\kappa}{\omega \epsilon}\right) \vec{E}$$

$$\nabla \times \vec{E} = -j\omega \mu \vec{H}$$

$$\nabla \cdot \vec{E} = \frac{1}{\epsilon} \Sigma$$

$$\nabla \cdot \vec{H} = 0$$

Zeitharmonische, ebene Wellen

Zeitharmonische ebene Wellen

$$\nabla \times \vec{H} = \begin{pmatrix} \cancel{\frac{\partial H_z}{\partial y}} - \frac{\partial H_y}{\partial z} \\ \frac{\partial H_x}{\partial z} - \cancel{\frac{\partial H_z}{\partial x}} \\ \cancel{\frac{\partial H_y}{\partial x}} - \cancel{\frac{\partial H_x}{\partial y}} \end{pmatrix} = j\omega \left(1 - \frac{\kappa}{\omega \epsilon}\right) \begin{pmatrix} E_x \\ E_y \\ E_z \end{pmatrix}$$

Wir erhalten für H_y und E_x

$$-\frac{\partial H_y}{\partial z} = j\omega \epsilon \left(1 - \frac{\kappa}{\omega \epsilon}\right) E_x$$

$$\frac{\partial E_x}{\partial z} = -j\omega \mu H_y$$

Zeitharmonische, ebene Wellen

Wenn wir diese nach z ableiten und gegenseitig einsetzen folgt die skalaren Helmholtz Gleichungen

$$\frac{\partial^2 \underline{H}_x}{\partial z^2} + \underline{k}^2 \underline{H}_x = 0$$

und

$$\frac{\partial^2 \underline{E}_x}{\partial z^2} + \underline{k}^2 \underline{E}_x = 0$$

$$c = \frac{1}{\mu \epsilon}$$

mit $\underline{k} = \pm \frac{\omega}{c} \sqrt{1 - j \frac{\kappa}{\omega \epsilon}}$

Komplexe
Wellenzahl

Zeitharmonische, ebene Wellen

Lösungen

für die komplexen Zeiger

$$\underline{H}_y = \underbrace{\underline{A}^+ e^{j(\omega t - kz)}}_{\text{ebene Welle in } +z \text{ Richtung}} + \underbrace{\underline{A}^- e^{j(\omega t + kz)}}_{\text{ebene Welle in } -z \text{ Richtung}}$$

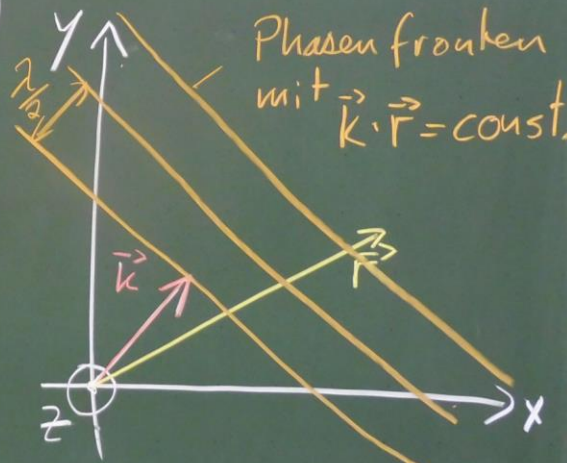
- Die Konstanten \underline{A}^+ und \underline{A}^- folgen aus der Problemstellung
- Für \underline{E}_x erhalten wir

$$\underline{E}_x = \underline{\epsilon} \underline{A}^+ e^{j(\omega t - kz)} - \underline{(\epsilon)} \underline{A}^- e^{j(\omega t + kz)}$$

Komplexer
Wellenwiderstand

Der Wellenvektor

- Ebene Wellen können sich in beliebige Richtungen ausbreiten.
- Mit dem Einheitsvektor \vec{e}_k im Ausbreitungsrichtung, dem Ortsvektor \vec{r} und dem Wellenvektor $\underline{k} = \underline{k} \cdot \vec{e}_k$ gilt $\underline{H} = \underline{H}_0 e^{j(\omega t - \underline{k} \cdot \vec{r})}$
- und $\underline{E} = \underline{\zeta} (\underline{H} \times \vec{e}_k)$



Die komplexe Wellenzahl

Komplexe Wellenzahl

$$k = \pm \frac{\omega}{c} \sqrt{1 - j \frac{\kappa}{\omega \epsilon}} = \pm (\beta - j\alpha)$$

Nebenrechnung:

für beliebige reelle Zahlen a, b, c und d mit

$$a + jb = \pm \sqrt{c + jd}$$

Soll a und b für gegebenes c und d bestimmt werden.

Lösung

$$a = \pm \frac{1}{T_2} \sqrt{T_{c^2+d^2} + 1} \quad \text{and} \quad b = \pm \frac{1}{T_2} \sqrt{T_{c^2+d^2} - 1}$$

Die komplexe Wellenzahl

Beweis:

$$(a+jb)(a+jb) = \sqrt{c+jd} \cdot \sqrt{c+jd}$$

$$\Leftrightarrow a^2 + 2jab - b^2 = c^2 + jd$$

$$\Leftrightarrow \frac{1}{2}(\sqrt{c^2+d^2}+1) + j\sqrt{\sqrt{c^2+d^2}+1}\sqrt{c^2+d^2-1} - \frac{1}{2}(\sqrt{c^2+d^2}-1) = c+jd$$

\Leftrightarrow ...

Die komplexe Wellenzahl

Anwendet auf die komplexe Wellenzahl erhalten wir

Phasenkonstante $\beta(\omega) = \pm \frac{\omega}{c} \frac{1}{\sqrt{2}} \sqrt{1 + \frac{1}{(\omega T_r)^2}} + i$

Dämpfungs-
konstante $\alpha(\omega) = \left(\begin{array}{l} + \\ - \end{array} \right) \frac{\omega}{c} \frac{1}{\sqrt{2}} \sqrt{1 + \frac{1}{(\omega T_r)^2}} - i$

Relaxationszeit

$$T_r = \frac{\epsilon}{\kappa}$$

Die Welle muss mit zunehmender
Entfernung von der Quelle abnehmen

Phasengeschwindigkeit

- Die Geschwindigkeit mit der sich bei einer ebenen Welle z.B. $\underline{H}_y = H_0 e^{j(\omega t - \beta z)}$ Punkte konstanter Phase $\omega t - \beta z = \text{const.}$ ausstrecken. D.h.

$$V_{\text{ph}}(\beta) = \frac{dz}{dt} = \frac{\omega(\beta)}{\beta} = C \frac{\beta}{\sqrt{\beta^2 + \beta_r^2}}$$

Phasen- und Gruppengeschwindigkeit

Einsetzen von $\beta(\omega)$ ergibt

$$V_{ph}(\omega) = C \sqrt{\frac{2}{1 + \sqrt{1 + \frac{1}{(\omega T_r)^2}}}}$$

Für $\omega T_r \gg 1$ (z.B. nicht(ei)bar) $\Rightarrow V_{ph} = C$

Für $\omega T_r \ll 1$ (z.B. in Metallen) $\Rightarrow V_{ph} = \sqrt{2\omega T_r}$

$$= \sqrt{\frac{2\omega}{\mu K}}$$

Phasen- und Gruppengeschwindigkeit

Gruppengeschwindigkeit

- Für Signale, welche sich aus mehreren Frequenzkomponenten zusammensetzen, kann sich jede Komponente mit unterschiedlicher Phasengeschwindigkeit ausbreiten

$$\begin{aligned} V_{\text{gr}}(\beta) &= \frac{d\omega(\beta)}{d\beta} = \frac{d}{d\beta} C \beta^2 (\beta^2 + \beta_r^2)^{-\frac{1}{2}} \\ &= C \frac{\beta^3 + 2\beta_r^2 \beta}{(\beta^2 + \beta_r^2)^{\frac{3}{2}}} = C \frac{\beta}{\sqrt{\beta^2 + \beta_r^2}} \frac{\beta^2 + 2\beta_r^2}{\beta^2 + \beta_r^2} = \boxed{V_{\text{ph}}(\beta) \left(1 + \frac{\beta_r^2}{\beta^2 + \beta_r^2}\right)} \end{aligned}$$

Polarisation

- ebene Welle an einem festen Ort z.B. $z=0$

$$E_x(t) = E_x \cos(\omega t + \varphi_x) = E_0 a_x \cos(\omega t + \varphi_x)$$

$$E_y(t) = E_y \cos(\omega t + \varphi_y) = E_0 a_y \cos(\omega t + \varphi_y)$$

Normierung $E_0 = \sqrt{E_x^2 + E_y^2}$

$$\Rightarrow a_x^2 + a_y^2 = 1$$

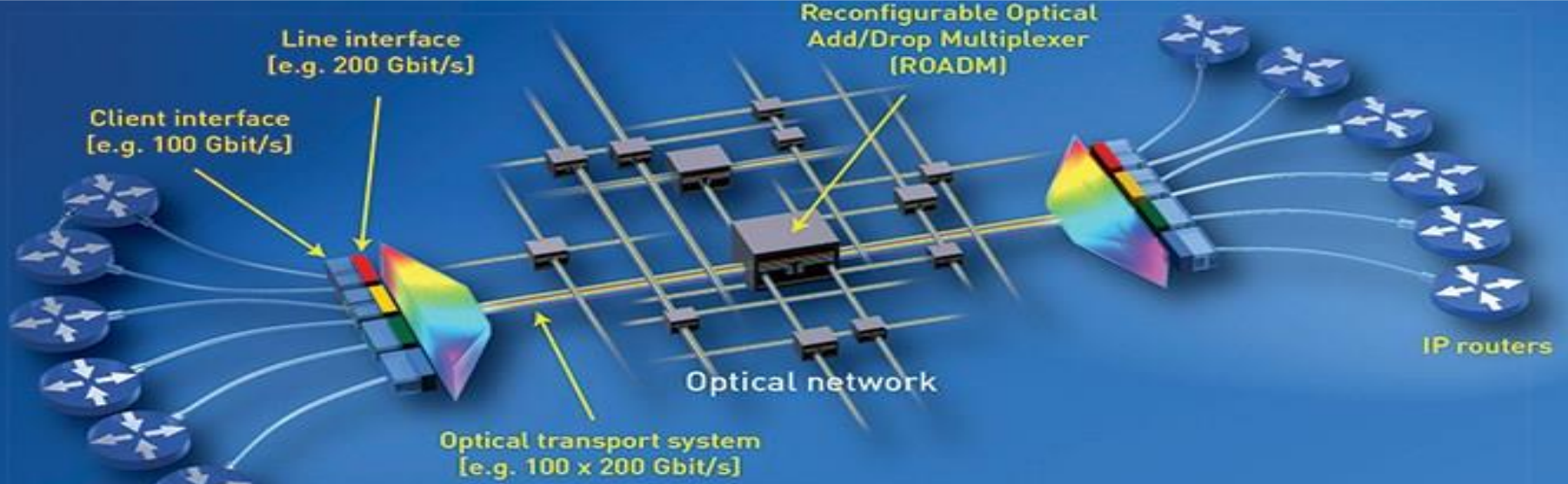
Elektromagnetische Wellen (EMW)

Vorlesung 5

WS 2019/2020

Reflexion und Brechung von Wellen an Grenzflächen

Institute of Photonics and Quantum Electronics (IPQ), Department of Electrical Engineering and Information Technology (ETIT)



Wiederholung: Die Maxwellschen Gleichungen

Die Maxwellschen Gleichungen

in Integralform

$$\oint_S \vec{H} \cdot d\vec{s} = \int_F \vec{j} \cdot d\vec{F} + \frac{\partial}{\partial t} \int_F \vec{D} \cdot d\vec{F}$$

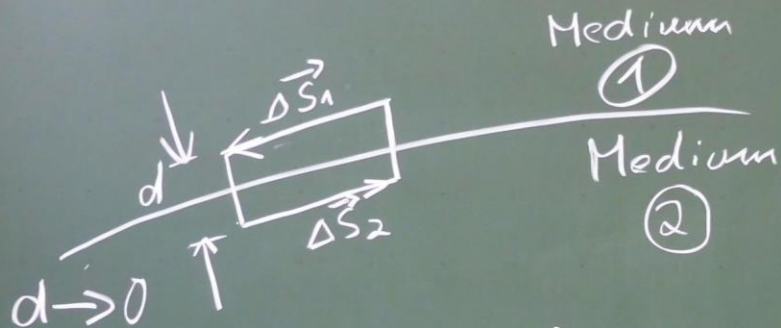
$$\oint_S \vec{E} \cdot d\vec{s} = - \frac{\partial}{\partial t} \int_F \vec{B} \cdot d\vec{F}$$

$$\oint_O \vec{D} \cdot d\vec{F} = \int_V \rho dV$$

$$\oint_A \vec{B} \cdot d\vec{F} = 0$$

Stetigkeitsbedingungen

Rand- und Stetigkeitsbedingungen



Da $d \rightarrow 0$ verlaufen
der Verschiebungsstrom
und der
magnetische Fluss

aus $\int_S \vec{H} \cdot d\vec{s} = \int_F \vec{j} \cdot dF$

wird

$$\vec{H}_1 \cdot \Delta \vec{s}_1 + \vec{H}_2 \cdot \Delta \vec{s}_2 = i_F \cdot \Delta S$$

$$\Rightarrow \boxed{\vec{H}_{t1} - \vec{H}_{t2} = i_F}$$

↔ Oberflächenstrom

Stetigkeitsbedingungen

Wobei H_{t_1} und H_{t_2} die tangentialem Komponenten von \vec{H}_1 bzw. \vec{H}_2 sind.

Für die elektrische Feldstärke gilt dann

$$\oint_S \vec{E} \cdot d\vec{s} = 0$$

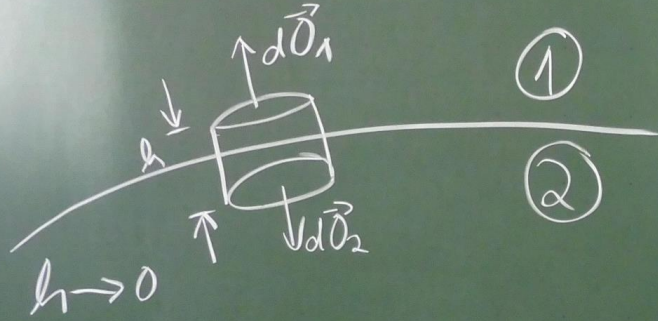
$$\Rightarrow \vec{E}_1 \cdot \Delta \vec{s}_1 + \vec{E}_2 \cdot \Delta \vec{s}_2 = 0$$

$$\Rightarrow \boxed{E_{t_1} - E_{t_2} = 0}$$

Stetigkeit der tangentialem Komponenten

Stetigkeitsbedingungen

Für die Feldkomponenten normal zur Grenzfläche



$$\oint_0 \vec{B} \cdot d\vec{F} = \int_V S dV$$

Kreisfläche

$$\Rightarrow \vec{D}_1 \cdot d\vec{D}_1 + \vec{D}_2 \cdot d\vec{D}_2 = S_F \Delta\Omega$$

Flächen-
ladung

$$\Rightarrow [D_{n1} - D_{n2} = S_F]$$

und

$$\oint_0 \vec{B} \cdot d\vec{F} = 0$$

$$\Rightarrow \vec{B}_1 \cdot d\vec{D}_1 + \vec{B}_2 \cdot d\vec{D}_2 = 0$$

$$\Rightarrow [B_{n1} - B_{n2} = 0]$$

Stetigkeit der
normalen Komponente

Stetigkeitsbedingungen

Wenn das Medium 2 ideal leitend ist, so
verschwinden die Felder und wir erhalten
die Randbedingungen

$$E_{t_1} = 0 \quad H_{t_1} = i_F$$

$$D_{n_1} = S_F \quad B_{n_1} = 0$$

Reflexion und Brechung an Grenzflächen

Reflexion und Brechung von ebenen Wellen

Für die elektrische Feldstärke erhalten
Wir für die ebenen Wellen (komplexe Zeiger)

$$\underline{E}_e(\vec{r}, t) = E_{e,0} e^{j(\omega_e t - \vec{k}_e \cdot \vec{r})}$$

$$\underline{E}_r(\vec{r}, t) = E_{r,0} e^{j(\omega_r t - \vec{k}_r \cdot \vec{r})}$$

$$\underline{E}_t(\vec{r}, t) = E_{t,0} e^{j(\omega_t t - \vec{k}_t \cdot \vec{r})}$$

Reflexion und Brechung an Grenzflächen

Die Medien seien Raumladungsfrei und
haben die Wellenzahlen

$$\underline{k}_{1,2} = \pm \sqrt{\omega^2 \mu_{1,2} \epsilon_{1,2} \left(1 - j \frac{\underline{k}_{1,2}}{\omega \epsilon_{1,2}} \right)}$$

Die Wellenvektoren ergeben sich zu

$$\vec{k}_e = \underline{k}_1 \vec{e}_{k,e} = \underline{k}_1 \begin{pmatrix} 0 \\ \sin(\alpha_e) \\ \cos(\alpha_e) \end{pmatrix}$$

$$\vec{k}_r = \underline{k}_1 \vec{e}_{k,r} = \underline{k}_1 \begin{pmatrix} 0 \\ \sin(\alpha_r) \\ -\cos(\alpha_r) \end{pmatrix}$$

$$\vec{k}_t = \underline{k}_2 \vec{e}_{k,t} = \underline{k}_2 \begin{pmatrix} \sin(\alpha_t) \\ \cos(\alpha_t) \end{pmatrix}$$

Annahme:
 \vec{k}_e, \vec{k}_r und \vec{k}_t
liegen in der
Einfallssebene
iner yz Ebene

Reflexion und Brechung an Grenzflächen

Die magnetische Feldstärke ist mit der elektrischen Feldstärke verknüpft
 $i \in \{e, r, t\}$

$$\vec{H}_i(\vec{r}, t) = \frac{1}{Z_i} [\vec{e}_{k,i} \times \vec{E}_i(\vec{r}, t)]$$

Komplexer
Wellenwiderstand

Stetigkeitsbedingungen

An allen Punkten auf der Grenzfläche

bei $\vec{r}_0 = \begin{pmatrix} x \\ y \\ 0 \end{pmatrix}$

Die tangentialen Feldkomponenten müssen stetig sein

$$\vec{E}_1(\vec{r}_0, t) = \vec{E}_e(\vec{r}_0, t) + \vec{E}_r(\vec{r}_0, t) \text{ und } \vec{E}_2(\vec{r}_0, t) = \vec{E}_t(\vec{r}_0, t)$$

und für

$$\vec{H}_1 = \vec{H}_e + \vec{H}_r \quad \text{und} \quad \vec{H}_2 = \vec{H}_t$$

Das Reflexionsgesetz

Damit die Stetigkeitsbedingungen an jedem \vec{r}_0 und zu jedem t erfüllt sind gilt die notwendige Bedingung, dass die Exponentialterme gleich sind.

D. h. $\omega_e = \omega_r = \omega_t = \omega$

und $\vec{k}_e \cdot \vec{r}_0 = \vec{k}_r \cdot \vec{r}_0 = \vec{k}_t \cdot \vec{r}_0$

Aus $\vec{k}_e \cdot \vec{r}_0 = \vec{k}_r \cdot \vec{r}_0$ folgt

F5

$$k_1 \sin(\alpha_e) \cancel{y} = k_1 \sin \alpha_r \cancel{y}$$
$$\Rightarrow \boxed{\alpha_e = \alpha_r = \alpha_1}$$

Reflexionsgesetz

Das Snelliussche Brechungsgesetz

Aus $\vec{k}_r \cdot \vec{r}_0 = \vec{k}_t \cdot r_0$ folgt $\boxed{\alpha_t = \alpha_2}$

$$k_1 \sin(\alpha_1) y = k_2 \sin(\alpha_2) y$$

$$\Rightarrow \boxed{\frac{\sin(\alpha_1)}{\sin(\alpha_2)} = \frac{k_2}{k_1} = \frac{n_2}{n_1}}$$

Snelliussches
Brechungsgesetz

wobei $n = \frac{k c_0}{\omega}$ bzw. für $K=0$ $n = \frac{k c_0}{\omega} = \frac{c_0}{c} = \sqrt{\mu_{\text{rel}}}$

Reflexions- und Transmissionsfaktor

$$\underline{E}_i(\vec{r}, t) = \left[\underline{E}_{i,0}^{(s)} \vec{e}_x + \underline{E}_{i,0}^{(p)} \vec{e}_{p,i} \right] e^{j(\omega t - \vec{k} \cdot \vec{r})}$$

es muss gelten

$$\vec{e}_{k,i} \times \vec{e}_x = \vec{e}_{p,i}$$

$$\Rightarrow \vec{e}_{p,i} = \begin{pmatrix} 0 \\ \sin(\alpha_1) \\ \cos(\alpha_1) \end{pmatrix} \times \begin{pmatrix} 1 \\ 0 \\ 0 \end{pmatrix} = \begin{pmatrix} 0 \\ \cos(\alpha_1) \\ -\sin(\alpha_1) \end{pmatrix}$$

$$\vec{e}_{p,r} = \begin{pmatrix} 0 \\ -\cos(\alpha_1) \\ -\sin(\alpha_1) \end{pmatrix} \text{ und } \vec{e}_{p,t} = \begin{pmatrix} 0 \\ \cos(\alpha_2) \\ -\sin(\alpha_2) \end{pmatrix}$$

$$\underline{H}_i(\vec{r}, t) = \frac{1}{2i} \left[\underline{E}_{i,0}^{(s)} \vec{e}_{p,e} - \underline{E}_{e,0}^{(p)} \vec{e}_x \right] e^{j(\omega t - k \cdot \vec{r})}$$

Reflexions- und Transmissionsfaktor

A

für senkrechte Polarisation

für die tangentialen Feldkomponenten gilt

$$\underbrace{E_{x,e,0} + E_{x,r,0}}_{\text{tangentialle E-Feld in } \textcircled{1}} = \underbrace{E_{x,t,0}}_{\text{tangentialle E-Feld in } \textcircled{2}}$$

$$H_{y,e,0} + H_{y,r,0} = H_{y,t,0}$$

Reflexions- und Transmissionsfaktor

daraus folgt

$$E_{e,0}^{(s)} + E_{r,0}^{(s)} = E_{t,0}^{(s)} \quad \text{und} \quad |$$

für die magnetische Feldstärke projiziert auf die y-Achse

$$\frac{1}{Z_1} E_{e,0}^{(s)} \vec{e}_{p,e} \cdot \vec{e}_y + \frac{1}{Z_1} E_{r,0}^{(s)} \vec{e}_{p,r} \cdot \vec{e}_y = \frac{1}{Z_2} E_{t,0}^{(s)} \vec{e}_{t,r} \cdot \vec{e}_y$$

$$\Rightarrow Z_2 \left(E_{e,0}^{(s)} \cos(\alpha_1) - E_{r,0}^{(s)} \cos(\alpha_1) \right) = Z_1 E_{t,0}^{(s)} \cos(\alpha_2)$$

Reflexions- und Transmissionsfaktor

Definiere

$$r_s = \frac{E_{r,0}^{(s)}}{E_{e,0}^{(s)}}$$

Reflexionskoeffizient

$$t_s = \frac{E_{t,0}^{(s)}}{E_{e,0}^{(s)}}$$

Transmissionskoeffizient

Danit gilt

$$1 + r_s = t_s$$

$$\Xi_2 \cos(\alpha_1) (1 - r_s) = \Xi_1 \cos(\alpha_2) t_s$$

Anmerkung:

für parallele Polarisation, siehe Foliensatz

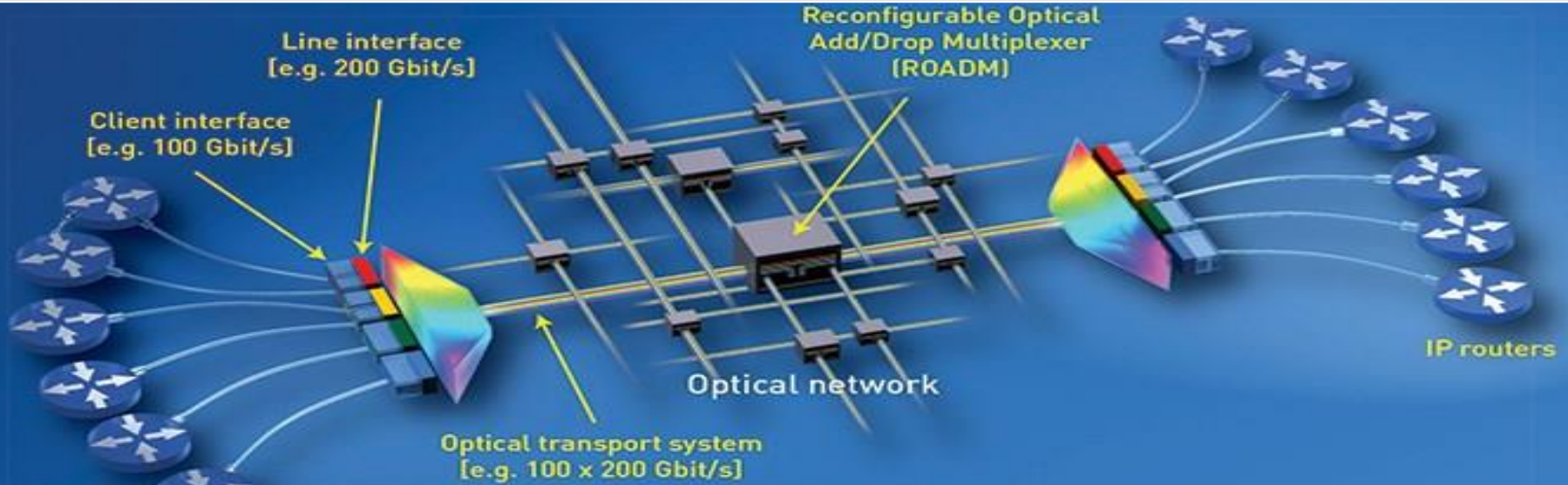
Elektromagnetische Wellen (EMW)

Vorlesung 6

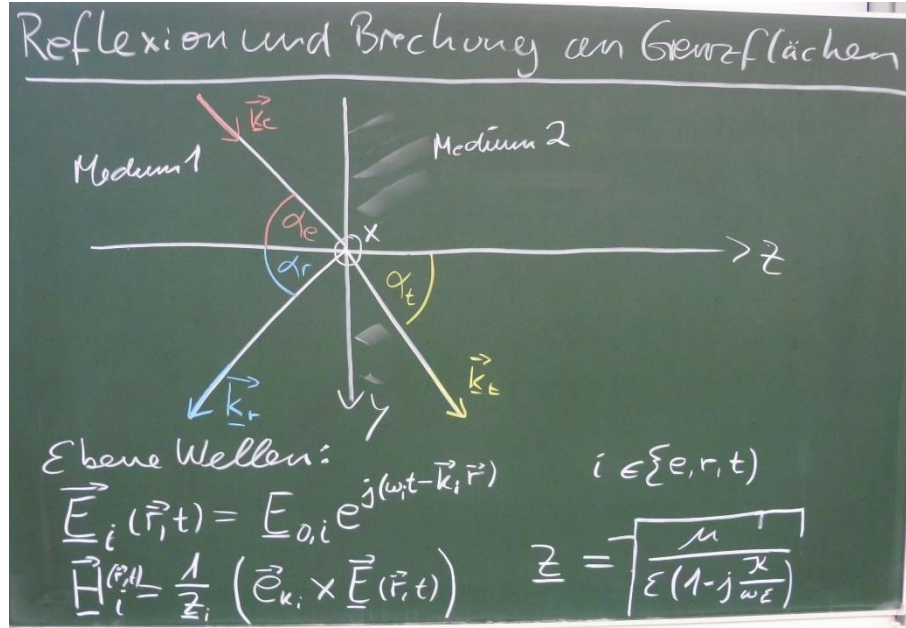
WS 2019/2020

Reflexion und Brechung von Wellen an Grenzflächen

Institute of Photonics and Quantum Electronics (IPQ), Department of Electrical Engineering and Information Technology (ETIT)



Wiederholung: Reflexion und Brechung



$$\vec{k}_e = k_1 \begin{pmatrix} 0 \\ \sin(\alpha_e) \\ \cos(\alpha_e) \end{pmatrix}, \quad \vec{k}_r = k_1 \begin{pmatrix} 0 \\ \sin(\alpha_r) \\ -\cos(\alpha_r) \end{pmatrix}, \quad \vec{k}_t = k_2 \begin{pmatrix} 0 \\ \sin(\alpha_t) \\ \cos(\alpha_t) \end{pmatrix}$$

mit $k = \pm \sqrt{\omega \mu \epsilon (1 - j \frac{\chi}{\omega \epsilon})}$ komplexe Wellenzahl

Aus den Stetigkeitsbedingungen folgt

- I) $\omega_e = \omega_r = \omega_t = \omega$ (gleiche Zeitabhängigkeit)
- II) $\vec{k}_e \cdot \vec{r}_0 = \vec{k}_r \cdot \vec{r}_0 = \vec{k}_t \cdot \vec{r}_0$ für $\vec{r}_0 = \begin{pmatrix} x \\ y \\ 0 \end{pmatrix}$ Grenzfläche (gleiche Ortsabhängigkeit)

$$\Rightarrow \alpha_e = \alpha_r = \alpha_1 \quad (\text{Reflexionsgesetz})$$

$$\Rightarrow \frac{\sin(\alpha_1)}{\sin(\alpha_2)} = \frac{k_2}{k_1} \quad (\text{Brechungsgesetz})$$

Wiederholung: Die Fresnelschen Formeln

für die Amplituden unterscheiden wir 2 orthogonale Polarisationszustände

1) senkrechte Polarisation:

- E-Feld steht senkrecht auf die Einfallsebene d.h. nur E-Feld hat nur eine x-Komponente
- H-Feld liegt in der Einfallsebene

$$\begin{aligned}\Gamma_s &= \frac{E_r^{(s)}}{E_e^{(s)}} = \frac{\underline{z}_2 \cos \alpha_1 - \underline{z}_1 \cos \alpha_2}{\underline{z}_2 \cos \alpha_1 + \underline{z}_1 \cos \alpha_2} \\ t_s &= \frac{E_t^{(s)}}{E_e^{(s)}} = \frac{2 \underline{z}_2 \cos \alpha_1}{\underline{z}_2 \cos \alpha_1 + \underline{z}_1 \cos \alpha_2}\end{aligned}$$

2) parallele Polarisation

- E-Feld liegt in der Einfallsebene (parallel)
- H-Feld steht senkrecht dazu

Wir erhalten

$$\begin{aligned}\Gamma_p &= \frac{E_r^{(p)}}{E_e^{(p)}} = \frac{\underline{z}_1 \cos \alpha_1 - \underline{z}_2 \cos \alpha_2}{\underline{z}_1 \cos \alpha_1 + \underline{z}_2 \cos \alpha_2} \\ t_p &= \frac{E_t^{(p)}}{E_e^{(p)}} = \frac{2 \underline{z}_2 \cos \alpha_1}{\underline{z}_1 \cos \alpha_1 + \underline{z}_2 \cos \alpha_2}\end{aligned}$$

Fresnelsche Formeln für Dielektrika und Brewster-Winkel

Fall I: nichtleitende Medien

$$\kappa_1 = \kappa_2 = 0 \quad k_1 = \omega \sqrt{\mu_1 \epsilon_1} = \frac{\omega}{c_1}$$
$$k_2 = \omega \sqrt{\mu_2 \epsilon_2} = \frac{\omega}{c_2}$$

Brechungswinkel α

$$n_1 = \frac{k_1}{k_0} = \frac{c_0}{c_1} = \sqrt{\mu_1 \epsilon_2}$$

$$z = \sqrt{\frac{\mu}{\epsilon}} = \sqrt{\frac{\mu_0}{\epsilon_0}} \cdot \sqrt{\frac{\mu_r}{\epsilon_r}} = z_0 n$$

n_2 entsprechend...

Snelliusche Brechungsgesetz

$$\frac{\sin \alpha_1}{\sin \alpha_2} = \frac{n_2}{n_1}$$

Fresnelsche Beziehungen ($\mu_1 = \mu_2$)

$$\Gamma_p = \frac{n_1 \cos \alpha_1 - n_2 \cos \alpha_2}{n_1 \cos \alpha_1 + n_2 \cos \alpha_2}$$

für

$$n_1 \cos \alpha_1 = n_2 \cos \alpha_2$$

wird $\Gamma_p = 0$

$$\Gamma_s = \frac{n_2 \cos \alpha_1 - n_1 \cos \alpha_2}{n_2 \cos \alpha_1 + n_1 \cos \alpha_2}$$

α_1 heißt dann
Brewster oder Polarisationswinkel

Fresnelsche Formeln für Dielektrika

Snelliussches Brechungsgesetz

$$\boxed{\sin \alpha_2 = \frac{n_1}{n_2} \sin \alpha_1}$$

für $n_1 > n_2$ spricht man vom Übergang

optisch dichteres Medium \rightarrow optisch dünneres Medium

$$\Rightarrow \sin \alpha_2 > \sin \alpha_1 \text{ bzw } \alpha_2 > \alpha_1$$

d.h. die transmittierte Welle wird „vom Lotweg“ gebrochen
oder die transmittierte Welle wird zum optisch dichten
Medium hin gebrochen

$$\text{für } n_1 < n_2 \Rightarrow \alpha_2 < \alpha_1$$

transmittierte Welle \Rightarrow „zum Lotlin.“

= „zum optisch dünneren Medium.“

Totalreflexion

Im Fall $\sin \alpha_1 = \frac{n_2}{n_1}$ folgt

$$\sin \alpha_2 = 1 \Rightarrow \alpha_2 = 90^\circ$$

Für $\alpha_1 > \arcsin\left(\frac{n_2}{n_1}\right) = \underline{\alpha_{1,6}}$ ergäbe sich

$\sin \alpha_2 > 1 \rightarrow$ nicht möglich

wir beobachten, dass für $\alpha_1 > \alpha_{1,6}$ der

~~Winkel $\alpha = 90^\circ$ bleibt~~

Wir erhalten eine Vollständige Reflexion
die sogenannte Totalreflexion

Totalreflexion

für $\alpha_2 = 90^\circ$ erhalten wir $\cos(\alpha_2) = 0$

$$\Rightarrow \underline{t}_p = 1 \text{ und } \underline{t}_s = 1$$

Dies bedeutet jedoch nicht, dass die transmittierte Welle verschwindet!

$$\text{bei } \alpha_2 = 90^\circ: \underline{t}_p = 2 \frac{n_1}{n_2} \text{ und } \underline{t}_s = 2$$

für Wellenvektor der transmittierten Welle gilt

$$\vec{k}_t = \underline{k}_2 \cdot \sin \alpha_2 \cdot \vec{e}_y + \underline{k}_2 \cdot \cos \alpha_2 \cdot \vec{e}_z$$

Totalreflexion

$$\text{mit } \sin\alpha_2 = \frac{n_1}{n_2} \sin\alpha_1$$

$$\text{und } \cos\alpha_2 = \sqrt{1 - \sin^2\alpha_2} = \sqrt{1 - \frac{n_1^2}{n_2^2} \sin^2\alpha_1}$$

$$\vec{k}_t = k_2 \cdot \frac{n_1}{n_2} \sin\alpha_1 \vec{e}_y + k_2 \sqrt{1 - \frac{n_1^2}{n_2^2} \sin^2\alpha_1} \cdot \vec{e}_z$$

$$= k_2 \frac{n_1}{n_2} \sin\alpha_1 \vec{e}_y + j k_2 \sqrt{\frac{n_1^2}{n_2^2} \sin^2\alpha_1 - 1} \cdot \vec{e}_z = \beta \vec{e}_y - \gamma \vec{e}_z$$

die transmittierte Welle ist proportional
 $e^{j(\omega t - \beta y)} \cdot e^{-\alpha z}$ in z-Richtung
gedämpft

Reflexion am idealen Leiter

Fall II Reflexion am idealen Leiter
 $K_2 \rightarrow \infty$ und $K_1 = 0$

$$k_1 = \pm \omega \sqrt{\mu_1 \epsilon_1}$$

$$k_2 = \pm \sqrt{\omega^2 \mu_2 \epsilon_2 \left(1 - j \frac{K_2}{\omega \epsilon_2}\right)} \approx \pm \sqrt{\omega^2 \mu_2 \epsilon_2 \left(-j \frac{K_2}{\omega \epsilon_2}\right)}$$

$$= \pm \sqrt{-j} \sqrt{\omega \mu_2 K_2} = \pm \frac{1-j}{\sqrt{K_2}} \sqrt{\omega \mu_2 K_2}$$

Weiterhin $Z_1 = \sqrt{\frac{\mu_1}{\epsilon_1}}$ und $Z_2 = \sqrt{\frac{\mu_2}{\epsilon_2 (1 - j \frac{K_2}{\omega \epsilon_2})}} \approx \sqrt{j} \sqrt{\frac{\omega \mu_2}{K_2}}$

$$\Rightarrow \left| \frac{Z_1}{Z_2} \right| = \left| \sqrt{\frac{\mu_1 K_2}{\omega \epsilon_1 \mu_2}} \right| \gg 1$$

aus dem Brechungsgesetz

$$\cos(\alpha_2) = \sqrt{1 - \sin^2(\alpha_1)} = \sqrt{1 - \underbrace{\frac{k_1^2}{k_2^2} \sin^2 \alpha_1}_{\rightarrow 0}} \approx 1$$

$$\Rightarrow \alpha_2 = 0$$

\Rightarrow transmittierte Welle in
z-Richtung

Reflexion am idealen Leiter

für die Amplituden erhalten wir
mit $\cos \alpha_2 = 1$

$$\Gamma_s = \frac{z_2 \cos \alpha_1 - z_1}{z_2 \cos \alpha_1 + z_1} = \frac{\cos \alpha_1 - \frac{z_1}{z_2}}{\cos \alpha_1 + \frac{z_1}{z_2}} \approx -1$$

$$t_s = \frac{2 \cos \alpha_1}{\cos \alpha_1 + \frac{z_1}{z_2}} \approx 0$$

$$\Gamma_p = \dots \approx 1$$

$$t_p = \dots \approx 0$$

Reflexion am idealen Leiter und Skin-Effekt

a.h. die einfallende Welle wird vollständig
reflektiert (Spiegel)

für die transmittierte Welle gilt

$$\vec{k}_t = \underline{k}_2 \underbrace{\sin \alpha_2 \vec{e}_y}_{\approx 0} + \underline{k}_2 \underbrace{\cos \alpha_2 \vec{e}_z}_{\approx 1} \approx \underline{k}_2 \cdot \vec{e}_z$$

die transmittierte Welle ist also proportional

$$e^{j(\omega t - \vec{k}_t \cdot \vec{r})} \approx e^{j(\omega t - \underline{k}_2 \vec{e}_z \cdot \vec{r})} = e^{j(\omega t - \underline{k}_2 z)}$$
$$= e^{j(\omega t - (\pm \frac{1-j}{\tau_2} \operatorname{Im} \underline{k}_2) z)} = \dots$$

Reflexion am idealen Leiter und Skin-Effekt

$$\dots = e^{j(\omega t + \sqrt{\frac{\omega \mu_2 k_2}{2}} z)} \cdot e^{\pm \sqrt{\frac{\omega \mu_2 k_2}{2}} z}$$

wir wählen das Vz so, dass sich eine abklingende Welle ergibt!

$$\dots e^{j(\omega t + \frac{z}{\delta_s})} e^{-\frac{z}{\delta_s}}$$
 wobei $\boxed{\delta_s = \sqrt{\frac{2}{\omega \mu_2 k_2}}}$

Eindringtiefe bzw.
Skin-tiefe

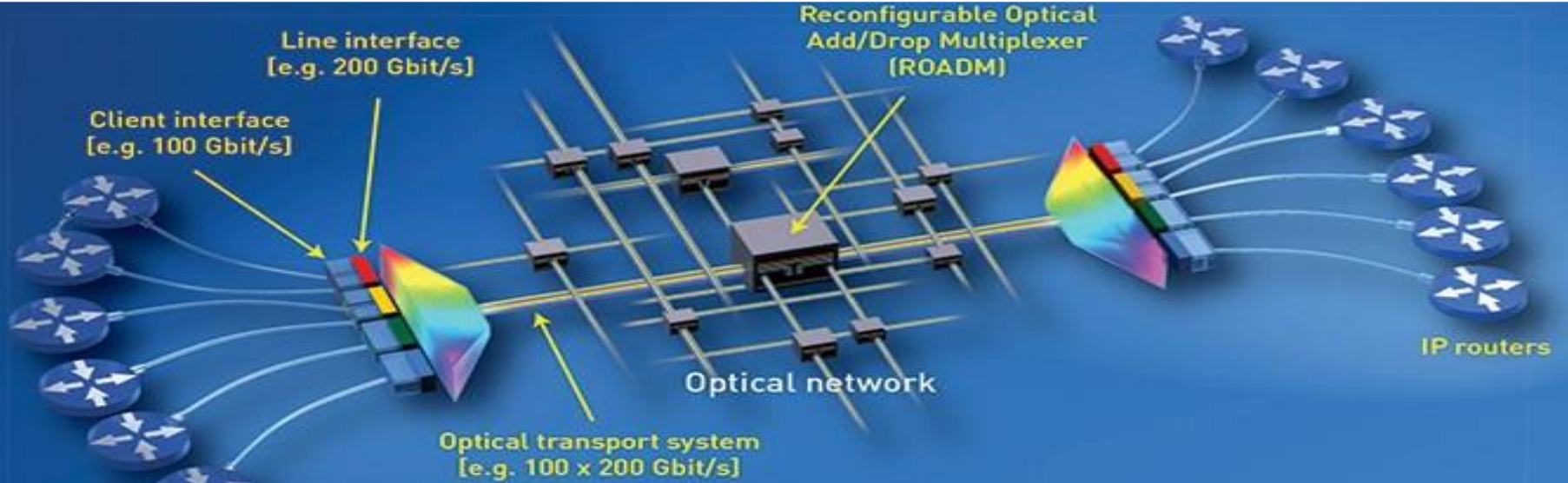
Elektromagnetische Wellen (EMW)

Vorlesung 7

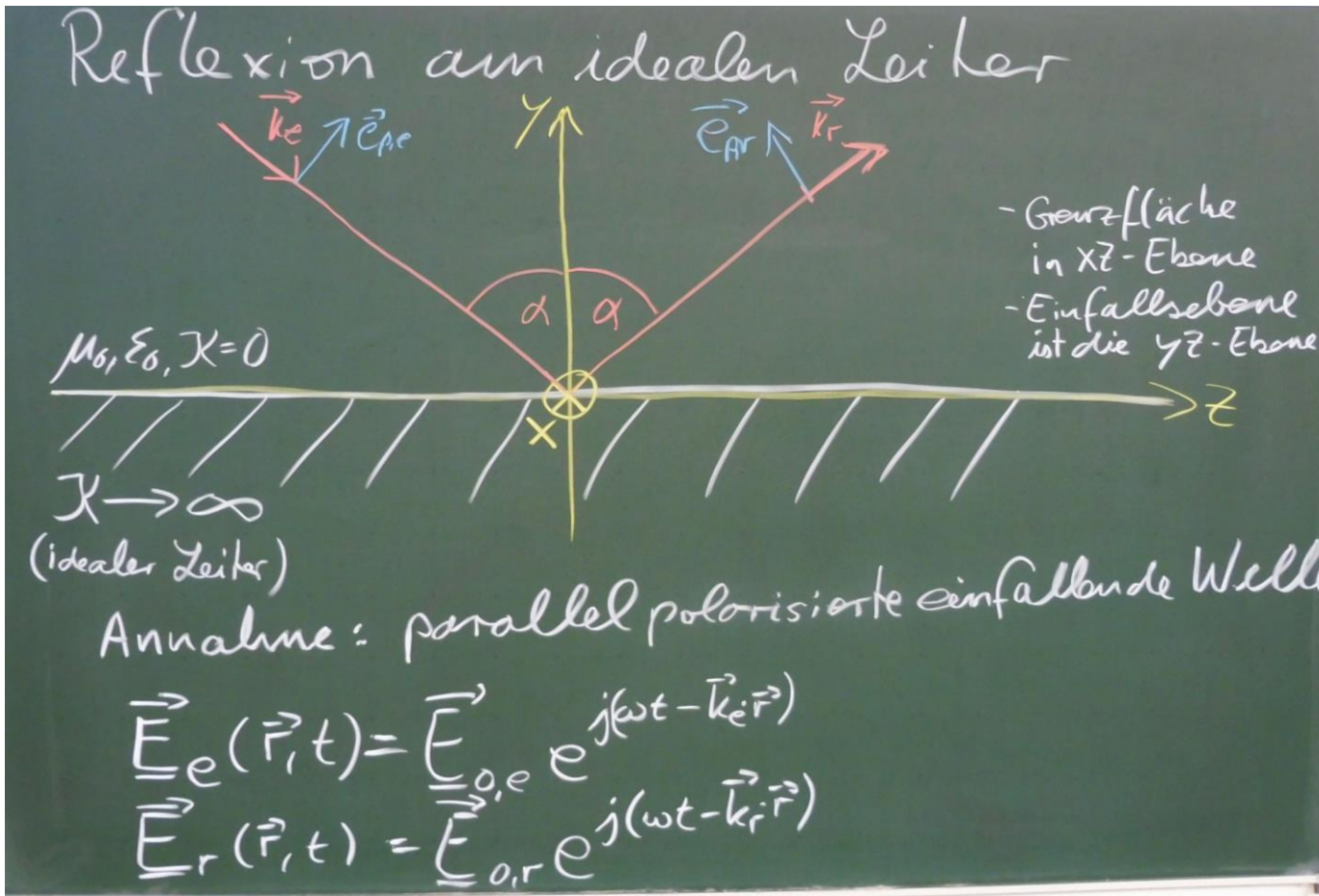
WS 2019/2020

Reflexion am idealen Leiter und Plattenwellenleiter

Institute of Photonics and Quantum Electronics (IPQ), Department of Electrical Engineering and Information Technology (ETIT)



Reflexion am idealen Leiter



Reflexion am idealen Leiter

Wir erhalten die Wellenvektoren

$$\vec{k}_e = k_0 \begin{pmatrix} 0 \\ -\cos\alpha \\ \sin\alpha \end{pmatrix} \quad \text{und} \quad \vec{k}_r = k_0 \begin{pmatrix} 0 \\ \cos\alpha \\ \sin\alpha \end{pmatrix} \quad \text{mit} \quad k_0 = \frac{\omega}{c_0} = \omega \sqrt{\mu_e \epsilon_r}$$

Für die Wellenamplituden gilt bei paralleler Polarisation $\Gamma_p = 1$ und $t_p = 0$

$$\vec{E}_{0,e} = E_0 \cdot \vec{e}_{p,e} = E_0 \begin{pmatrix} 0 \\ \sin\alpha \\ \cos\alpha \end{pmatrix}$$

$$\vec{E}_{0,r} = \Gamma_p \vec{E}_0 \vec{e}_{p,r} = E_0 \begin{pmatrix} 0 \\ \sin\alpha \\ -\cos\alpha \end{pmatrix}$$

Reflexion am idealen Leiter

Für $\gamma > 0$ überlagern sich die Wellen

$$\vec{E}(\vec{r}, t) = \vec{E}_e(\vec{r}, t) + \vec{E}_r(\vec{r}, t) = \vec{E}_{0,e} e^{j(\omega t - \vec{k}_e \cdot \vec{r})} + \vec{E}_{0,r} e^{j(\omega t - \vec{k}_r \cdot \vec{r})} = \begin{pmatrix} 0 \\ E_y(\vec{r}, t) \\ E_z(\vec{r}, t) \end{pmatrix}$$

mit

$$\begin{aligned} E_y(\vec{r}, t) &= E_0 \sin \alpha \left(e^{j(\omega t - \vec{k}_e \cdot \vec{r})} + e^{j(\omega t + \vec{k}_r \cdot \vec{r})} \right) \\ &= E_0 \sin \alpha \left(e^{j(\omega t - k_0 \cos \alpha y + \sin \alpha z)} + e^{-j(\omega t + k_0 \cos \alpha y + \sin \alpha z)} \right) e^{j\omega t} \\ &= E_0 \sin \alpha^2 \left(e^{jk_0 \cos \alpha y} + e^{-jk_0 \cos \alpha y} \right) e^{j(\omega t - k_0 \sin \alpha z)} = E_{0,y}(y) e^{j(\omega t - k_0 \sin \alpha z)} \end{aligned}$$

inhomogene
ebene Welle
in z -Richtung

Reflexion am idealen Leiter

$$E_z(\vec{r}, t) = E_0 \cos \alpha \frac{2j}{2j} \left(e^{j(\omega t - \vec{k}_e \cdot \vec{r})} - e^{j(\omega t - \vec{k}_r \cdot \vec{r})} \right)$$

= ...

$$= 2j E_0 \cos \alpha \sin(k_0 \sin \alpha y) e^{j(\omega t - k_0 \sin \alpha z)} = E_{0,z}(y) e^{j(\omega t - k_0 \sin \alpha z)}$$

das ergibt

$$\vec{E}(\vec{r}, t) = \vec{E}_0(y) e^{j(\omega t - k_z z)}$$

mit

$$\vec{E}_0(y) = 2E_0 \begin{pmatrix} 0 \\ \sin \alpha \cos(k_y y) \\ j \cos \alpha \sin(k_y y) \end{pmatrix} \quad \text{mit} \quad \begin{aligned} k_y &= k_0 \cdot \cos \alpha \\ k_z &= k_0 \cdot \sin \alpha \end{aligned}$$

Phasen- und Gruppengeschwindigkeit

Phasen- und Gruppengeschwindigkeit

$$V_{ph} = \frac{\omega}{\beta} \quad \text{und} \quad V_{gr} = \frac{d\omega}{d\beta}$$

für die Welle in z -Richtung \Rightarrow für reelle k_z gilt $\beta_z = k_z \Rightarrow V_{ph,z} = \frac{\omega}{k_z}$

Weiterhin gilt mit dem Satz des Pythagoras: $k_0^2 = k_y^2 + k_z^2$

auf lösen nach der Kreisfrequenz

$$\omega(\beta_z) = c_0 \cdot \sqrt{\beta_z^2 + k_y^2}$$

$$k_0 = \frac{\omega}{c_0}$$

Ableiten nach β_z

$$V_{gr,z} = \frac{d\omega}{d\beta_z} = c_0 \cdot 2\beta_z \cdot \frac{1}{2} \cdot \frac{1}{\sqrt{\beta_z^2 + k_y^2}} = \frac{\beta_z \cdot c_0}{\sqrt{\beta_z^2 + k_y^2}} = \frac{\beta_z \cdot c_0}{k_0}$$

$$\Rightarrow V_{gr,z} = c_0 \cdot \frac{1}{\sqrt{k_0^2 - \beta_z^2}}$$

$$\Rightarrow V_{gr,z} \cdot V_{ph,z} = c_0^2$$

mit $V_{ph,z} \geq c_0$ und $V_{gr,z} \leq c_0$ kein Widerspruch zur Relativitätstheorie

$$\Rightarrow k_z = \sqrt{k_0^2 - k_y^2} = \sqrt{\frac{\omega^2}{c_0^2} - k_y^2}$$

für k_z reell gilt $\beta_z = k_z$

Feldlinien und Parallelplattenleitung

Die Feldlinien für $\vec{E}(\vec{r}, t)$ ergeben sich aus
der Lösung der Differentialgleichung

$$\frac{dy}{dz} = \frac{\operatorname{Re}\{E_y(\vec{r}, t)\}}{\operatorname{Re}\{E_z(\vec{r}, t)\}} = -\frac{\sin(k_y y) \cdot \cos(\omega t - k_z z)}{\cos(k_y y) \cdot \sin(\omega t - k_z z)}$$

das ergibt konstanten E-Feldes für
 $\cos(k_y y) \sin(\omega t - k_z z) = \text{const.}$

mit den Wellenlängen

$$\lambda_y = \frac{2\pi}{k_y} \quad \text{und} \quad \lambda_z = \frac{2\pi}{k_z} \quad \text{erhalten wir}$$

$$\boxed{\cos\left(2\pi \frac{y}{\lambda_y}\right) \sin\left(\omega t - 2\pi \frac{z}{\lambda_z}\right) = \text{const.}}$$

Veranschaulichung
des Ergebnisses mit
Matlab-Beispiel

bei
 $y = n \cdot \frac{\lambda_y}{2}$ ergeben sich
Ebene, auf welche das E-Feld
senkrecht steht.

\Rightarrow Wir können uns vorstellen,
dass wir in dieser Ebene eine
ideal leitende Platte einziehen
 \Rightarrow würde das Feld nicht ändern

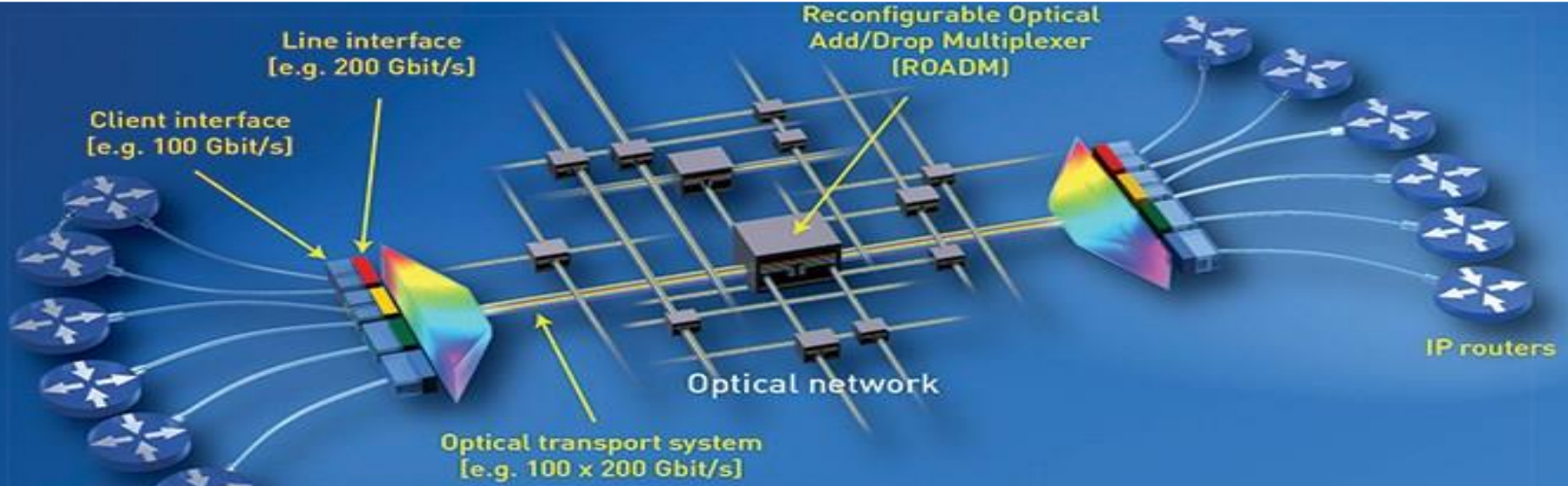
Elektromagnetische Wellen (EMW)

Vorlesung 8

WS 2019/2020

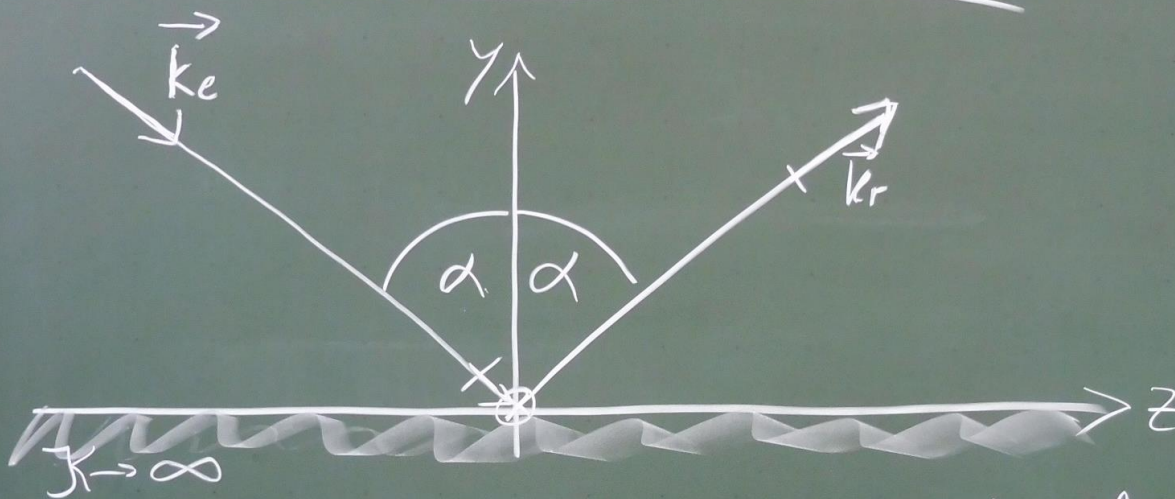
Parallelplattenleitung

Institute of Photonics and Quantum Electronics (IPQ), Department of Electrical Engineering and Information Technology (ETIT)



Reflexion am idealen Leiter

Reflexion am idealen Leiter



Für parallele Polarisation ergibt sich das elektrische Feld in der oberen Halbebene als Überlagerung der einfallenden und der reflektierten Welle.

Reflexion am idealen Leiter

$$\vec{E}(\vec{r},t) = \vec{E}_0(y) e^{j(\omega t - k_z z)}$$

mit

$$\vec{E}_0(y) = 2\vec{E}_0 \begin{pmatrix} 0 \\ \sin \alpha \cos(k_y y) \\ j \cos \alpha \sin(k_y y) \end{pmatrix}$$

mit den Wellenzahlen

$$k_y = k_0 \cos \alpha = \frac{2\pi}{\lambda_y} \quad \text{und} \quad k_0 = \frac{\omega}{c_0} = \frac{2\pi}{\lambda_0}$$

$$k_z = k_0 \sin \alpha = \frac{2\pi}{\lambda_z} \quad \lambda_0 := \begin{matrix} \text{Wellenlänge} \\ \text{im Vakuum} \end{matrix}$$

mit dem Satz des Pythagoras gilt

$$k_y^2 + k_z^2 = k_0^2$$

bzw

$$\frac{1}{\lambda_y^2} + \frac{1}{\lambda_z^2} = \frac{1}{\lambda_0^2}$$

Reflexion am idealen Leiter

Unter der Annahme, daß k_z reell ist gilt
für die Phasenkonstante im z-Richtung

$$\beta_z = k_z = \sqrt{k_0^2 - k_y^2} = \sqrt{\frac{\omega^2}{c_0^2} - k_y^2}$$

Aufgelöst nach ω erhalten wir

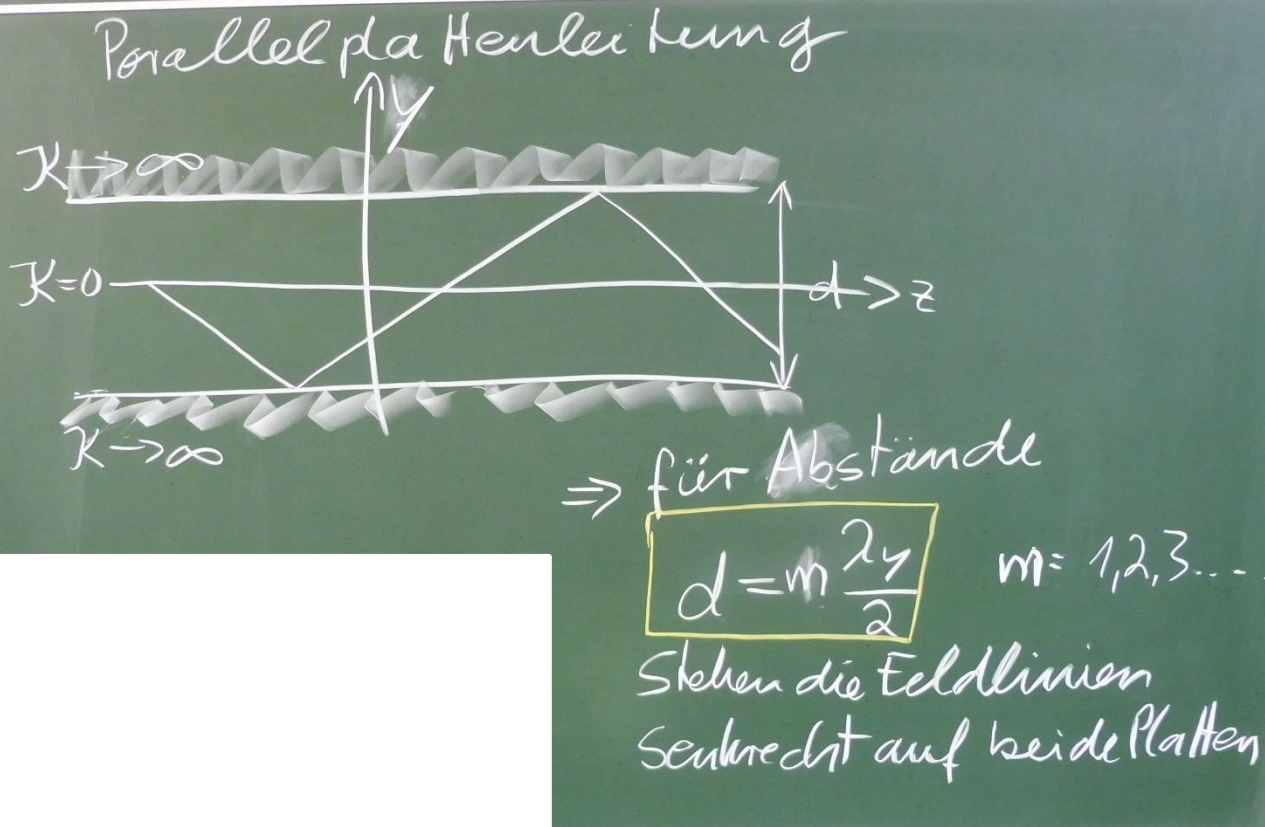
$$\omega(\beta_z) = c_0 \sqrt{\beta_z^2 + k_y^2}$$

- für Phasengeschwindigkeit gilt $v_{ph,z} = \frac{\omega}{\beta_z}$

- für die Gruppengeschwindigkeit gilt $v_{gr,z} = \frac{d\omega}{d\beta_z} = \frac{\beta_z \cdot c_0}{\sqrt{\beta_z^2 + k_y^2}}$

$$\Rightarrow v_{ph,z} \cdot v_{gr,z} = c_0^2$$

Parallelplattenleitung



Parallelplattenleitung

$$k_y = \frac{2\pi}{\lambda_z} \quad \text{d.h. wir haben in der Parallelplattenleitung}$$

$$\text{Lösungen für } k_y = m \frac{\pi}{d}$$

Und somit

$$k_z = \sqrt{k_0^2 - k_y^2} = \sqrt{k_0^2 - \left(m \frac{\pi}{d}\right)^2} = \sqrt{\frac{4\pi^2}{\lambda_0^2} - \frac{m^2\pi^2}{d^2}} = \pi \sqrt{\frac{4}{\lambda_0^2} - \frac{m^2}{d^2}}$$

d.h.

für $\frac{4}{\lambda_0^2} < \frac{m^2}{d^2}$ wird k_z imaginär

d.h. für $d < \frac{\lambda_0}{2}$ wird die Welle exponentiell gedämpft

Die Feldlinien für das elektrische Feld ergeben sich aus

$$\frac{dy}{dz} = \frac{\operatorname{Re} \{ E_y(\vec{r}, t) \}}{\operatorname{Re} \{ E_z(\vec{r}, t) \}}$$

Parallelplattenleitung

mit Hilfe von $\omega = \frac{2\pi c_0}{\lambda_0}$

ergibt sich die Grenzfrequenz

$$\omega_c = \frac{2\pi c_0}{\lambda_c} = \frac{\pi c_0}{d} \quad \text{wobei } \lambda_c = \frac{\lambda_0}{2}$$

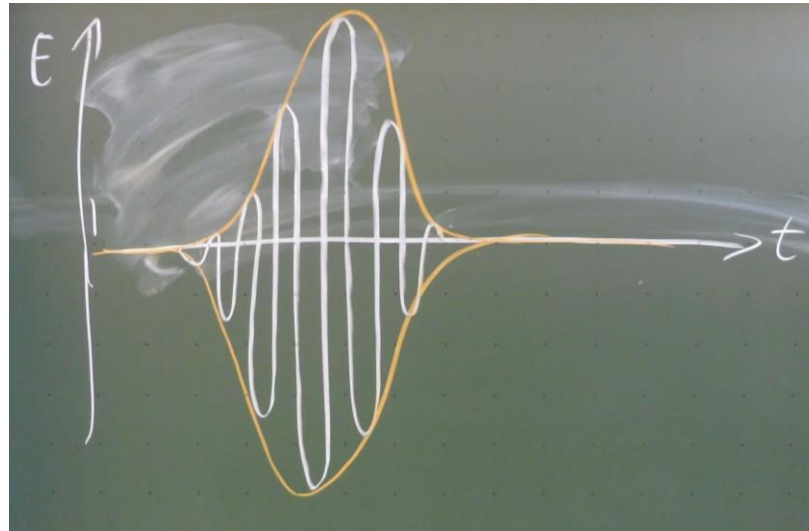
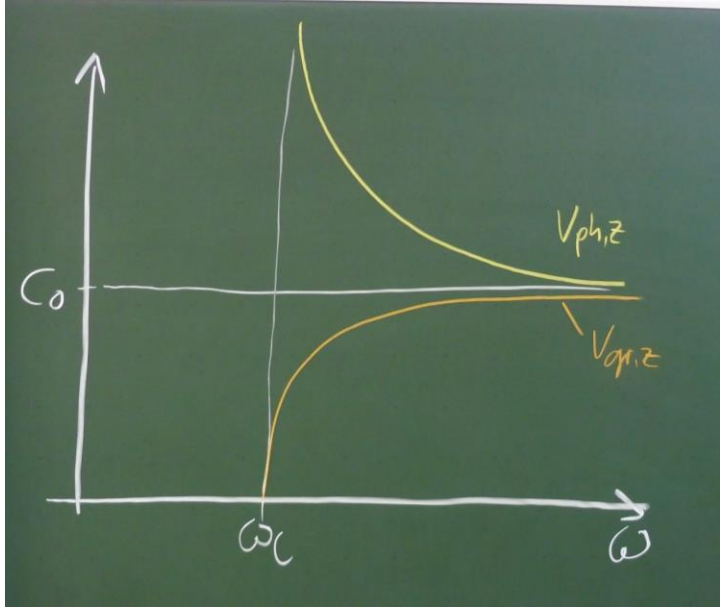
für die Wellenzahl in z-Richtung gilt somit

$$k_z = \frac{1}{c_0} \sqrt{\omega^2 - \omega_c^2} = k_0 \sqrt{1 - \left(\frac{\omega_c^2}{\omega^2}\right)}$$

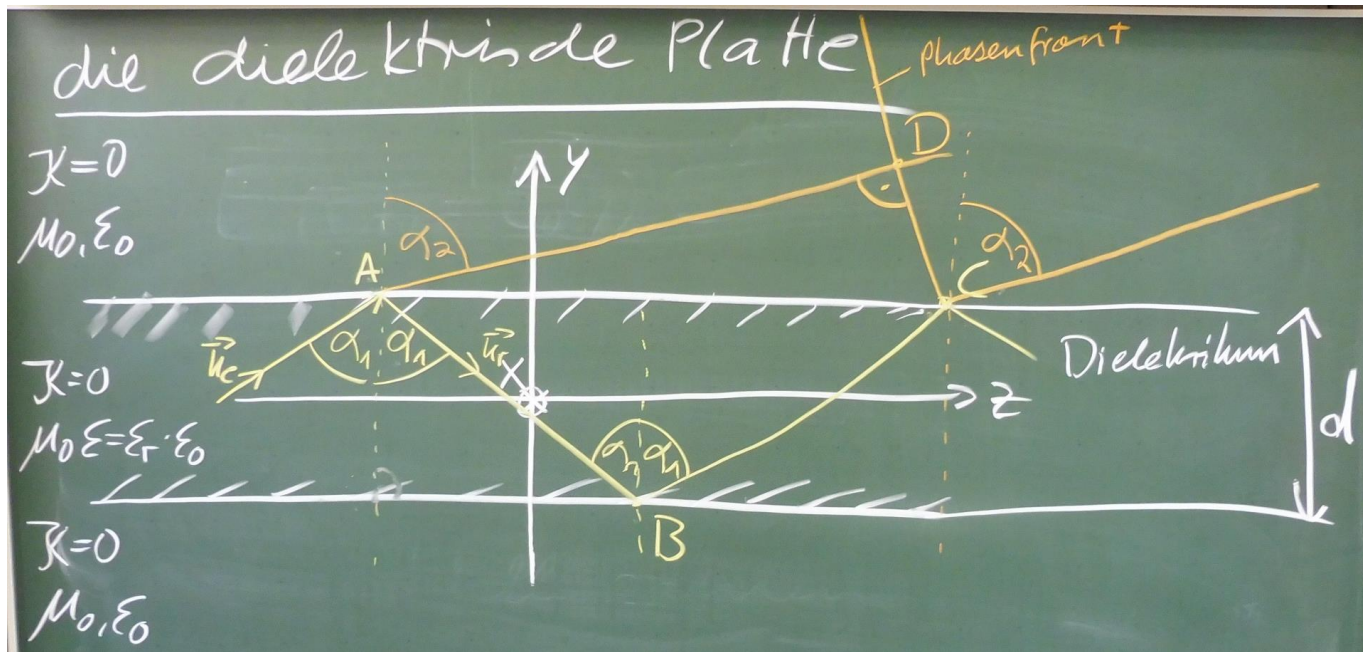
Damit gilt für $\omega > \omega_c$

$$V_{phz} = \frac{\omega}{\beta_z} = \frac{c_0}{\sqrt{1 - \left(\frac{\omega_c}{\omega}\right)^2}} \quad \text{und} \quad V_{gr,z} = \frac{c_0}{\sqrt{\rho_{phz}}}$$

Parallelplattenleitung



Dielektrische Plattenleitung



Fresnelsche Beziehungen ($n_2=1$)

$$I_s = \frac{n_1 \cdot \cos \alpha_1 - \cos \alpha_2}{n_1 \cos \alpha_1 + \cos \alpha_2}$$

$$r_p = \frac{\cos \alpha_1 - n_1 \cos \alpha_2}{\cos \alpha_1 + n_1 \cos \alpha_2}$$

Dielektrische Plattenleitung

Damit sich ein konstantes Wellenbild mit ebener Phasenfront in Richtung k_t ergibt muss gelten, daß die Phasen der transmittierten Wellen an den Punkten C und D bis auf ein Vielfaches von 2π gleich sein müssen.

Die Bedingung lässt sich formulieren als

$$\underline{\varphi}_F + \overline{AB} \cdot k_1 + \underline{\varphi}_F + \overline{BC} \cdot k_1 + \varphi_t = \varphi_t + \overline{AD} \cdot k_0^{\text{max}}$$

↑ ↑ ↑ ↑ ↑
Phase des Ausbreitung Reflexion Ausbreitung Transmission
Reflexions- von bei bei bei A
Koeffizienten A \rightarrow B B C D
bei A

Aus der Geometrie ergibt sich

$$\overline{AB} = \frac{d}{\cos \alpha_1} = \overline{BC}$$

$$\overline{AC} = 2d \tan \alpha_1 \quad \text{und} \quad \overline{AD} = \overline{AC} \cdot \sin \alpha_2$$

Dielektrische Plattenleitung

Damit ergibt sich die Bedingung für ein
konstantes Wellenbild zu

$$2\varphi_r + k_1(\overline{AB} + \overline{BC}) = \overline{AD}k_0 + m \cdot 2\pi$$

$$\Leftrightarrow 2\varphi_r + \frac{2dk_1}{\cos\alpha_1} = \frac{2dk_0 \cdot m}{\cos\alpha_1} \cdot \sin^2\alpha_1 + m \cdot 2\pi$$

$$\Leftrightarrow \varphi_r = \frac{1}{2} \frac{2dk_1}{\cos\alpha_1} (\sin^2\alpha_1 - 1) + m \cdot 2\pi$$

$$\Leftrightarrow \boxed{\varphi_r = dk_1 \cos\alpha_1 + m \cdot 2\pi}$$

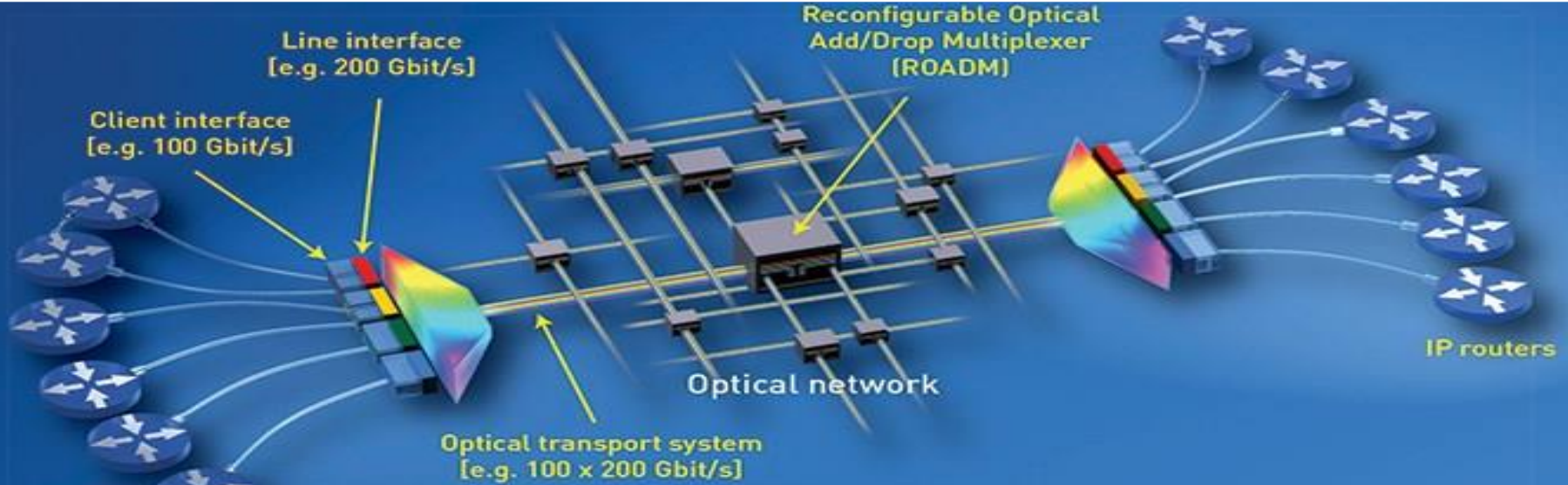
Elektromagnetische Wellen (EMW)

Vorlesung 9

WS 2019/2020

Dielektrische Platte

Institute of Photonics and Quantum Electronics (IPQ), Department of Electrical Engineering and Information Technology (ETIT)



Phasen- und Gruppengeschwindigkeit (Exkurs)

Zeitharmonische Ebene Welle in z-Richtung

$$\vec{E}_0(z,t) = \vec{E}_0 \exp(j(\omega_0 t - \beta_0 z))$$

Phasengeschwindigkeit $v_{ph,0} = \frac{\omega_0}{\beta_0}$

dann gilt $\vec{E}(z,t) = \vec{E}_0 \exp(j\omega_0(t - \frac{z}{v_{ph,0}}))$

Gruppengeschwindigkeit $v_{gr,0} = \left. \frac{d\omega}{d\beta} \right|_{\omega=\omega_0}$

betrachten wir zwei ebene Wellen

$$\vec{E}_1(z,t) = \vec{E}_1 \exp(j\omega_1(t - \frac{z}{v_{ph,1}}))$$
$$\vec{E}_2(z,t) = \vec{E}_2 \exp(j\omega_2(t - \frac{z}{v_{ph,2}}))$$

mit

$$\Delta\omega = \omega_1 - \omega_2$$
$$\Delta\beta = \beta_1 - \beta_2$$

mit

$$\omega_0 = \frac{\omega_1 + \omega_2}{2} \quad \omega_1 = \omega_0 - \frac{\Delta\omega}{2} \quad \beta_1 = \beta_0 - \frac{\Delta\beta}{2}$$
$$\omega_2 = \omega_0 + \frac{\Delta\omega}{2} \quad \beta_2 = \beta_0 + \frac{\Delta\beta}{2}$$
$$\Rightarrow v_{ph,1} = \frac{\omega_1}{\beta_1} \quad \text{und} \quad v_{ph,2} = \frac{\omega_2}{\beta_2}$$

Phasen- und Gruppengeschwindigkeit (Exkurs)

Überlagerung der Wellen E_1 und E_2

$$E_{12}(z,t) = \vec{E}_1 \exp\left(j\left(\omega_0 - \frac{\Delta\omega}{2}\right)t - \left(\beta_0 - \frac{\Delta\beta}{2}\right)z\right)$$

$$+ \vec{E}_2 \exp\left(j\left(\omega_0 + \frac{\Delta\omega}{2}\right)t - \left(\beta_0 + \frac{\Delta\beta}{2}\right)z\right)$$

mit $\vec{E}_1 = \vec{E}_2 = 1$ gilt

$$\begin{aligned} E_{12}(z,t) &= \left[\exp\left(j\left(\frac{\Delta\omega}{2}t - \frac{\Delta\beta}{2}z\right)\right) + \exp\left(j\left(\frac{\Delta\omega}{2}t - \frac{\Delta\beta}{2}z\right)\right) \right] \exp\left(j(\omega_0 t - \beta_0 z)\right) \\ &= 2 \cdot \cos\left(\frac{1}{2}(\Delta\omega t - \Delta\beta z)\right) \exp\left(j(\omega_0 t - \beta_0 z)\right) \end{aligned}$$

Dabei wird

$$\begin{aligned} A_{12}(z,t) &= 2 \cos\left(\frac{1}{2}(\Delta\omega t - \Delta\beta z)\right) \\ &= 2 \cos\left(\frac{1}{2}\Delta\omega\left(t - \frac{z}{v_{gr}}\right)\right) \end{aligned}$$

als Einhüllende bezeichnet

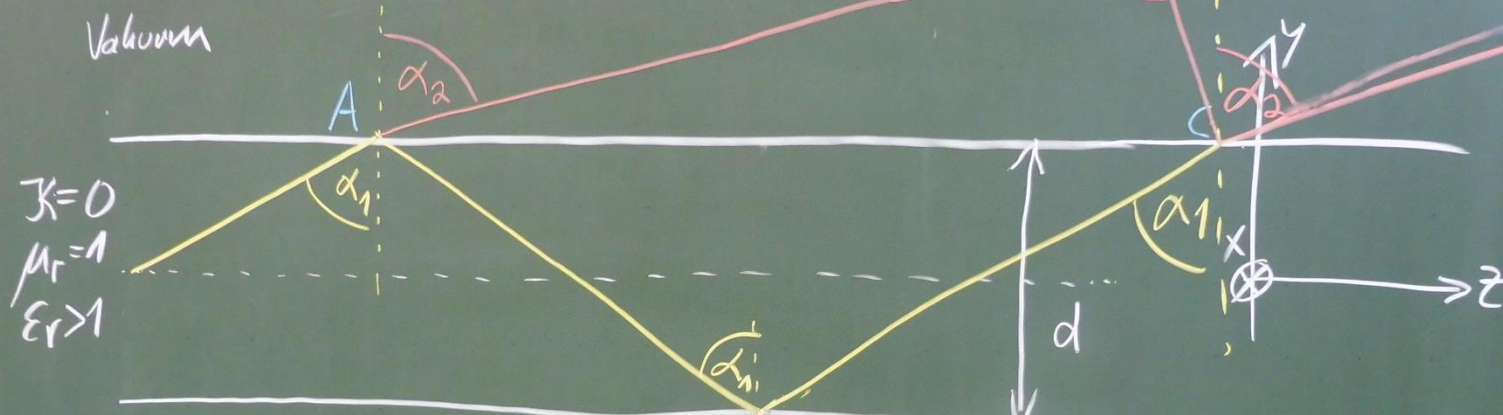
für $E_0=1$ gilt

$$A_{12}(z,t) = E_{12}(z,t) \cdot E_0^*(z,t)$$

Veranschaulichung
in Matlab-Beispiel

Die dielektrische Platte

Dielektrische Platte



$$\begin{aligned} k &= 0 \\ \mu_r &= 1 \\ \epsilon_r &> 1 \end{aligned}$$

Vakuum

$$\overline{AB} = \frac{d}{\cos \alpha_1} = \overline{BC}$$

$$\overline{AC} = 2d \tan \alpha_1$$

$$\begin{aligned} \text{und } \overline{AD} &= \overline{AC} \cdot \sin \alpha_2 = 2d \tan \alpha_1 \sin \alpha_2 \\ &= 2n_1 d \frac{\sin^2 \alpha_1}{\cos \alpha_1} \end{aligned}$$

Die dielektrische Platte

$$\text{im Vakuum: } k_0 = \frac{\omega}{c_0} \quad c_0 = \frac{1}{\sqrt{\mu_0 \epsilon_0}} \quad k_0 = \frac{2\pi}{\lambda_0}$$

$$\text{im Dielektrikum: } k_1 = \frac{\omega \cdot \sqrt{\mu_r \epsilon_r}}{c_0} = \frac{\omega}{c_0} \cdot \sqrt{\epsilon_r} = \frac{\omega}{c_0} \cdot n_1 = k_0 \cdot n_1$$

$$\text{Brechzahl: } n_1 = \sqrt{\epsilon_r}$$

$$\text{Brechungsgesetz} \quad \sin \alpha_2 = n_1 \sin \alpha_1$$

Fresnelsche Beziehungen

$$t_s = \frac{A - B}{A + B} \quad \text{und} \quad t_s' = \frac{2A}{A + B}$$

Die dielektrische Platte

Damit sich ein konstantes Wellenbild
in z-Richtung ergibt müssen die
Phasen bei A, C und D bis auf ein
Vielfaches von 2π identisch sein!

$$\varphi_r = \arg(I)$$
$$\varphi_t = \arg(t) \quad m : \text{ganzzahlig}$$

$$\varphi_t + k_0 \overline{AD} = \varphi_r + k_1 \overline{AB} + \varphi_r + k_1 \overline{BC} + \varphi_t + m 2\pi$$

$$\Leftrightarrow 2\varphi_r = k_0 \overline{AD} - 2k_1 \overline{AB} - m 2\pi$$

$$\Rightarrow \varphi_r = \frac{k_0}{2} 2dn_1 \frac{\sin^2 \alpha_1}{\cos \alpha_1} - n_1 k_0 \frac{d}{\cos \alpha_1} - m 2\pi$$

Der Faktor 2 ist hier zu viel vorhanden!

Die dielektrische Platte

Fall A: keine Totalreflexion

$$\alpha_1 < \alpha_{1G} = \arcsin\left(\frac{1}{n_1}\right)$$

$$\Rightarrow \sin \alpha_2 = n_1 \sin \alpha_1 < 1$$

$$\cos \alpha_2 = \sqrt{1 - \sin^2 \alpha_2} \text{ ist reell}$$

Damit ist $\Psi_r = 0$!

und die Bedingung

$$\frac{n_1 k_0 \cdot d}{\cos \alpha_1} \left(\underbrace{\sin^2 \alpha_1 - 1}_{-\cos \alpha_1} \right) = m \frac{\lambda}{2} \pi$$

$$\Rightarrow n_1 k_0 d \cos \alpha_1 = m \frac{\lambda}{2} \pi$$

\Rightarrow innerhalb der Platte \Rightarrow exponentielle Dämpfung

Fall A: exponentielle Dämpfung der Welle, da bei jedem Auftreffen auf die Grenzfläche ein Teil transmittiert wird (nach außen „leckt“)

Fall B: Welle wird vollständig geführt und breitet sich im Idealfall verlustfrei aus (im Realfall ist auch das Wellenleitermaterial selbst verlustbehaftet, z.B. kommt es zur teilweisen Absorption der Welle)

Fall B: mit Totalreflexion

$$\alpha_1 \geq \alpha_{1G}$$

$$\Rightarrow \sin \alpha_2 = n_1 \sin \alpha_1 \geq 1$$

$$\Rightarrow \cos \alpha_2 = \sqrt{1 - \sin^2 \alpha_2} \text{ ist Null oder imaginär}$$

Für die Reflexion ergibt sich

$$\Psi_r = -2 \arctan \left(\frac{\sqrt{n_1^2 \sin^2 \alpha_1 - 1}}{n_1 \cos \alpha_1} \right)$$

(ohne Konjektur)

Für die konstante Wellenfrequenz muss gelten

$$\arctan \left(\frac{\sqrt{n_1^2 \sin^2 \alpha_1 - 1}}{n_1 \cos \alpha_1} \right) = \frac{d n_1 k_0}{2} \cos \alpha_1 - m \frac{\pi}{2}$$

$$\sqrt{n_1^2 \sin^2 \alpha_1 - 1} = n_1 \cos \alpha_1 \tan \left(\frac{d n_1 k_0}{2} - m \frac{\pi}{2} \right)$$

Eigenwertgleichung

ist nur für diskrete Winkel α_1 erfüllt!

Hier wurde der Term $\cos(\alpha_1)$ in der Klammer vergessen!

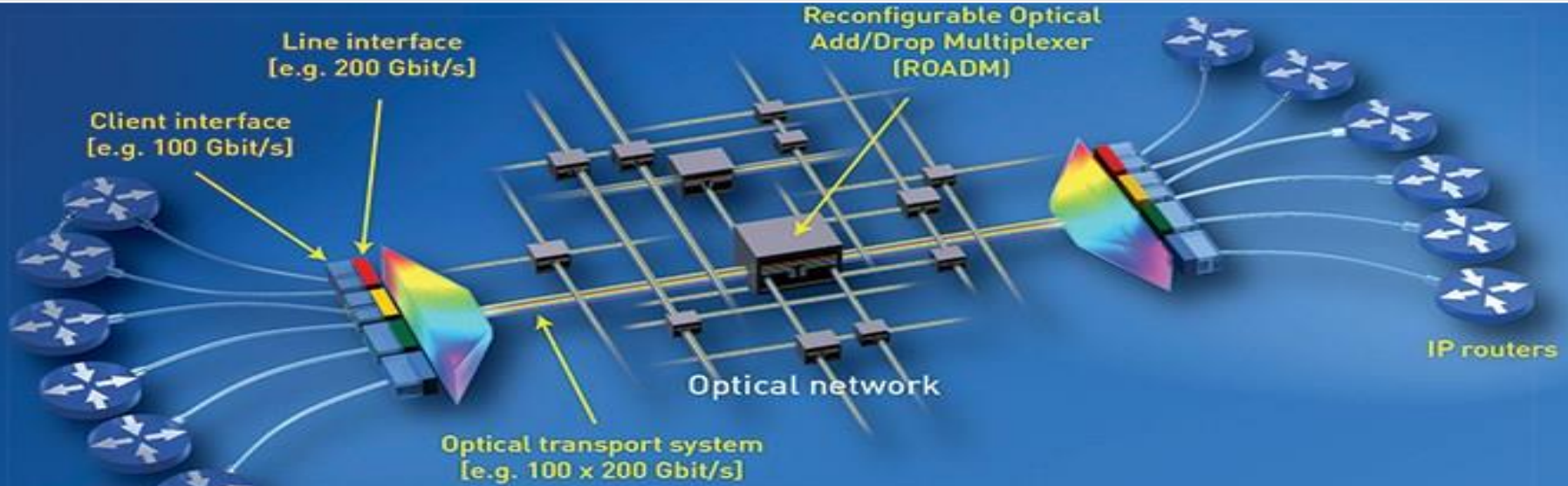
Elektromagnetische Wellen (EMW)

Vorlesung 10

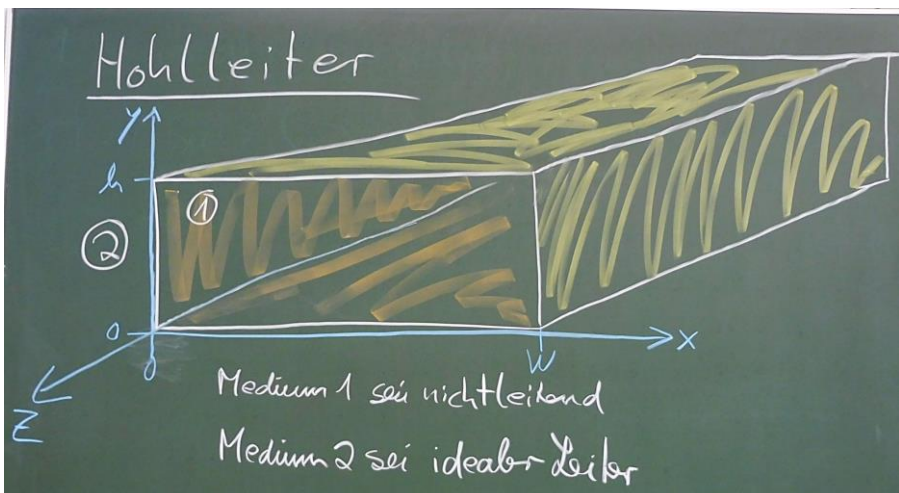
WS 2019/2020

Hohlleiter

Institute of Photonics and Quantum Electronics (IPQ), Department of Electrical Engineering and Information Technology (ETIT)



Hohlleiter im Überblick



Analog zu den senkrechten bzw. parallelen
Polarisationen in der Parallelleitung
unterscheiden wir:

1) E-Wellen: Nur die elektr. Feldstärke
hat eine Komponente
in z-Richtung.
Die magn. Feldstärke hat
nur Komponenten transversal
zur Ausbreitungsrichtung
→ Sie werden auch
transversal magnetische (TM) Wellen
genannt

- 2) H-Wellen: Nur die magn. Feldstärke
hat eine z-Komponente
Die el. Feldstärke ist rein
transversal.
→ transversal elektrische (TE) Welle
- 3) keine z-Komponente
→ transversal elektro-magnetische (TEM) Welle

Ausbreitung von E-Wellen im Hohlleiter

- Wir können ein Vektorpotential annehmen

$$\vec{A}^E = \begin{pmatrix} 0 \\ 0 \\ A^E \end{pmatrix} = A^E \cdot \vec{e}_z$$

- Im folgenden seien alle Feldgrößen zeithorizontale komplexe Amplituden ($e^{j\omega t}$ ist weggelassen)
 \Rightarrow zur Vereinfachung wird der Unterstrich weggelassen!

Ausbreitung von E-Wellen im Hohlleiter

- Für die magn. Feldstärke

$$\vec{H}^E = \nabla \times \vec{A}^E = \begin{pmatrix} \partial / \partial x \\ \partial / \partial y \\ \partial / \partial z \end{pmatrix} \times \begin{pmatrix} 0 \\ 0 \\ A^E \end{pmatrix} = \underbrace{\frac{\partial A^E}{\partial y}}_{= H_x^E} \vec{e}_x - \underbrace{\frac{\partial A^E}{\partial x}}_{= H_y^E} \vec{e}_y$$

- Die elektrische Feldstärke folgt aus dem Durchflutungsgesetz

$$j\omega \epsilon \vec{E}^E = \nabla \times \vec{H}^E = - \frac{\partial H_y^E}{\partial z} \vec{e}_x + \frac{\partial H_x^E}{\partial z} \vec{e}_y + \left(\frac{\partial H_y^E}{\partial x} - \frac{\partial H_x^E}{\partial y} \right) \vec{e}_z$$
$$= \frac{\partial^2 A^E}{\partial x \partial z} \vec{e}_x + \frac{\partial^2 A^E}{\partial y \partial z} \vec{e}_y - \left(\frac{\partial^2 A^E}{\partial x^2} + \frac{\partial^2 A^E}{\partial y^2} \right) \vec{e}_z$$

Ausbreitung von E-Wellen im Hohlleiter

Das Vektorpotential muss die Wellengleichung erfüllen (hier: Helmholtzgleichung)

$$\Delta A^E + k^2 A^E = 0$$

mit $\Delta = \frac{\partial^2}{\partial x^2} + \frac{\partial^2}{\partial y^2} + \frac{\partial^2}{\partial z^2} = \nabla^2$

Für in z -Richtung geführte Wellen können wir den Ansatz wählen

$$A^E(x, y, z) = A_t^E(x, y) e^{-jk_z z}$$

für
 k_z : reell \Rightarrow ungedämpfte Welle
 k_z : imaginär \Rightarrow gedämpfte Welle

Ausbreitung von E-Wellen im Hohlleiter

eingesetzt in die Wellengleichung

$$\left(\frac{\partial^2}{\partial x^2} + \frac{\partial^2}{\partial y^2} \right) A_t^E e^{-jk_z z} - A_t^E \cdot k_z^2 e^{-jk_z z} + k^2 A_t^E \cdot e^{jk_z z} = 0$$
$$\Delta_t \quad \Rightarrow \boxed{\Delta_t A_t^E + K^2 A_t^E = 0}$$

wobei $K^2 = k^2 - k_z^2$

Für die elektrische Feldstärke erhalten wir

$$j\omega \epsilon \vec{E}^E = \nabla \times \vec{H}^E = -jk_z \frac{\partial A_E}{\partial x} \vec{e}_x - jk_z \frac{\partial A_E}{\partial y} \vec{e}_y \quad \Delta_t A_t^E \vec{e}_z$$

mit der Wellengleichung für A_t^E :

$$j\omega \epsilon \vec{E}^E = -jk_z \left(\frac{\partial A_t^E}{\partial x} \vec{e}_x + \frac{\partial A_t^E}{\partial y} \vec{e}_y \right) e^{-jk_z z} + \underbrace{k^2 A_t^E e^{-jk_z z}}_{E_z^E \sim A_t^E} = 0$$

Produktansatz von Bernoulli (Separation der Variablen)

Um eine Lösung für $A_t^E(x,y) \neq 0$ zu finden
lösen wir die Wellengleichung mit dem
Produktansatz von Bernoulli

$$A_t^E(x,y) = X(x) \cdot Y(y)$$

Eingesetzt erhalten wir

$$\Delta_t A_t^E + K^2 A_t^E = \frac{\partial^2 X(x)}{\partial x^2} \cdot Y(y) + X(x) \cdot \frac{\partial^2 Y(y)}{\partial y^2} + K^2 X(x) Y(y) = 0$$

Produktansatz von Bernoulli (Separation der Variablen)

beide Seiten durch $X \cdot Y$ teilen

$$\frac{1}{X} \frac{\partial^2 X}{\partial x^2} + \frac{1}{Y} \frac{\partial^2 Y}{\partial y^2} + K^2 = 0$$

Diese Gleichung lässt sich separieren in

$$\frac{1}{X} \frac{\partial^2 X}{\partial x^2} + k_x^2 = 0$$

$$\text{mit } K^2 = k_x^2 + k_y^2$$

$$\frac{1}{Y} \frac{\partial^2 Y}{\partial y^2} + k_y^2 = 0$$

$$= k_z^2$$

$$\Rightarrow k^2 = k_x^2 + k_y^2 + k_z^2$$

Produktansatz von Bernoulli (Separation der Variablen)

die Gleichungen ergeben

$$\frac{\partial^2 X}{\partial x^2} + k_x^2 X = 0 \quad \text{und} \quad \frac{\partial^2 Y}{\partial y^2} + k_y^2 Y = 0$$

mit den Lösungen

$$X(x) = \begin{cases} a \cos(k_x x) + b \sin(k_x x) & \nmid k_x \neq 0 \\ a_0 + b_0 x & \nmid k_x = 0 \end{cases}$$

$$Y(y) = \begin{cases} c \cos(k_y y) + d \sin(k_y y) & \nmid k_y \neq 0 \\ c_0 + d_0 y & \nmid k_y = 0 \end{cases}$$

Produktansatz von Bernoulli (Separation der Variablen)

Randbedingungen

tangentielle Komponenten des E-Feldes müssen
an der Grenzfläche zum idealen Leiter
verschwinden!

- Im Hohlleiter ist die E_z Komponente
tangential auf alle Grenzflächen
- Wir haben $E_z^E \sim A_t^E$ daraus folgt

$$A_t^E = 0 \quad \text{für } x=0, w \text{ und } y=0, h$$

Produktansatz von Bernoulli (Separation der Variablen)

$$\text{da } X(x=0) = X(x=w) = 0$$

folgt

$$a_0 = b_0 = a = 0$$

$$b = b_m$$

$$\text{Und wir erhalten } k_x w = m\pi \quad m=1,2,3, \dots$$

$$\Rightarrow k_x = \frac{m\pi}{w}$$

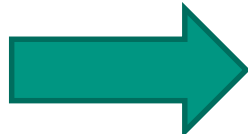
analog erhalten wir für $Y(y)$

$$\text{mit } Y(y=0) = Y(y=h) = 0$$

$$\Rightarrow c_0 = d_0 = c = 0 \quad d = d_n$$

$$k_y h = n\pi \quad \text{mit } n=1,2,3, \dots$$

$$k_y = \frac{n\pi}{h}$$



für das transversale Vektorpotential

$$A_t^E(x, y) = a_m b_m \sin\left(\frac{m\pi}{w}x\right) \sin\left(\frac{n\pi}{h}y\right)$$

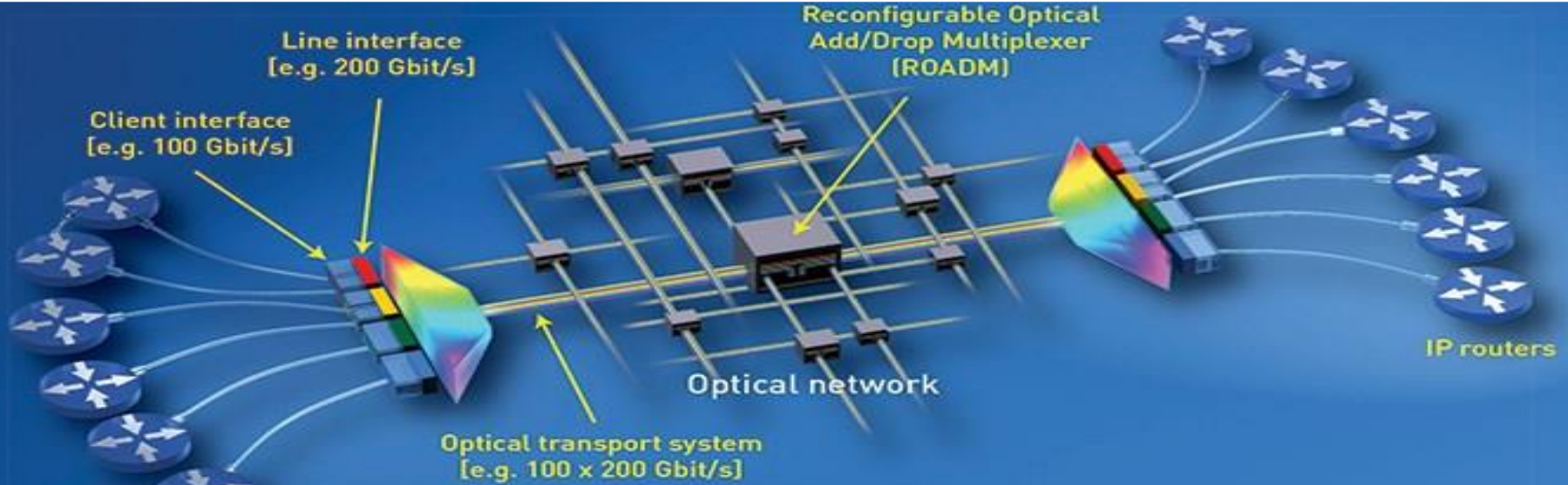
Elektromagnetische Wellen (EMW)

Vorlesung 11

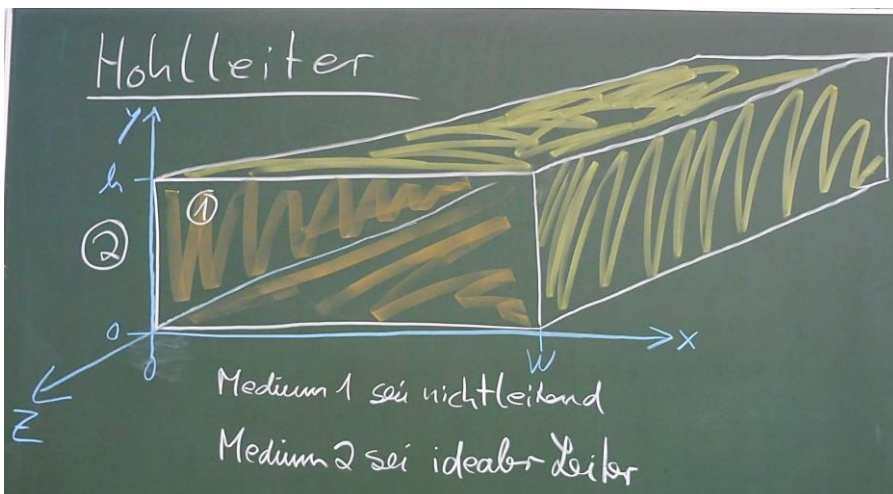
WS 2019/2020

Hohlleiter

Institute of Photonics and Quantum Electronics (IPQ), Department of Electrical Engineering and Information Technology (ETIT)



Hohlleiter im Überblick



- Wellenausbreitung beschrieben durch die Maxwell'schen Gleichungen
- Für die Feldkomponenten \vec{E} und \vec{H} kann gezeigt werden, dass nur zwei Feldkomponenten unabhängig sind.
- Es können z.B. die Feldkomponenten E_z und H_z als gegeben angenommen werden.

* Die transversalen Feldkomponenten E_x, E_y, H_x, H_y können daran abgeleitet werden.

Wellentypen im Hohlleiter

Wir können folgende Wellentypen unterscheiden

1) H-Wellen

- Nur das H-Feld hat z-Komponente
D.h. $E_z = 0$
 - Das E-Feld hat nur transversale Komponenten
- $\Rightarrow TE$ -Welle

2) E-Wellen

- Nur das E-Feld hat eine z-Komponente
 - Das H-Feld ist rein transversal
- $\Rightarrow TM$ -Welle

3) Sonderfall: TEM-Wellen

- Beide longitudinalen Komponenten verschwinden

4) Im allgemeinen Fall ergibt sich ein

$$\vec{H} = \vec{H}^E + \vec{H}^H \text{ und } \vec{E} = \vec{E}^E + \vec{E}^H$$

also eine Überlagerung von E- und H-Wellen

\Rightarrow Hybridwellen

Wellenausbreitung im Hohlleiter

Wellenausbreitung von H-Wellen und E-Wellen im Hohlleiter

E-Wellen

$$\vec{E}^E = \begin{pmatrix} E_x^E \\ E_y^E \\ E_z^E \end{pmatrix} \quad \text{und} \quad \underline{H}^E = \begin{pmatrix} H_x^E \\ H_y^E \\ H_z^E \end{pmatrix}$$

Vektorpotential $\vec{A}^E = \begin{pmatrix} 0 \\ 0 \\ A_E \end{pmatrix}$

$$\nabla \times \vec{A}^E = \underline{H}^E = \begin{pmatrix} \frac{\partial A^E}{\partial y} \\ -\frac{\partial A^E}{\partial x} \\ 0 \end{pmatrix}$$

H-Wellen

$$\vec{E}^H = \begin{pmatrix} E_x^H \\ E_y^H \\ 0 \end{pmatrix} \quad \text{und} \quad \underline{H}^H = \begin{pmatrix} H_x^H \\ H_y^H \\ H_z^H \end{pmatrix}$$

Vektorpotential $\vec{A}^H = \begin{pmatrix} 0 \\ 0 \\ A_H \end{pmatrix}$

$$\nabla \times \vec{A}^H = \underline{E}^H = \begin{pmatrix} \frac{\partial A^H}{\partial y} \\ -\frac{\partial A^H}{\partial x} \\ 0 \end{pmatrix}$$

Wellenausbreitung im Hohlleiter

aus den Maxwell'schen Gleichungen folgt
im Inneren des Hohlleiters

$$j\omega \epsilon \vec{E}^E = \nabla \times \vec{H}^E = \nabla \times (\nabla \times \underline{A}^E)$$

und

$$-j\omega \mu \vec{H}^H = \nabla \times \vec{E}^H = \nabla \times (\nabla \times \underline{A}^H)$$

D.h. Für E-Wellen können alle 5 Feldkomponenten aus \underline{A}^E abgeleitet werden

Für H-Wellen aus \underline{A}^H

Die skalaren Größen \underline{A}^E und \underline{A}^H müssen die Helmholtz-Gleichung erfüllen

$$\Delta \underline{A}^E + k^2 \underline{A}^E = 0 \quad \text{wobei } k^2 = \omega^2 / \mu \epsilon = \frac{\omega^2}{c^2}$$

$$\Delta \underline{A}^H + k^2 \underline{A}^H = 0$$

Für geführte Wellen gilt

$$\underline{A}^E(x, y, z) = \underline{A}^E(x, y) e^{\mp j k_z^E z}$$

$$\underline{A}^H(x, y, z) = \underline{A}^H(x, y) e^{\mp j k_z^H z}$$

eingesetzt in die Helmholtz-Gleichung ergibt sich

$$\text{aus } \left(\frac{\partial^2}{\partial x^2} + \frac{\partial^2}{\partial y^2} + \frac{\partial^2}{\partial z^2} \right) \underline{A}^E + k^2 \underline{A}^E = 0$$

$$\text{wird } \left(\frac{\partial^2}{\partial x^2} + \frac{\partial^2}{\partial y^2} \right) \underline{A}^E - k_z^{E2} \underline{A}^E + k^2 \underline{A}^E = 0$$

$$\text{bzw. } \Delta_t \underline{A}^E(x, y) + K^E \underline{A}^E(x, y) = 0 \text{ mit } K^E = k^2 - k_z^{E2}$$

$$\Delta_t \underline{A}^H(x, y) + K^H \underline{A}^H(x, y) = 0 \text{ mit } K^H = k^2 - k_z^{H2}$$

Produktansatz von Bernoulli (Separation der Variablen)

Mit dem Produktansatz von Bernoulli
(Separation der Variablen)

$$A^{E/H}(x,y) = X^{E/H}(x) \cdot Y^{E/H}(y)$$

Damit lädt sich die 2D-Helmholzgleichung schreiben ab,

$$\frac{\partial^2 X^{E/H}}{\partial x^2} + k_x^{E/H^2} X^{E/H} = 0 \Rightarrow k^{E/H^2} = k_x^{E/H^2} + k_y^{E/H^2}$$

$$\frac{\partial^2 Y^{E/H}}{\partial y^2} + k_y^{E/H^2} Y^{E/H} = 0 \Rightarrow k^{E/H^2} = k - k_z^{E/H^2};$$

Produktansatz von Bernoulli (Separation der Variablen)

Die Gleichungen werden gelöst durch

$$X^{E/H}(x) = \begin{cases} a^{E/H} \cos(k_x^{E/H} x) + b^{E/H} \sin(k_x^{E/H} x) & \nexists k_x \neq 0 \\ a_0^{E/H} + b_0^{E/H} \cdot x & \nexists k_x = 0 \end{cases}$$

$$Y^{E/H}(y) = \begin{cases} c^{E/H} \cos(k_y^{E/H} y) + d^{E/H} \sin(k_y^{E/H} y) & \nexists k_y \neq 0 \\ c_0^{E/H} + d_0^{E/H} y & \nexists k_y = 0 \end{cases}$$

Produktansatz von Bernoulli (Separation der Variablen)

Die Koeffizienten a, b, c, d bzw a_0, b_0, c_0, d_0 und k_x, k_y werden aus den Randbedingungen bestimmt

1) E-Wellen: an den Grenzflächen müssen die tangentiale E-Feld Komponenten verschwinden. D.h. an den Grenzflächen muss die E_z Komponente verschwinden!

Bei geführten Wellen gilt $E_z \sim A^E$

$$\text{d.h. } E_z(x, y) \sim A^E(x, y) = X^E(x) \cdot Y^E(y)$$

Produktansatz von Bernoulli (Separation der Variablen)

für $x=0$ und $x=w$ muss also gelten

$$X^E(x=0) = X^E(x=w) = 0$$
$$\Rightarrow a_0^E = b_0^E = 0 \quad \text{und} \quad a^E = 0$$
$$\text{und} \quad b = b_m \quad \text{mit} \quad k_{x,m}^E = m \frac{\pi}{w} \quad \text{mit} \quad m = 1, 2, 3, \dots$$

In Y-Richtung

$$Y^E(y=0) = Y^E(y=h) = 0$$

Für die Koeffizienten gilt

$$c^E = c_0^E = d_0^E = 0 \quad \text{und} \quad d^E = d_m^E \quad \text{und} \quad k_y^E = n \frac{\pi}{h}$$
$$\Rightarrow E_z^E(x,y) \sim A^E(x,y) = \sum_{m,n=1}^{\infty} A_{mn}^E \sin\left(m \frac{\pi}{w} x\right) \sin\left(n \frac{\pi}{h} y\right)$$

Wir sprechen von E_{mn} Moden

Ausbreitungskonstante und Cut-off-Frequenz

Für die Ausbreitungskonstante gilt

$$k_{mn}^{E^2} = k^2 - k_{zm,n}^{E^2} = k_{x_{mn,n}}^{E^2} + k_{y_{mn,n}}^{E^2}$$

für die z-Richtung gilt

$$k_{zm,n} = \sqrt{k^2 - (k_{x_{mn,n}}^2 + k_{y_{mn,n}}^2)}$$

wann wird $k_{zm,n}$ rein reell? oder: Wann ist die Ausbreitung verlustlos?

$$\text{für } k > k_{gm,n}^{E^2} = \sqrt{k_{x_{mn,n}}^{E^2} + k_{y_{mn,n}}^{E^2}} = \frac{\omega_{gm,n}}{c}$$

Ausbreitungskonstante und Cut-off-Frequenz

wird $k_{z_{m,n}}$ positiv und die Ausbreitung verlustlos.

Damit ergibt sich eine untere Grenzfrequenz

$$\omega_{g_{m,n}}^E = \sqrt{k_{x_{m,n}}^2 + k_{y_{m,n}}^2} = \sqrt{\left(m \frac{\pi}{w}\right)^2 + \left(n \frac{\pi}{h}\right)^2}$$

Die Hohlleiterwellenlänge ist

$$\lambda_{m,n} = \frac{2\pi c}{\omega_{g_{m,n}}} = \frac{2\pi}{\sqrt{k_{x_{m,n}}^2 + k_{y_{m,n}}^2}} = \frac{2\pi}{\sqrt{k^2 - k_{z_{m,n}}^2}}$$

$$= \frac{2\pi}{k} \cdot \frac{1}{\sqrt{1 - \frac{k_{z_{m,n}}^2}{k^2}}} = \frac{\lambda}{\sqrt{1 - \frac{k_{z_{m,n}}^2}{k^2}}} \leq 1$$

$$\Rightarrow \lambda_{m,n} > \lambda$$

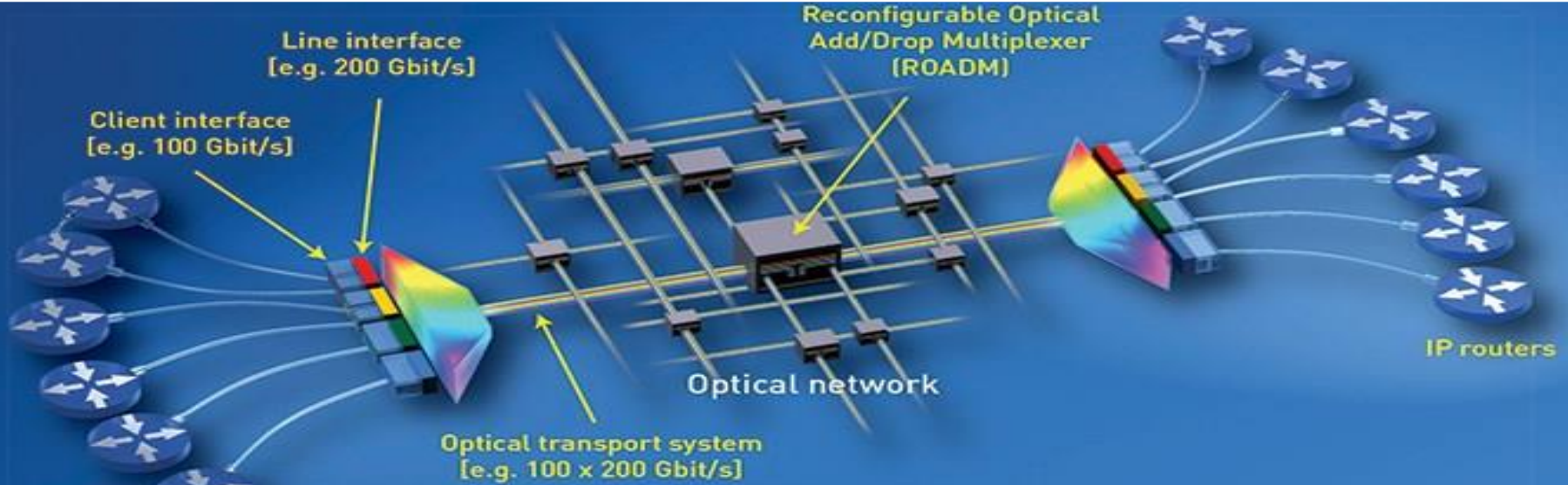
Elektromagnetische Wellen (EMW)

Vorlesung 12

WS 2019/2020

Zylindrische Wellenleiter

Institute of Photonics and Quantum Electronics (IPQ), Department of Electrical Engineering and Information Technology (ETIT)



Wellenleiter und Vektorpotential

Wellenleiter

- Ausbreitung in z -Richtung
- Querschnitt ändert sich in z -Richtung nicht
- In diesem Fall existieren nur 2 unabhängige Feldkomponenten
- In den meisten Fällen ist es sinnvoll E-Wellen und H-Wellen zu unterscheiden

• Es können Vektorpotentiale definiert werden

$$\vec{H}^E = \nabla \times \vec{A}^E$$

mit

$$\vec{A}^E = \begin{pmatrix} 0 \\ 0 \\ A_T^E e^{-jk_z z} \end{pmatrix}$$

$$\vec{E}^H = \nabla \times \vec{A}^H$$

$$\vec{A}^H = \begin{pmatrix} 0 \\ 0 \\ A_T^H e^{-jk_z z} \end{pmatrix}$$

Mit den Maxwellischen Gleichungen

$$\nabla \times \vec{H}^E = j\omega \xi \underbrace{\left(1 - j\frac{\chi}{\omega \xi}\right)}_{= \epsilon} \vec{E}^E = j\omega \xi \vec{E}^E$$

a. h. k_z null, breite sich die Welle ungehindert aus!

$$\nabla \times \vec{E}^H = -j\omega \mu \vec{H}^H$$

$$\Rightarrow \nabla \times \vec{E}^E = -j\omega \mu \vec{H}^E = -j\omega \mu (\nabla \times \vec{A}^E)$$

$$\nabla \times \vec{H}^H = j\omega \xi \vec{E}^H = j\omega \xi (\nabla \times \vec{A}^H)$$

Wellenleiter und Vektorpotential

Diese Gleichungen ergeben

$$\vec{E}^E = -j\omega\mu \vec{A}^E + \nabla\phi^E$$

$$\vec{H}^H = j\omega\varepsilon \vec{A}^H + \nabla\phi^H$$

Shalarpotentiale merke

$$\nabla \times (\nabla\phi) \equiv 0$$

da das Medium quellenfrei ist
d.h. $S=0$

Lorenz Eichung

$$j\omega\varepsilon \phi^E = \nabla \cdot \vec{A}^E$$

$$-j\omega\mu \phi^H = \nabla \cdot \vec{A}^H$$

Ferner gilt

$$\nabla \times \vec{H}^E = \nabla \times (\nabla \times \vec{A}^E) = \nabla(\nabla \cdot \vec{A}^E) - \Delta \vec{A}^E = j\omega\varepsilon \vec{E}^E = \omega^2\mu\varepsilon \vec{A}^E + j\omega\varepsilon \nabla\phi^E$$

$$\nabla \times \vec{E}^H = \nabla \times (\nabla \times \vec{A}^H) = \nabla(\nabla \cdot \vec{A}^H) - \Delta \vec{A}^H = -j\omega\mu \vec{H}^H = \omega^2\mu\varepsilon \vec{A}^H - j\omega\mu \nabla\phi^H$$

mit der Lorenz Eichung erhalten wir

$$\Delta \vec{A}^E + k^2 \vec{A}^E = 0 \quad \text{mit } k^2 = \omega^2\mu\varepsilon \quad \text{Wellengleichungen}$$

$$\Delta \vec{A}^H + k^2 \vec{A}^H = 0$$

und es gilt

$$j\omega\varepsilon \vec{E}^E = k^2 \vec{A}^E + \nabla(\nabla \cdot \vec{A}^E)$$

$$-j\omega\mu \vec{H}^H = k^2 \vec{A}^H + \nabla(\nabla \cdot \vec{A}^H) \quad \Leftrightarrow$$

Wellenleiter und Vektorpotential

mit $\vec{A}^E = A_T^E e^{-jk_z z} \vec{e}_z$ und A_T^E
 $\vec{A}^H = A_T^E e^{-jk_z z} \vec{e}_z$ hängen nur von transversalen Koordinaten ab.

Eingesetzt in die Wellengleichungen

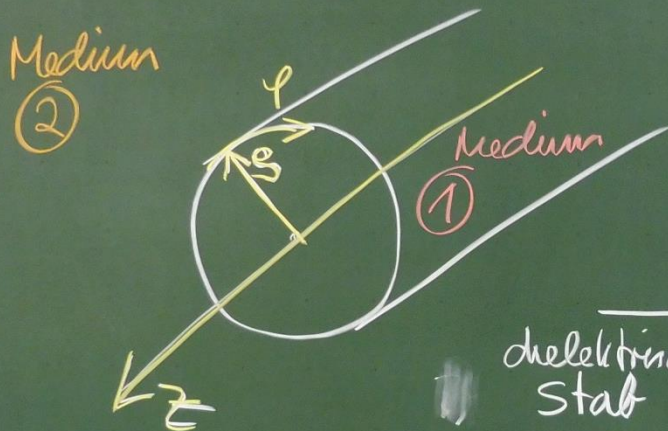
$$\Delta T A_T^E e^{-jk_z z} \vec{e}_z + k^2 A_T^E e^{-jk_z z} \vec{e}_z = 0$$
$$\Leftrightarrow [\Delta_T A_T^E \vec{e}_z - k_z^2 A_T^E \vec{e}_z + k^2 A_T^E \vec{e}_z] e^{-jk_z z} = 0$$
$$\Leftrightarrow \Delta_T A_T^E + (k^2 - k_z^2) A_T^E = 0 \quad (2D\text{-Helmholtzgleichung})$$

entsprechend gilt

$$\Delta_T A_T^H + (k^2 - k_z^2) A_T^H = 0 \quad (2D\text{-Helmholtzgleichung})$$

Das zylindrische Zweischichtproblem

Das zylindrische Zweischichtproblem



in Zylinderkoordinaten

$$\nabla = \left(\frac{\partial / \partial s}{s}, \frac{1}{s} \frac{\partial / \partial \varphi}{\partial \varphi}, \frac{\partial / \partial z}{\partial z} \right)$$

$$\Delta = \nabla^2 = \frac{\partial^2}{\partial s^2} + \frac{1}{s} \frac{\partial}{\partial s} + \frac{1}{s^2} \frac{\partial^2}{\partial \varphi^2} + \frac{\partial^2}{\partial z^2}$$

| | Medium ① | Medium ② |
|----------------------------------|----------------------------------|---|
| dielektrischer Stab | $K_1=0, \mu_1=\mu_0, \epsilon_1$ | $K_2=0, \mu_2=\mu_0, \epsilon_2$ |
| ideal leitender Rundhollowleiter | $K_1=0, \mu_1=0, \epsilon_1$ | $K_2=\infty$ |
| Sommerfeld draht | $K_1=\infty$ | $K_2=0, \mu_2=\mu_0, \epsilon_2=\epsilon_0$ |

Das zylindrische Zweischichtproblem

$$\vec{H}^E = \nabla \times \vec{A}^E = \left[\frac{1}{S} \frac{\partial A_T^E}{\partial \varphi} \vec{e}_S - \frac{\partial A_T^E}{\partial S} \vec{e}_\varphi \right] e^{-jk_z z}$$

$$\vec{E}^H = \nabla \times \vec{A}^H = \left[\frac{1}{S} \frac{\partial A_T^H}{\partial \varphi} \vec{e}_S - \frac{\partial A_T^H}{\partial S} \vec{e}_\varphi \right] e^{-jk_z z}$$

$$\vec{E}^E = \frac{1}{j\omega \epsilon} \left[k^2 A_T^E \vec{e}_z - jk_z \left(\frac{\partial A_T^E}{\partial S} + \frac{1}{S} \frac{\partial A_T^E}{\partial \varphi} \right) - k_z^2 A_T^E \right] e^{-jk_z z}$$

$$\vec{H}^H = \frac{1}{-j\omega \mu} \left[k^2 A_T^H \vec{e}_z - jk_z \left(\frac{\partial A_T^H}{\partial S} + \frac{1}{S} \frac{\partial A_T^H}{\partial \varphi} \right) - k_z^2 A_T^H \right] e^{-jk_z z}$$

$$\nabla (\nabla \cdot A_T e^{-jk_z z} \vec{e}_z) = \nabla (-jk_z A_T e^{-jk_z z}) = \left[\frac{\partial A_T}{\partial S} + \frac{1}{S} \frac{\partial A_T}{\partial \varphi} \right] jk_z A_T e^{-jk_z z} \times \vec{e}^{jk_z z}$$

Das zylindrische Zweischichtproblem

$$H_S^E = \frac{1}{S} \frac{\partial A_T^E}{\partial \varphi} e^{-jk_z z}$$

$$H_\varphi^E = -\frac{\partial A_T^E}{\partial S} e^{-jk_z z}$$

$$H_z^E = 0$$

$$E_S^H = \frac{1}{S} \frac{\partial A_T^H}{\partial \varphi} e^{-jk_z z}$$

$$E_\varphi^H = -\frac{\partial A_T^H}{\partial S} e^{-jk_z z}$$

$$E_z^H = 0$$

$$E_S^E = \frac{-jk_z}{j\omega \varepsilon} \frac{\partial A_T^E}{\partial S} e^{-jk_z z}$$

$$E_\varphi^E = \frac{-jk_z}{j\omega \varepsilon} \frac{1}{S} \frac{\partial A_T^E}{\partial \varphi} e^{-jk_z z}$$

$$E_z^E = \frac{(k^2 - k_z^2)}{j\omega \varepsilon} A_T^E e^{-jk_z z}$$

$$H_S^H = \frac{-jk_z}{j\omega \mu} \frac{\partial A_T^H}{\partial S} e^{-jk_z z}$$

$$H_\varphi^H = \frac{-jk_z}{j\omega \mu} \frac{1}{S} \frac{\partial A_T^H}{\partial \varphi} e^{-jk_z z}$$

$$H_z^H = \frac{(k^2 - k_z^2)}{j\omega \mu} A_T^H e^{-jk_z z}$$

Das zylindrische Zweischichtproblem

Es müssen die 2D Helmholtzgleichungen erfüllt sein

$$\Delta_T A_T^E + k^2 A_T^E = 0$$

in Zylinderkoordinaten erhalten wir

$$\frac{\partial^2 A_T^E}{\partial s^2} + \frac{1}{s} \frac{\partial A_T^E}{\partial s} + \frac{1}{s^2} \frac{\partial^2 A_T^E}{\partial \varphi^2} + k^2 A_T^E = 0$$

mit dem Separationsansatz $A_T^E = R^E(s) \cdot \Phi^E(\varphi)$

$$\frac{\Phi^E}{s^2} \frac{\partial^2 R^E}{\partial s^2} + \frac{1}{s} \frac{\Phi^E}{s} \frac{\partial R^E}{\partial s} + \frac{1}{s^2} R^E \frac{\partial^2 \Phi^E}{\partial \varphi^2} + k^2 R^E \Phi^E = 0 \quad | \cdot \frac{s^2}{R^E \Phi^E}$$
$$\frac{s^2}{R^E} \frac{\partial^2 R^E}{\partial s^2} + \frac{s}{R^E} \frac{\partial R^E}{\partial s} + \frac{1}{\Phi^E} \frac{\partial^2 \Phi^E}{\partial \varphi^2} + k^2 s^2 = 0$$

Das zylindrische Zweischichtproblem

diese Gleichung ergibt

$$\frac{\partial^2 \phi^E}{\partial r^2} + m^2 \phi^E = 0$$

gewöhnliche DGL 2. Ordnung

$$S^2 \frac{\partial^2 R^E}{\partial S^2} + S \frac{\partial R^E}{\partial S} + (k^2 S^2 - m^2) R^E = 0$$

A) für reelle k bzw. $k^2 \geq 0$ ist dies die Besselsche DGL \Rightarrow Besselfunktionen 1. und 2. Art

B) für rein imaginäre k bzw. $k^2 \leq 0$ ist dies mit

$$k' = -jk = \text{Im}(k)$$

erhalten wir

$$S^2 \frac{\partial^2 R^E}{\partial S^2} + S \frac{\partial R^E}{\partial S} - (k'^2 S^2 + m^2) R^E = 0$$

\Rightarrow modifizierte Besselsche DGL

\Rightarrow mod. Besselfunktionen 1. und 2. Art

$$\phi^E = \begin{cases} A_m \cos(m\varphi) + B_m \sin(m\varphi) & \text{if } m \neq 0 \\ A_0 \varphi + B_0 & \text{if } m = 0 \end{cases}$$

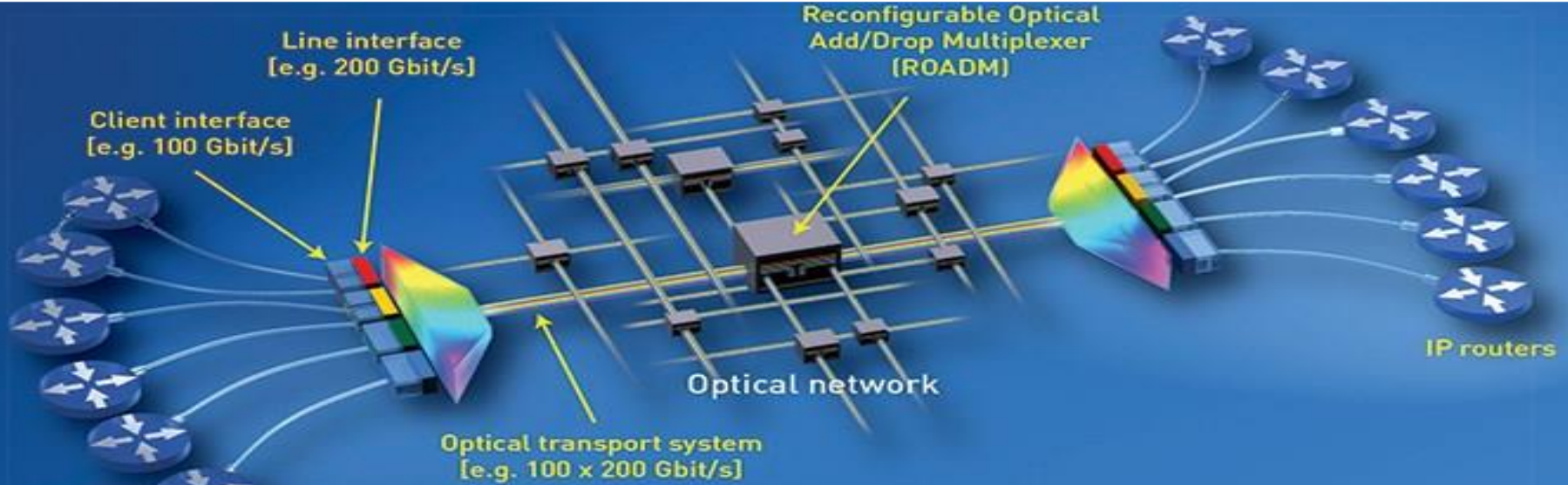
Elektromagnetische Wellen (EMW)

Vorlesung 13

WS 2019/2020

Hertzscher Dipol

Institute of Photonics and Quantum Electronics (IPQ), Department of Electrical Engineering and Information Technology (ETIT)



Kugelkoordinaten

$$\nabla = \frac{\partial}{\partial r} \vec{e}_r + \frac{1}{r} \frac{\partial}{\partial \vartheta} \vec{e}_\vartheta + \frac{1}{r \sin \vartheta} \frac{\partial}{\partial \varphi} \vec{e}_\varphi$$

$$\begin{aligned}\nabla \times \vec{A} &= \left[\frac{1}{r} \frac{\partial A_\varphi}{\partial \vartheta} - \frac{1}{r \sin \vartheta} \frac{\partial A_\vartheta}{\partial \varphi} \right] \vec{e}_r \\ &+ \left[\frac{1}{r \sin \vartheta} \frac{\partial A_r}{\partial \varphi} - \frac{\partial A_\varphi}{\partial r} \right] \vec{e}_\vartheta \\ &+ \left[\frac{\partial A_\vartheta}{\partial r} - \frac{1}{r} \frac{\partial A_r}{\partial \vartheta} \right] \vec{e}_\varphi\end{aligned}$$

$$\begin{aligned}\Delta \phi &= \frac{1}{r^2} \frac{\partial}{\partial r} \left(r^2 \frac{\partial \phi}{\partial r} \right) + \frac{1}{r^2} \frac{1}{\sin \vartheta} \frac{\partial}{\partial \vartheta} \left(\sin \vartheta \frac{\partial \phi}{\partial \vartheta} \right) \\ &+ \frac{1}{r^2} \frac{1}{\sin^2 \vartheta} \frac{\partial^2 \phi}{\partial \varphi^2}\end{aligned}$$

Kugelwellen

$$\begin{array}{ll}\vec{A}^E = A_r^E \vec{e}_r & \vec{A}^H = A_r^H \vec{e}_r \\ \vec{H}^E = \nabla \times \vec{A}^E & \vec{E}^H = \nabla \times \vec{A}^H \\ j\omega \epsilon_0 \vec{E}^E = \nabla \times \vec{H}^E & -j\omega \mu_0 \vec{H}^H = \nabla \times \vec{E}^H\end{array}$$

Korrektur:

Die angegebene Formel der Rotation in Kugelkoordinaten ist fehlerhaft. Richtig ist die folgende Formel, vgl. auch EMF-Formelsammlung.

$$\begin{aligned}\text{rot}(\vec{A}) &= \nabla \times \vec{A} \\ &= \vec{e}_r \left[\frac{1}{r \sin(\vartheta)} \left(\frac{\partial (A_\varphi \sin(\vartheta))}{\partial \vartheta} - \frac{\partial A_\vartheta}{\partial \varphi} \right) \right] \\ &+ \vec{e}_\vartheta \left[\frac{1}{r} \left(\frac{1}{\sin(\vartheta)} \frac{\partial A_r}{\partial \varphi} - \frac{\partial (r A_\varphi)}{\partial r} \right) \right] \\ &+ \vec{e}_\varphi \left[\frac{1}{r} \left(\frac{\partial (r A_\vartheta)}{\partial r} - \frac{\partial A_r}{\partial \vartheta} \right) \right]\end{aligned}$$

E-Wellen in Kugelkoordinaten

dann erhalten wir für E-Wellen

$$\vec{H}^E = \frac{1}{r \sin\vartheta} \frac{\partial A_r}{\partial \varphi} \vec{e}_\theta - \frac{1}{r} \frac{\partial A_\theta}{\partial r} \vec{e}_\varphi$$

$$j\omega\epsilon_0\vec{E}^E = \left[\frac{1}{r} \frac{\partial H_\varphi^E}{\partial r} - \frac{1}{r \sin\vartheta} \frac{\partial H_\theta^E}{\partial \varphi} \right] \vec{e}_r - \frac{\partial H_\theta^E}{\partial r} \vec{e}_\theta + \frac{\partial H_r^E}{\partial \varphi} \vec{e}_\varphi$$

analog für H-Wellen!

Korrektur:
Daraus ergeben sich auch in den Gleichungen für \vec{H}^E und $j\omega\epsilon_0\vec{E}^E$ zusätzliche Terme, die hier fehlen. Für die weiteren Folien ist dies jedoch nicht relevant, da auf Folie 4 bereits das korrekte Ergebnis der Herleitung gezeigt wird.

E-Wellen in Kugelkoordinaten

- Für das Vektorpotential \vec{A}^E muss die Wellengleichung gelten.

- Mit einer geschickten Eichung (hier nicht Lorenz!) erhalten wir mit $k^2 = \omega^2/\mu_0\epsilon_0 = \frac{\omega^2}{c_0^2}$

$$\frac{\partial^2 A_r}{\partial r^2} + \frac{1}{r^2 \sin \theta} \frac{\partial}{\partial \theta} \left(\sin \theta \frac{\partial A_r}{\partial \theta} \right) + \frac{1}{r^2 \sin^2 \theta} \frac{\partial^2 A_r}{\partial \phi^2} + k^2 A_r = 0$$

Produktansatz von Bernoulli: $A_r = R(r) \Theta(\theta) \Phi(\phi)$

E-Wellen in Kugelkoordinaten

$$\frac{r^2 \sin^2 \theta}{R} \frac{d^2 R}{dr^2} + \frac{\sin \theta}{\theta} \frac{\partial}{\partial \theta} \left(\sin \theta \frac{d \phi}{d \theta} \right) + \dots \\ \dots + \frac{1}{\phi} \frac{d^2 \phi}{d \varphi^2} + r^2 \sin^2 \theta k^2 = 0$$

Diese Gl. lässt sich separieren in

$$\boxed{\frac{d^2 \phi}{d \varphi^2} + m^2 \phi = 0}$$

mit Separationskonstante m^2

E-Wellen in Kugelkoordinaten

und

$$\frac{r^2 \sin^2 \theta}{R} \frac{d^2 R}{dr^2} + \frac{\sin \theta}{\theta} \frac{\partial}{\partial \theta} \left(\sin \theta \frac{d \theta}{dr} \right) + r^2 \sin^2 \theta k^2 - m^2 = 0 \quad \left| \cdot \frac{1}{\sin^2 \theta} \right.$$

$$\Rightarrow \frac{1}{R} \frac{d^2 R}{dr^2} + \frac{1}{\sin^2 \theta} \frac{\partial}{\partial \theta} \left(\sin \theta \frac{d \theta}{dr} \right) + r^2 k^2 - \frac{m^2}{\sin^2 \theta} = 0$$

Separation in

$$\boxed{\frac{r^2}{R} \frac{d^2 R}{dr^2} + r^2 k^2 - n(n+1) = 0}$$

und

Separationskonstante

$$\boxed{\frac{1}{\sin \theta} \frac{\partial}{\partial \theta} \left(\sin \theta \frac{\partial \theta}{dr} \right) - \frac{m^2}{\sin^2 \theta} + n(n+1) = 0}$$

E-Wellen in Kugelkoordinaten

$$N_{1/2}(x) = -\sqrt{\frac{2}{\pi x}} \cos x$$

$$N_{3/2}(x) = -\sqrt{\frac{2}{\pi x}} \left[\sin x + \frac{\cos x}{x} \right]$$

III Die Bestimmungsgleichung für $\theta(\vartheta)$ wird durch die Kugelflächenfunktionen gelöst

$$\theta(\vartheta) = e^P_n^m(\cos \vartheta) + f Q_n^m(\cos \vartheta)$$

für $m=0$ ist $P_n^0(\cos \vartheta)$ gegen das Legendre-Polynom

E-Wellen in Kugelkoordinaten

Damit erhalten wir

$$A_r^E = \sqrt{k_r} Z_{n,\ell}(\text{kr}) \Theta(\text{n}) \phi(\varphi)$$

$$H_\varphi^E = -\frac{1}{r} \frac{\partial A_r^E}{\partial n}$$

$$j\omega_0 \epsilon_0 E_r^E = \frac{1}{r} \frac{\partial H_\varphi^E}{\partial n}$$

$$j\omega_0 \epsilon_0 E_n^E = -\frac{\partial H_\varphi^E}{\partial r}$$

E-Wellen in Kugelkoordinaten

Lösungen für R, θ, ϕ sind

$$\text{I) } \phi(\varphi) = \begin{cases} a \cos(m\varphi) + b \sin(m\varphi) & \nexists m \neq 0 \\ a_0 \varphi + b_0 & \nexists m = 0 \end{cases}$$

II) Die Bestimmungsgleichung für $R(r)$ kann in die Besselsche DGL überführt werden

mit der Lösung

$$R(r) = \sqrt{k_r} J_{n+1/2}(k_r) + N_{n+1/2}(k_r)$$

1. Art Besselfunktion
2. Art Besselfunktion

$$= \sqrt{k_r} [c J_{n+1/2}(k_r) + d N_{n+1/2}(k_r)]$$

Koeffizienten

$$J_{1/2}(x) = \sqrt{\frac{2}{\pi x}} \sin(x)$$

$$J_{3/2}(x) = \sqrt{\frac{2}{\pi x}} \left[\frac{\sin x}{x} - \cos x \right]$$

Strahlung des Hertzschen Dipols

- Eine Antenne können wir als Zusammensetzung von differential kleinen Dipolen auffassen
- Für ein Dipol der Länge Δs

$$\frac{dQ}{dt} = I(t) = I_0 e^{j\omega t}$$

$$Q(t) = \frac{I_0}{j\omega} e^{j\omega t} = Q_0 e^{j\omega t}$$

Dipolmoment ist

$$\begin{aligned}\Delta \vec{P}_e &= Q_0 \Delta s e^{j\omega t} \vec{e}_z \\ &= \frac{I_0 \Delta s}{j\omega} e^{j\omega t} \vec{e}_z\end{aligned}$$

Der Hertzsche Dipol

Sehr nah an der Dipolantenne
für $\omega t = \pi/2$ d.h. zu dem Zeitpunkt
wo die Ladungen sich bei $\pm \frac{dS}{2}$ befinden
ist der Strom Null

Das Feld muss dem des elektro-
statischen Dipols entsprechen

$$E_r = \frac{\Delta Pe}{2\pi\epsilon_0} \frac{\cos\theta}{r^3} \quad \text{und} \quad E_\theta = \frac{\Delta Pe}{4\pi\epsilon_0} \frac{\sin\theta}{r^3}$$

Der Hertzsche Dipol

aus der Geometrie ergibt sich, dass wir nur Kugelflächenfunktionen $P_n^m(\cos\vartheta)$ betrachten

für den Fall $m=0$

$$P_n^0(\cos\vartheta) = P_n(\cos\vartheta)$$

für $n=1$ gilt

$$P_1(\cos\vartheta) = \text{const} \leftarrow \begin{array}{l} \text{gewünschte Abhängigkeit von } \vartheta \\ \text{wegen } \vartheta \in [0, \pi] \end{array}$$

Da E_r unabhängig von φ ist wählen wir

$$\Phi(\varphi) = 1$$

Der Hertzsche Dipol

Damit erhalten wir $m=0, n=1$

$$A_r = \sqrt{k_r} Z_{3/2}(k_r) \cos \vartheta$$

$$= \sqrt{k_r} \left[C J_{3/2}(k_r) + d N_{3/2}(k_r) \right] \cos \vartheta$$

$$= \sqrt{\frac{2}{\pi}} \left[C \left(\frac{\sin k_r}{k_r} - \cos k_r \right) + d \left(\sin k_r + \frac{\cos k_r}{k_r} \right) \right] \cos \vartheta$$

$$= \sqrt{\frac{2}{\pi}} \left\{ \frac{1}{k_r} \left[C \sin k_r + d \cos k_r \right] - \left[C \cos k_r - d \sin k_r \right] \right\} \cos \vartheta$$

Der Hertzsche Dipol

Wir erwarten Abstrahlung in \hat{r} Richtung.

d.h. die Felder sollen $\sim e^{-jkr}$ sein

wir wissen: $e^{-jx} = \cos(x) - j \sin x$

$$\Rightarrow \text{mit } c = -jd$$

$$A_r = \sqrt{\frac{2}{\pi}} \left[\frac{1}{kr} d e^{+jkr} - e^{-jkr} \right] \cos \theta$$

Lösung für das Nahfeld und Fernfeld

$$\Rightarrow A_r^E = C \sqrt{\frac{2}{\pi}} \left[\frac{j}{kr} - 1 \right] e^{-jkr} \cos \vartheta$$

daraus folgt

$$H_\varphi^E = -C \sqrt{\frac{2}{\pi}} \left[\frac{1}{r} + \frac{1}{jkr^2} \right] e^{-jkr} \sin \vartheta$$
$$= C' \left[\frac{jk}{r} + \frac{1}{r^2} \right] e^{-jkr} \sin \vartheta$$

für die E-Feld Komponenten gilt

$$j\omega \epsilon_0 E_r = C' \left[\frac{jk}{r^2} + \frac{1}{r^3} \right] e^{-jkr} \cos \vartheta$$

$$j\omega \epsilon_0 E_\theta = -C' \left\{ jk \left[\frac{jk}{r} + \frac{1}{r^2} \right] e^{-jkr} + \left[\frac{jk}{r^2} - \frac{2}{r^3} \right] e^{-jkr} \right\} \sin \vartheta$$
$$= -jkC' \left[\frac{jk}{r} + \frac{1}{r^2} - j \frac{1}{kr^3} \right] e^{-jkr} \sin \vartheta$$

Im Fernfeld dominieren die Terme mit $\frac{1}{r}$, da für $r \rightarrow \infty$ die anderen Terme sehr klein werden. In diesem Fall verschwindet also näherungsweise die Feldkomponente in Ausbreitungsrichtung E_r und die Welle lässt sich durch eine TEM-Welle bzw. ebene Welle approximieren.

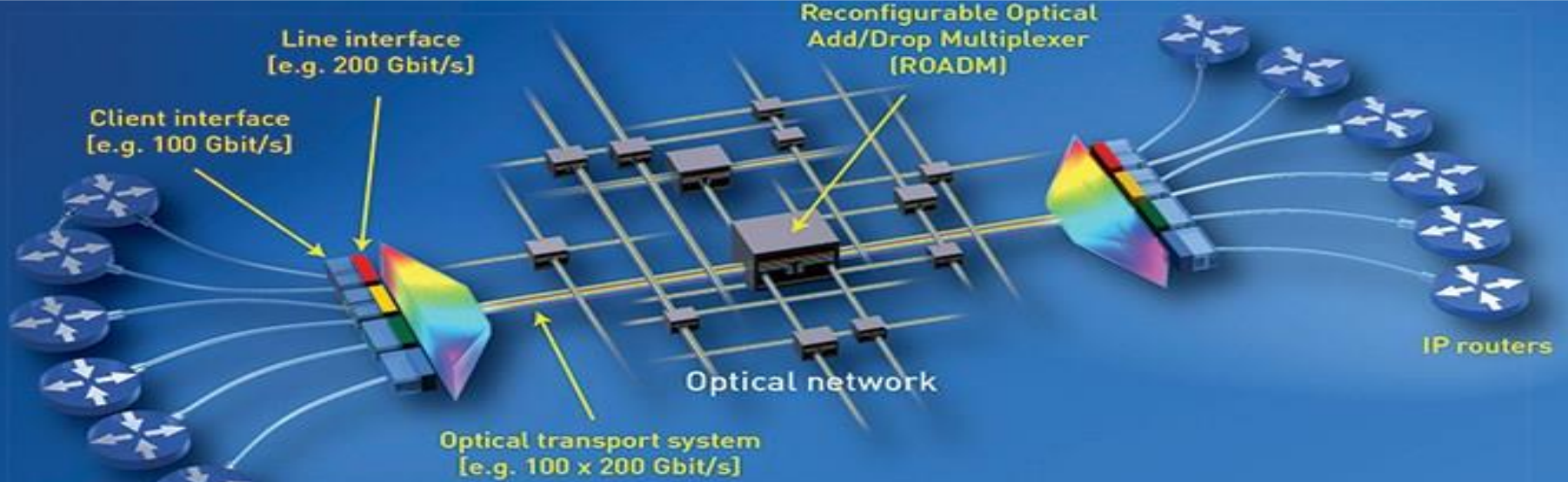
Elektromagnetische Wellen (EMW)

Vorlesung 14

WS 2019/2020

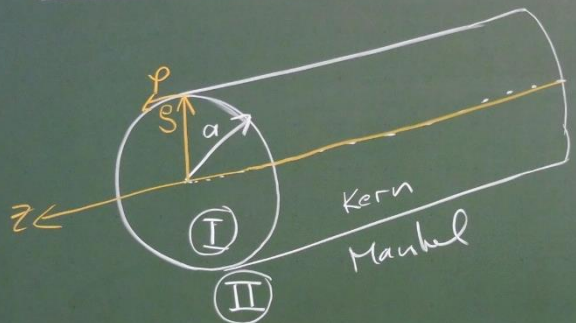
Dielektrischer Rundstab (Glasfaser)

Institute of Photonics and Quantum Electronics (IPQ), Department of Electrical Engineering and Information Technology (ETIT)



Übersicht: Dielektrischer Rundstab

Dielektrischer Rundstab (aka Glasfaser)



Medium I : Dielektrizum $\mu_0, \epsilon_1, K_1=0$

Medium II : $\parallel \mu_0, \epsilon_2, K_2=0$

$\epsilon_1 > \epsilon_2$ d.h. $n_1 > n_2$ (Brechungsexponent)

- Strahlenoptische Betrachtung nur gültig für Radien $a > 2\lambda$!

- Daher betrachten wir exakte Lösungen der Wellengleichung

- Beziehungen für die Feldkomponenten als Funktion der longitudinalen Komponenten ergeben sich aus den Vektorpotentialen \vec{A}^E und \vec{A}^H
 (mathematische Hilfsgrößen!)

Abhängigkeit von
in z-Richtung
geführte Wellen

$$\begin{aligned} E\text{-Wellen: } \vec{A}^E &= \underline{A}_z^E \hat{e}_z = \underline{A}_{z,t}^E e^{j k_z z} \hat{e}_z & \vec{E} &= \vec{E}^E + \vec{E}^H \\ H\text{-Wellen: } \vec{A}^H &= \underline{A}_z^H \hat{e}_z = \underline{A}_{z,t}^H e^{-j k_z z} \hat{e}_z & \vec{H} &= \vec{H}^E + \vec{H}^H \end{aligned}$$

$$\begin{aligned} \vec{H}^E &= \nabla \times \vec{A}^E & \underline{E}^H &= \nabla \times \vec{A}^H \quad (\text{keine } z\text{-Komponente}) \\ j \omega \epsilon \vec{E}^E &= \nabla \times \vec{H}^E & -j \omega \mu \vec{H}^H &= \nabla \times \vec{A}^E \end{aligned}$$

Zusammenhang der longitudinalen Feldkomponente und des Vektorpotentials

Mit Hilfe der Lorenz Eichung können wir für die Vektorpotentiale die skalen Wellengleichungen herleiten

$$\Delta \underline{\underline{A}}_z^E + k^2 \underline{\underline{A}}_z^E = 0$$

$$\Delta \underline{\underline{A}}_z^H + k^2 \underline{\underline{A}}_z^H = 0 \quad \text{mit der Wellenzahl} \\ k = \omega / \mu \epsilon$$

Für geführte Wellen $\sim e^{-jk_z z}$ gilt

$$\frac{\partial \underline{\underline{A}}^{E/H}}{\partial z^2} = -k_z^2 \underline{\underline{A}}^{E/H}$$

Zusammenhang der longitudinalen Feldkomponente und des Vektorpotentials

Damit erhalten wir die 2D Helmholtzgleichung

$$\Delta_t A_z^E + K^2 A_{z,t} = 0 \quad \text{mit} \quad \Delta_t = \Delta - \frac{\partial^2}{\partial z^2}$$

$$\Delta_t A_z^H + K^2 A_{z,t}^H = 0 \quad K^2 = k^2 - k_z^2$$

Da die Vektorpotentiale proportional zu E_z bzw H_z sind, müssen

$$\Delta E_z + K^2 E_z = 0 \quad \text{gelingen.}$$

$$\Delta H_z + k^2 H_z = 0$$

Transversale Feldkomponenten (ρ, φ)

Für zylindiskoordinaten erhalten wir für geführte Wellen

$$\underline{H}_z = H_z^H = j \frac{k^2}{\omega \mu} A_z^H \quad \begin{matrix} \text{longitudinale} \\ \text{Komponenten} \\ \text{sind proportional} \\ \text{zu Vektorpotentialen} \end{matrix}$$
$$\underline{E}_z = E_z^E = -j \frac{k^2}{\omega \epsilon} A_z^E$$

Für die transversalen Feldkomponenten gilt dann

$$E_S = \frac{1}{jk^2} \left[k_z \frac{\partial E_z}{\partial S} + \frac{\omega \mu}{S} \frac{\partial \underline{H}_z}{\partial \varphi} \right]$$

$$E_\varphi = \frac{1}{jk^2} \left[\frac{k_z}{S} \frac{\partial \underline{E}_z}{\partial \varphi} - \omega \mu \frac{\partial \underline{H}_z}{\partial S} \right]$$

$$\underline{H}_S = \frac{1}{jk^2} \left[k_z \frac{\partial \underline{H}_z}{\partial S} - \frac{\omega \epsilon}{S} \frac{\partial \underline{E}_z}{\partial \varphi} \right]$$

$$\underline{H}_\varphi = \frac{1}{jk^2} \left[\frac{k_z}{S} \frac{\partial \underline{H}_z}{\partial \varphi} - \omega \epsilon \frac{\partial \underline{E}_z}{\partial S} \right]$$

Separationsansatz zur Berechnung der longitudinalen Feldkomponente

Die Lösung erfolgt über Produktausatz von Bernoulli

$$E_z = R^E(S) \cdot \phi^E(\varphi) e^{-jk_z z}$$

$$H_z = R^H(S) \phi^H(\varphi) e^{-jk_z z}$$

eingetett erhalten wir jeweils

$$\frac{1}{R(S)} \frac{1}{S} \frac{\partial}{\partial S} \left(S \frac{\partial R(S)}{\partial S} \right) + \frac{1}{\phi(\varphi)} \frac{1}{S^2} \frac{\partial^2 \phi(\varphi)}{\partial \varphi^2} + \underline{K^2} = 0$$

$k^2 - K^2$

↓

Mit den Separationskonstanten m^2 gilt

$$S^2 \frac{\partial^2 R(S)}{\partial S^2} + S R(S) \frac{\partial R(S)}{\partial S} + (K^2 S^2 - m^2) R(S) = 0$$

→ für $K^2 \geq 0$ (d.h. K ist reell) ist dies die
Benzelsche DGL

→ für $K^2 < 0$ (d.h. K ist imaginär) ist die
modifizierte Benzelsche DGL

Winkelabhängigkeit der Lösung

für Winkelabhängigkeit gilt

$$\frac{\partial^2 \phi(\varphi)}{\partial \varphi^2} + m^2 \phi(\varphi) = 0$$

⇒ für die Winkelabhängigkeit nur eine Periodizität mit 2π vorliegen. Damit ergeben sich Lösungen für ganzzahlige $m \in \mathbb{Z}$

$$\phi(\varphi) = a \cos(m\varphi) + b \sin(m\varphi)$$

Radiale Abhangigkeit der Losung

Fur die Ausbreitungskonstante k_z muss gelten

$$k_1^2 = \omega^2 \mu_0 \epsilon_1 > k_z^2 > k_2^2 = \omega^2 \mu_0 \epsilon_1$$

dies bedeutet, dass fur $s < a$ ist $k^2 > 0$

und wir erhalten Losungen der Form

$$R(s) = c J_m(Ks) + d N_m(Ks)$$

fur $s > a$ ist $k^2 < 0$ und die Losungen werden

$$R(s) = c I_m(Ks) + d K_m(Ks)$$

modifizierte Besselfunktionen

Da fur $s > a$ $k^2 < 0$ gilt, ist k rein imagin er

und wir schreiben $k = j K^I$

Lösungsgleichung

Wir sind interessiert an der Bestimmung der Konstanten
 a, b, c, d und der Ausbreitungskonstante k_z
Wir erhalten physikalisch sinnvolle Lösungen für

$$E_z = \begin{cases} A_1 J_m(K \cdot S) \cos(m\varphi) e^{-jk_z z} & \text{if } S \leq a \\ A_2 K_m(K \cdot S) \cos(m\varphi) e^{-jk_z z} & \text{if } S \geq a \end{cases}$$

$$H_z = \begin{cases} B_1 J_m(K \cdot S) \sin(m\varphi) e^{-jk_z z} & \text{if } S \leq a \\ B_2 K_m(K \cdot S) \sin(m\varphi) e^{-jk_z z} & \text{if } S \geq a \end{cases}$$

Lösungsgleichung

$$E_p = \begin{cases} j \left[A_1 \frac{m}{K^2 S} J_m(KS) + B_1 \frac{\omega \mu_0}{K} J'_m(KS) \right] \sin(m\varphi) e^{j k_2 z} & KS \leq q \\ j \left[A_2 \frac{m}{K^2 S} K_m(KS) + B_2 \frac{\omega \mu_0}{K^2} K'_m(KS) \right] \sin(m\varphi) e^{-j k_2 z} & KS > q \end{cases}$$

$$H_p = \begin{cases} -j \left[B_1 \frac{m}{K^2 S} J_m(KS) + A_1 \frac{\omega \varepsilon_1}{K} J'_m(KS) \right] \cos(m\varphi) e^{-j k_2 z} & KS \leq q \\ -j \left[B_2 \frac{m}{K^2 S} K_m(KS) + B_1 \frac{\omega \varepsilon_2}{K^2} K'_m(KS) \right] \cos(m\varphi) e^{j k_2 z} & KS > q \end{cases}$$

Stetigkeitsbedingungen

Für die Lösungen müssen die Stetigkeitsbedingungen erfüllt sein bei $S=a$ (Grenzfläche)

$$E_z^I(S=a, \varphi, z) = E_z^{\text{II}}(S=a, \varphi, z)$$

$$H_z^I(\dots) = H_z^{\text{II}}(\dots)$$

$$E_{\varphi}^I(\dots) = E_{\varphi}^{\text{II}}(\dots)$$

$$H_{\varphi}^I(\dots) = H_{\varphi}^{\text{II}}(\dots)$$

→ Fortsetzung im Foliensatz
„Wellenleiter“, ab Folie 21

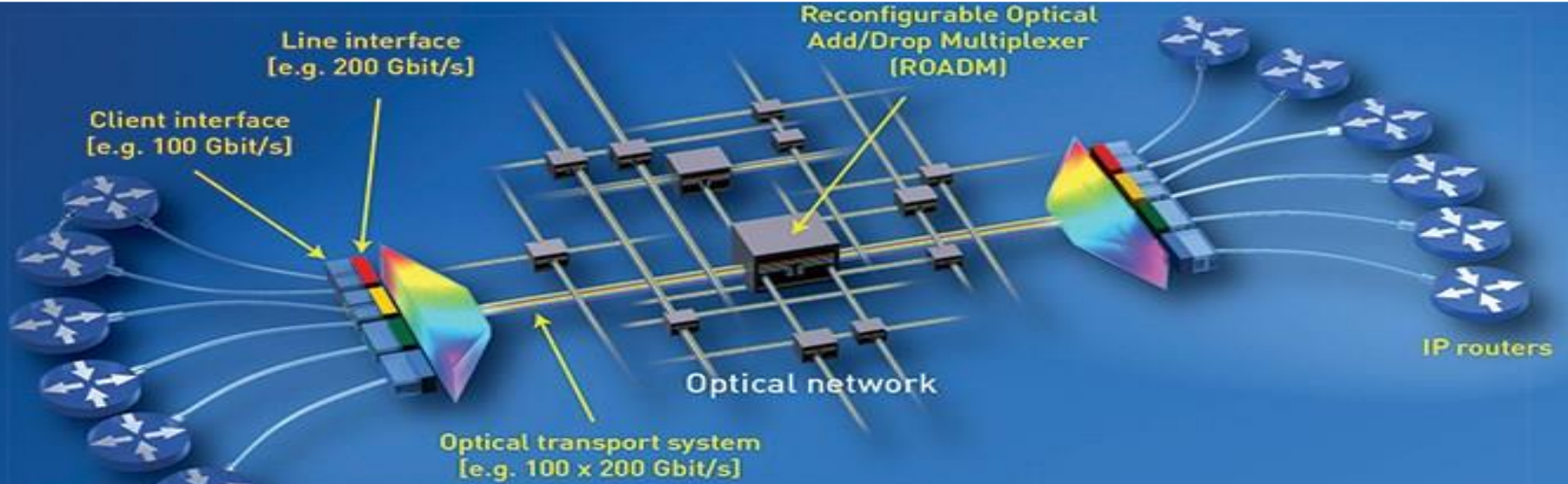
Elektromagnetische Wellen (EMW)

Vorlesung 15

WS 2019/2020

Fourier-Transformation; komplexe Permittivität

Institute of Photonics and Quantum Electronics (IPQ), Department of Electrical Engineering and Information Technology (ETIT)



Fourier-Transformation und harm. Wellen

1

Die Maxwell'schen Gleichungen in
differentieller Form

$$\nabla \times \vec{H}(\vec{r}, t) = \vec{j}(\vec{r}, t) + \frac{\partial \vec{D}(\vec{r}, t)}{\partial t}$$

$$\nabla \times \vec{E}(\vec{r}, t) = - \frac{\partial \vec{B}(\vec{r}, t)}{\partial t}$$

$$\nabla \cdot \vec{B}(\vec{r}, t) = 0$$

$$\nabla \cdot \vec{D}(\vec{r}, t) = \rho(\vec{r}, t)$$

Alle Größen sind reellwertig!

2

Wir können eine reellwertige periodische Funktion als Fourierreihe darstellen.

Z.B. für das Vektorfeld $\vec{E}(\vec{r}, t)$ mit Periode T gilt

$$\vec{E}(\vec{r}, t) \approx \frac{\vec{E}_0(\vec{r})}{2} + \sum_{n=1}^N \vec{E}_{n,0}(\vec{r}) \cos\left(2\pi \frac{n t}{T} + \varphi_n\right)$$

\Rightarrow Überlagerung von Cosinuswellen mit Amplitude $E_{n,0}(\vec{r})$, Frequenz $\frac{n}{T}$, Phase φ_n

Anmerkung: Diese Inhalte wurden als Exkurs bereits in den Übungsfolien zur Übung 3 (Folie 12-14) angeschnitten.

3

Bei gegebener Aufgabenstellung, können die Maxwell'schen Gleichungen für jede einzelne Cosinuswelle gelöst werden

$$\vec{E}_n(\vec{r}, t) = \vec{E}_{n,0}(\vec{r}) \cos\left(2\pi \frac{n t}{T} + \varphi_n\right)$$

sowie für den Mittelwert $\frac{\vec{E}_0}{2}$ gelöst werden

Die Gesamtlösung ergibt sich als Überlagerung der Frequenzkomponenten.

Fourier-Transformation und harm. Wellen

1

Im Fall von harmonischer Zeitabhängigkeit nehmen wir an, dass alle Größen die Abhängigkeit gemäß $\cos(2\pi \frac{nt}{T} + \varphi_n)$ besitzen.

Wir können z.B. schreiben ($\omega = \frac{2\pi n}{T}$)

$$\begin{aligned}\vec{E}(r, t) &= \vec{E}_0(r) \cos(\omega t + \varphi) \\ &= \vec{E}_0(r) \operatorname{Re} \left\{ \exp(j(\omega t + \varphi)) \right\} \\ &= \operatorname{Re} \left\{ \vec{E}_0(r) \exp(j\varphi) \exp(j\omega t) \right\} \\ &= \operatorname{Re} \left\{ \underline{\vec{E}}(r, t) \right\}\end{aligned}$$

2

mit dem komplexen Zeiger $\underline{\vec{E}}(r, t) = \underline{\vec{E}}(\vec{r}) \exp(j\omega t)$

und der komplexen Amplitude $\underline{\vec{E}}(\vec{r}) = \underline{\vec{E}}_0(\vec{r}) \exp(j\varphi)$

$$\begin{aligned}\text{Für den komplexen Zeiger gilt } \frac{\partial \underline{\vec{E}}(\vec{r}, t)}{\partial t} &= \underline{\vec{E}}(\vec{r}) j\omega e^{j\omega t} \\ &= j\omega \underline{\vec{E}}(\vec{r}, t)\end{aligned}$$

3

wir erhalten für die Maxwellsschen Gleichungen

$$\nabla \times \underline{\vec{H}} = \underline{\vec{J}} + j\omega \underline{\vec{D}}$$

$$\nabla \times \underline{\vec{E}} = -j\omega \underline{\vec{B}}$$

$$\nabla \cdot \underline{\vec{D}} = \underline{\underline{\epsilon}}$$

$$\nabla \cdot \underline{\vec{B}} = 0$$

Diese Schreibweise gilt sowohl für

- 1) komplexe Zeiger
- 2) komplexe Amplituden
- 3) Fouriertransformierte

Fourier-Transformation und harm. Wellen

1

Für zeitlich nicht periodische Größen, können wir die Fouriertransformation anwenden.

Z.B. für die el. Feldstärke

$$\tilde{\underline{E}}(\vec{r}, \omega) = \int_{-\infty}^{\infty} \vec{E}(\vec{r}, t) \exp(j\omega t) dt = \mathcal{F}\{\vec{E}(\vec{r}, t)\}$$

und die inverse

$$\vec{E}(\vec{r}, t) = \frac{1}{2\pi} \int_{-\infty}^{\infty} \tilde{\underline{E}}(\vec{r}, \omega) \exp(j\omega t) d\omega = \mathcal{F}^{-1}\{\tilde{\underline{E}}(\vec{r}, \omega)\}$$

2

Analog zu den zeitharmonischen Feldern können wir eine Aufgabenstellung im Frequenzbereich lösen und anschließend in den Zeitbereich zurück transformieren.

3

Für die Ableitung nach t erhalten wir

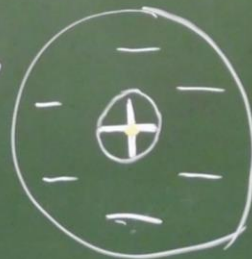
$$\begin{aligned} \mathcal{F}\left\{\frac{\partial \vec{E}(\vec{r}, t)}{\partial t}\right\} &= \mathcal{F}\left\{\frac{\partial}{\partial t} \left[\mathcal{F}^{-1}\left\{\tilde{\underline{E}}(\vec{r}, \omega)\right\} \right] \right\} \\ &= \mathcal{F}\left\{ \mathcal{F}^{-1}\left\{ j\omega \tilde{\underline{E}}(\vec{r}, \omega) \right\} \right\} = j\omega \tilde{\underline{E}}(\vec{r}, \omega) \end{aligned}$$

Dielektrikum

- Dielektrika sind Isolatoren ($\kappa=0$) in den Ladungen nicht frei beweglich sind
- Allerdings kommt es zu einer Verschiebung von Ladungen bei einem äußeren el. Feld

ohne el. Feld

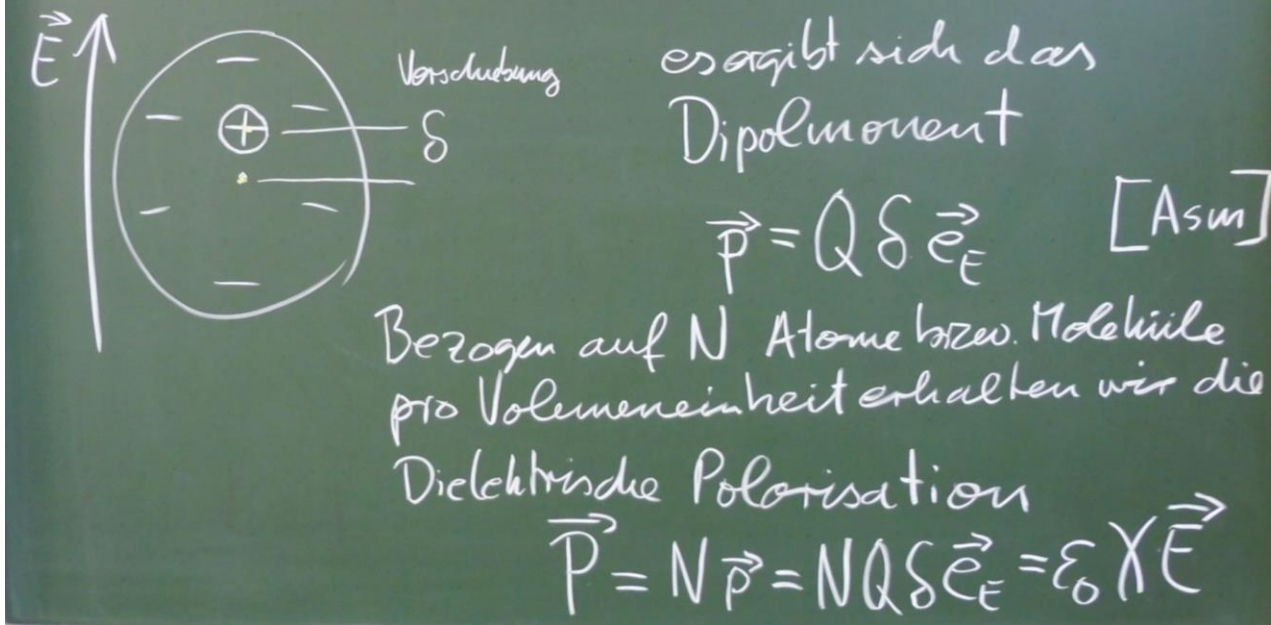
Atom
oder
Molekül



Schwerpunkte der positiven und negativen Ladungen liegen übereinander!

Im äußeren elektrischen Feld kommt es zu einer Verschiebung der Schwerpunkte

Komplexe Permittivität und dielektrische Verluste



Dies führt zu einer Erhöhung der Dielektrischen Verschiebungsdichte

$$\vec{D} = \epsilon_0 \vec{E} + \vec{P} = \epsilon_0 (1+\chi) \vec{E} = \epsilon_0 \epsilon_r \vec{E} = \epsilon \vec{E}$$

Bei statischen bzw. sehr langsam veränderlichem $\vec{E}(\vec{r}, t)$ wirkt die Verschiebung instantan!

Komplexe Permittivität und dielektrische Verluste

Für schnell verändliche äußere Felder muss berücksichtigt werden, dass die Ladungen eine endliche Zeit benötigen um sich zu verdichten.

In diesem Fall gilt

$$\vec{P}(\vec{r}, t) = \epsilon_0 \int_{-\infty}^{\infty} G(\tau) \vec{E}(r, t-\tau) d\tau$$

↓ Gedächtnisfunktion
des Mediums

Faltung operation

Die Fouriertransformation über eine Faltung von zwei Funktionen ergibt sich als Multiplikation ihrer Fouriertransformatoren.

Wir erhalten somit

$$\hat{\vec{P}}(\vec{r}, \omega) = \epsilon_0 \hat{G}(\omega) \hat{\vec{E}}(\vec{r}, \omega)$$

Wobei $\hat{G}(\omega) = \mathcal{F}\{G(t)\}$

↑
komplexe Funktion von ω

Komplexe Permittivität und dielektrische Verluste

Damit erhalten wir

$$\widehat{\underline{D}} = \epsilon_0 \widehat{\underline{E}} + \widehat{\underline{P}} = \epsilon_0 \underbrace{(1 + \widehat{G}(\omega))}_{\epsilon_r(\omega)} \widehat{\underline{E}} = \epsilon_0 \epsilon_r(\omega) \widehat{\underline{E}}$$

komplex!

Bei der Wellenausbreitung führt der Imaginärteil von $\epsilon_r(\omega)$ zu dielektrischen Verlusten.

Die Gedächtnisfunktion $G(t)$ muss kausal sein. d.h. $G(t < 0) = 0$

Die Fouriertransformierte einer kausalen Funktion (z.B. $\widehat{G}(\omega)$) ist eine analytische Funktion. D.h. ihr Real- und Imaginärteil sind nicht mehr unabhängig.

Die Kramers-Kronig-Beziehungen

Für den Real- und Imaginärteil von $\tilde{G}(\omega)$
bzw. für $\underline{\epsilon}_r(\omega) = 1 + \tilde{G}(\omega)$ gelten die

Kramers-Kronig Beziehungen

$$\text{Re}\{\underline{\epsilon}_r(\omega)\} = 1 + \frac{1}{\pi} \mathcal{P} \int_{-\infty}^{\infty} \frac{\text{Im}\{\underline{\epsilon}_r(\omega')\}}{\omega' - \omega} d\omega'$$

$$\text{bzw. } \text{Im}\{\underline{\epsilon}_r(\omega)\} = -\frac{1}{\pi} \mathcal{P} \int_{-\infty}^{\infty} \frac{\text{Re}\{\underline{\epsilon}_r(\omega')\} - 1}{\omega' - \omega} d\omega'$$

↑
Cauchy Operator stellt sicher,
dass das Integral konvergiert.

Im Allgemeinen erhalten wir für komplexe $\underline{\epsilon}_r(\omega)$
auch einen komplexen Brechungsindex

$$\text{bei } \mu = \mu_0 \text{ gilt dann } \underline{n}(\omega) = \sqrt{\underline{\epsilon}_r(\omega)}$$